

000541

B e r i c h t

Über Arbeiten auf dem Gebiete der

Mitteldrucksynthese an Eisen-Katalysatoren

(Aus dem Kaiser-Wilhelm-Institut für Kohlenforschung, Mülheim-Ruhr)

Mülheim-Ruhr, im Juni 1940.

Die Mitteldrucksynthese an Eisen-Katalysatoren.Inhaltsverzeichnis:

|  |              |   |
|--|--------------|---|
| <u>Einleitung</u>  | <u>Seite</u> | 1 |
| <u>I. Teil: Der Katalysator</u>  |              |   |
| <u>A. Füllung des Katalysators</u>   | 6            |   |
| 1.) Ausgangsmaterial   | 6            |   |
| 2.) Füllung mit Natriumkarbonat  | 7            |   |
| 3.) Füllung mit Ammoniak   | 10           |   |
| 4.) Zusatz von Kieselgur   | 10           |   |
| <u>B. Vorbehandlung des Katalysators</u>   | 10           |   |
| 1.) Formierung mit CO-H <sub>2</sub> -Gemischen während der Synthese   | 11           |   |
| a) Mischgas und Atmosphärendruck   | 11           |   |
| b) CO-reiches Gas und Atmosphärendruck   | 12           |   |
| c) CO-reiches Gas und erhöhter Druck   | 13           |   |
| 2.) Formierung mit CO-H <sub>2</sub> -Gemischen in einem von der Synthese getrennten Vorgang                   | 15           |   |
| a) Formierung bei verschiedenen Drücken und Synthese bei gewöhnlichem Druck                                    | 15           |   |
| b) Formierung bei gewöhnlichem und Synthese bei erhöhtem Druck   | 16           |   |
| c) Formierung bei verminderten Druck und verschiedenen Temperaturen und Synthese bei erhöhtem Druck            | 18           |   |
| d) Einfluß des Formierungsdruckes bei einer Formierungstemperatur von 325° auf die Synthese bei erhöhtem Druck | 20           |   |
| 3.) Formierung mit Kohlenoxyd  | 21           |   |
| a) Einfluß der Formierungstemperatur bei 1/10 st. Formierungsdruck   | 21           |   |
| b) Einfluß des Formierungsdruckes  | 25           |   |
| c) Formierungszeit   | 26           |   |
| d) Mischungen von Kohlenoxyd mit anderen Gasen   | 29           |   |
| 4.) Zur Theorie der Formierung   | 30           |   |

000543

Seite

|   |     |
|---|-----|
| <u>II. Teil: Die Synthese</u>   |     |
| <u>A. Das Synthesegas</u>   | 36  |
| <u>B. Der Synthesedruck</u>   | 40  |
| <u>C. Die Reaktionstemperatur</u>   | 45  |
| 1.) Einfluß der Formierung  | 46  |
| 2.) Einfluß der Gaszusammensetzung  | 49  |
| 3.) Wirkung einer zu niedrigen Anfangstemp.                                   | 50  |
| 4.) Temperaturen und Reaktionsprodukte  | 51  |
| <u>D. Der Einfluß des Alkaligehaltes</u>                                      | 52  |
| <u>E. Behandlung mit Wasserstoff</u>  | 55  |
| 1.) Vorbehandlung mit Wasserstoff   | 55  |
| 2.) Wasserstoffbehandlung zwischen Formierung<br>und Synthese                 | 56  |
| 3.) Wasserstoffbehandlung während der Synthese                                | 57  |
| <u>F. Katalysatoren auf Basis von Ferrosalzen</u>                             | 59  |
| <u>G. Der Einfluß eines Zusatzes von Kupfer</u>                               | 60  |
| <u>H. Die Wirkung eines Zusatzes von Kieselgur</u>                            | 62  |
| <u>III. Teil: Die Reaktionsprodukte</u>                                       | 67  |
| <u>A. Flüssige Kohlenwasserstoffe</u>   | 69  |
| <u>B. Paraffin</u>  | 72  |
| <u>C. Gasol</u>   | 73  |
| <u>D. Sauerstoffhaltige Produkte</u>  | 76  |
| <u>E. Stadtgas</u>  | 78  |
| <u>IV. Teil: Allgemeine Probleme</u>  |     |
| <u>A. Synthesegasherstellung</u>  | 81  |
| <u>B. Raum-Zeit-Ausbeuten und apparative Fragen</u>                           | 84  |
| <u>C. Zur Formgebung des Katalysators</u>                                     | 89  |
| <u>D. Einiges zur Frage der Weiterverarbeitung der<br/>    Primärprodukte</u> | 91  |
| <u>Zusammenfassung</u>  | 98  |
| <u>Schrifttum</u>   | 102 |

Einleitung.

000544

Vor einiger Zeit wurde von uns eine Arbeit veröffentlicht mit dem Titel "Über die Annäherung an die theoretisch möglichen Ausbeuten bei der Fischer-Pichler'schen Mitteldrucksynthese"<sup>1)</sup>. Die Versuche wurden mit Kobalt-Thorium-Katalysatoren durchgeführt. Die Ausbeuten an festen und flüssigen Kohlenwasserstoffen (ohne rd. 15 g Gasol) betrugen unter normalen Bedingungen 150 g und maximal etwa 170 g je Nbm. Idealgas. Hier von war unter den günstigsten Verhältnissen mehr als die Hälfte festes Paraffin.

Seit Beginn der Arbeiten Franz Fischers und seiner Mitarbeiter über die Synthese von Kohlenwasserstoffen aus Kohlenoxyd und Wasserstoff bestand der Wunsch, anstelle von Kobalt und Thorium billigere und in ähnlicher Weise katalytisch wirkende Stoffe zu verwenden. Immer wieder wurden Versuche mit Eisenkatalysatoren aus-

geführt. Im Jahre 1923 erhielten Franz Fischer und Tropsch<sup>2)</sup> beim Überleiten von Wassergas über alkalisierte Eisenspäne bei Drucken von etwa 100 at und Temperaturen von 350 - 450° ein Gemisch verschiedenartigster sauerstoffhaltiger organischer Verbindungen, dem sie den Namen Synthol gaben. Arbeiten der Badischen Anilin- und Soda-fabrik<sup>3)</sup>, welche ähnliche Drücke und Temperaturen verwendeten und bis auf das Jahr 1913 zurückgehen, führten 1925 zur Synthese des Methanols. Franz Fischer und Zerbe<sup>4)</sup> zeigten, ebenfalls 1923, daß an alkalisierten Eisenspänen als Katalysator Kohlensäure und Wasserstoff, über eine intermediaire Bildung von Kohlenoxyd und Wasserstoff, mit fallenden Drücken immer mehr Kohlenwasserstoffe anstelle von

sauerstoffhaltigen Verbindungen liefern. Sie arbeiteten in einem Zirkulierapparat bei einer Temperatur von  $410^{\circ}$  und bei von  $100 - 150$  at ab fallenden Drucken. Während bei hohem Druck nur wasserlösliche Produkte erhalten wurden, wurden bei einem Druck von 7 at, bis zu welchem herab die Versuche fortgesetzt worden waren, etwas Öl erhalten, das, wie in der diesbezüglichen Veröffentlichung angegeben wird, 40 % an in konzentrierter Schwefelsäure unlöslichen Produkten von Petroleumcharakter enthielt.

Im Jahre 1926 berichteten Franz Fischer und Tropsch<sup>5)</sup> anlässlich ihrer ersten Veröffentlichung über die Erdölsynthese, daß man bei Temperaturen von  $300^{\circ}$  und darüber an Eisenkatalysatoren Kohlenoxyd und Wasserstoff auch bei Atmosphärendruck unter Bildung von Kohlenwasserstoffen umsetzen kann. Auf dieser Erkenntnis aufbauend, wurde in der Folgezeit immer wieder versucht, durch Veränderung der Herstellungsbedingungen sowie durch gewisse Zusätze die Aktivität der Eisenkatalysatoren zu erhöhen zur Erniedrigung der Reaktionstemperatur und Erhöhung der Ausbeuten an flüssigen Kohlenwasserstoffen. Im Jahre 1928<sup>6)</sup> wurden bei Atmosphärendruck je cbm Wassergas  $30 - 40$  g Benzin und Öl erhalten. Die Temperaturen konnten bis auf  $240 - 250^{\circ}$  gesenkt werden. Die Lebensdauer der Katalysatoren betrug einige Tage.

Franz Fischer und Tropsch<sup>7)</sup> hatten 1927 auch versucht, Wassergas bei  $10 - 15$  at Druck und  $250 - 280^{\circ}\text{C}$  umzusetzen. Die durch Glühen der Nitrate hergestellten Eisen-Kunfer-Katalysatoren wurden mit Wassergas direkt unter

Druck in Betrieb genommen. Als Reaktionsprodukte wurden wässrige und ölige Substanzen im Verhältnis 3 : 2 bis 1 : 1 erhalten. Es wurde damals von den Autoren veröffentlicht, daß die Ergebnisse schlechter waren als beim Arbeiten bei Atmosphärendruck. Im Jahre 1934 aber wurden von Franz Fischer<sup>8)</sup> anlässlich eines zusammenfassenden Vortrages über die Benzinsynthese als höchste mit einem Eisenkatalysator bei Atmosphärendruck je cbm Mischgas erzielbare Ausbeute 30 - 35 g angegeben (dies entspricht etwa 40 - 45 g je cbm Kohlenoxyd-Wasserstoffgemisch), wobei gesagt wurde, daß diese Anfangsleistung innerhalb von 8 Tagen um 20 % absinkt.

Franz Fischer und Meyer<sup>9)</sup> haben in den Jahren 1934 - 1936 abermals versucht, durch Erhöhung der Aktivität der Eisenkatalysatoren die Ausbeuten an flüssigen Kohlenwasserstoffen zu verbessern. Bei Verwendung von Eisen-Kupfer-Füllungskatalysatoren gelang es ihnen, bei Atmosphärendruck 50 - 60 g je cbm zu erhalten bei einer maximalen Lebensdauer der Katalysatoren von 4 - 6 Wochen.

Franz Fischer und Ackermann<sup>10)</sup> erhielten 1936 bei Einhaltung ganz bestimmter Füllungsbedingungen auch mit kupferfreien Katalysatoren bei Atmosphärendruck je cbm Mischgas 55 g flüssige Kohlenwasserstoffe. Diese Ausbeute begann jedoch schon nach einigen Tagen abzufallen, in der dritten Woche betrug sie weniger als 40 g.

Mun verwendete damals ein Synthesegas, das Kohlenoxyd und Wasserstoff im Verhältnis 1 : 2 enthielt, obwohl man erkannt hatte, daß an Eisenkatalysatoren die Kohlenoxydumsetzung fast ausschließlich nach der Summengleichung



verlief. Wurde nämlich ein Synthesegas mit 2 30 : 1 H<sub>2</sub> verwendet, dann wurde das Kohlenoxyd nur zum Teil umgesetzt und es trat außerordentlich schnell ein Erlahmen der Wirksamkeit des Katalysatorseins.

Bei den bis zu diesem Zeitpunkt ausgeführten Arbeiten waren die maximal erzielten Ausbeuten weniger als halb so hoch wie bei der in der Technik eingeführten Benzinsynthese mit Kobaltkatalysatoren, wodurch an eine technische Durchführung nicht zu denken war.

Das Ergebnis der heute vorliegenden Arbeit ist es, gefunden zu haben, daß auf bestimmte Weise vorbehaltete Eisenkatalysatoren bei leicht erhöhten Drucken eine praktisch vollkommene Aufarbeitung eines Kohlenoxyd-Wasserstoffgemisches durch außerordentlich lange Zeiträume ermöglichen. Es entstehen hierbei je nach den Arbeitsbedingungen in verschiedenen Mengenverhältnissen Paraffin, Benzin und Gasolkohlenwasserstoffe. Die Gesamtausbeuten dieser sog. "Eisen-Mitteldrucksynthese" liegen im Gebiet der Synthese an Kobaltkatalysatoren, so daß nunmehr die Ersetzung des Kobalts durch Eisen in Erwägung gezogen werden kann.

Gezon Ende des Jahres 1937 hat Herr Geheimrat Fischer bereits über den günstigen Verlauf unserer Arbeiten auf dem Gebiet der Synthese an Eisenkatalysatoren berichtet. Es sollte damals mit diesem Vortrag, im Interesse einer schnellen Verwirklichung unserer Arbeiten den Vertretern der an der Benzinsynthese interessierten Werke die Möglichkeit gegeben werden, in ihren Laboratorien unsere

Ergebnisse zu überprüfen. Zegen der außerordentlichen Bedeutung, welche ~~einem~~ Ersatz des Kobalts durch Eisen für die Synthese, vor allem in Deutschland, haben würde, wurden von Herrn Geheimrat Fischer und mir mit einer Reihe von Mitarbeitern unsere diesbezüglichen Arbeiten in der Zwischenzeit und ganz besonders im letzten Jahr intensiv weiter verfolgt.

Der wesentliche Inhalt der vorliegenden Arbeit wurde von uns auf den Namen der Studien- und Verwertungs-Gesellschaft angemeldet. Die Anmeldungen, die bis auf das Jahr 1937 zurückreichen, wurden der Ruhirchemie A.G. zur gemeinsamen Patentbearbeitung übergeben. Mittlerweile sind in einer Reihe von Auslandsstaaten diese Anmeldungen entsprechende Patente erteilt und veröffentlicht worden.

I. Teil: Der Katalysator.

A. Füllung des Katalysators.

Zunächst gingen wir von der Ansicht aus, daß durch Variation der Herstellungsbedingungen des Eisenkatalysators oder durch gewisse Zusätze der Reaktionsverlauf bei der Synthese bei Atmosphärendruck im Sinne einer Erhöhung der Ausbeuten an flüssigen Kohlenwasserstoffen beeinflußt werden könne. Es wurden hierfür viele hundert verschiedene Eisenkatalysatoren hergestellt, wobei die verschiedenartigsten Zusätze und Füllungsarten erprobt wurden.

Im Laufe unserer Arbeiten stellte es sich aber heraus, daß man zum gewünschten Ziel nur beim arbeiten bei geringem Überdruck gelangen kann, dann allerdings unter Verwendung sehr verschiedenartig hergestellter Eisenkatalysatoren. Wurden diese vor ihrer Inbetriebnahme unter Druck einer geeigneten Vorbehandlung (Formierung) mit kohlenoxydhaltigen Gasen unterworfen, dann konnten mit einem Katalysator, der nur aus Eisen bestand, durch viele Monate Kohlenoxyd und Wasserstoff mit befriedigenden Ausbeuten in die gewünschten Kohlenwasserstoffe umgewandelt werden.

1. Ausgangsmaterial.

Als Ausgangsmaterial für die Herstellung der Eisenkatalysatoren wurden im allgemeinen Eisensalzlösungen verwendet, die durch Auflösen von technischem Eisen selbst hergestellt worden waren. Für Vergleichsversuche wurden auch künstliche chemisch reine Eisensalze verwendet. Die

Mehrzahl der Versuche wurden mit den folgenden Eisenpräparaten ausgeführt.

a) Ferrinitrat (kauflich).

b) Eine aus technischen Eisenspänen hergestellte Eisennitratlösung, die das Eisen vorwiegend in der dreiwertigen Form enthielt. Zu ihrer Herstellung wurden die Eisenspäne in kleinen Portionen in Salpetersäure mit einer anfänglichen Dichte von 1,18 derart eingetragen, daß die Temperatur 40 - 50° nicht überstieg (oberhalb 60 - 70° tritt eine Zersetzung der Nitrate unter Bildung unlöslicher Niederschläge ein).

c) Für die Herstellung einer Ferronitratlösung wurde Salpetersäure mit einer maximalen Dichte von 1,05 auf Eisenspäne bei 35 - 40° zur Einwirkung gebracht. (Höhere Säurekonzentrationen oder höhere Temperaturen führen unter heftiger Reaktion eine Umwandlung der Ferro- in die Ferriform herbei).

d) Ferrochlorid (kauflich).

2. Fällung mit Natriumcarbonat.

Die Konzentration der für die Fällung verwendeten Eisenlösungen (bei Katalysatoren auf Basis von zwei- und von dreiwertigem Eisen) entsprach im allgemeinen 1 kg Eisen auf 30 Ltr. Lösung. Die Lösung wurde in der Hälfte mit einer konzentrierten Sodalösung vorneutralisiert, <sup>und</sup> zwar so, daß gerade kein bleibender Niederschlag erzeugt wurde. Die Ferrilösungen wurden meist bei 100°, die Ferrolösungen maximal bei 70 - 75° unter Anwendung eines geringen Sodaüberschusses gefällt. Die Sodalösungen enthielten im all-

gemeinen 1 kg Soda auf 8 - 10 Ltr. Wasser. Nach der Fällung wurde kurz zum Sieden erhitzt, abfiltriert und mit heißem destilliertem Wasser bis zur Alkalifreiheit gewaschen. Der feuchte Niederschlag wurde in destilliertem Wasser wieder aufgeschlemmt, am Wasserbad gleichmäßig verrührt und unter ständigem Rühren mit der gewünschten Menge an Alkali (meist Kaliumcarbonat gelöst in Wasser) versetzt. Am Wasserbad wurde unter Rühren die Hauptmenge des Wassers vertrieben, hierauf wurde der Katalysator über Nacht im Trockenschrank bei 110° getrocknet und dann gekörnt und vom Abrieb befreit. Die "Ferrokontakte" sind schwarzbraun, ziemlich fest, meist mit glasigem Bruch. Die "Ferrokontakte" sind voluminos und ordig braun.

Die mit Natriumcarbonat gefüllten Ferrikontakte erwiesen sich allgemein den Ferrokontakten als überlegen. Die aus technischen Eisen auf dem Wege über die Ferri-nitratlösung hergestellten Katalysatoren wurden daher für die meisten Versuche verwendet und als Eisen-Normal-katalysatoren bezeichnet.

Zwei Punkte waren bei ihrer Herstellung besonders zu beachten: 1.) die Vorneutralisation der Eisenlösung in der Kälte, da ohne diese beim Erwärmen oder auch beim längeren Stehen unter Trübung der Lösung unlösliche Salze ausgeschieden werden, welche die Reproduzierbarkeit eines guten Katalysators beeinträchtigen, 2.) für die Aktivität und die Lebensdauer des Katalysators ist es von Bedeutung, daß der Eisenniederschlag vor dem Abfiltrieren zum Sieden erhitzt wird. Dies zeigt Tafel 1. Hier sind unter verschiedenen Temperaturbedingungen hergestellte

Katalysatoren einander gegenüber gestellt. Als Maß der Aktivität wurde die Höhe der Kontraktion bei der Synthese (Kohlenoxyd-Wasserstoffgemisch 3 : 2, 15 at, 235°) nach verschiedenen langer Betriebsdauer angegeben. (Die höchstmögliche Kontraktion beträgt unter der Annahme einer 100 %igen Umsetzung zu flüssigen Kohlenwasserstoffen nach  $2\text{CO} + \text{H}_2 = \text{CO}_2 + \text{CH}_2$  bei Verwendung eines Synthesegases mit 10 % inerten Bestandteilen 60 %, in Praxis werden die besten Ausbeuten bei einer Kontraktion von 50 - 55 % erhalten.)

Tafel 1.

Einfluß der Füllungstemperatur auf die Aktivität von Eisenkatalysatoren.

| Füllungs-<br>temp. °C | nach der Füllung Alkali-<br>gehalt | Betriebsdauer in Tagen |    |    |    |    |
|-----------------------|------------------------------------|------------------------|----|----|----|----|
|                       |                                    | 1                      | 2  | 5  | 10 | 20 |
| 20                    | nein                               | 1                      | 43 | -  | 44 | 43 |
| 60                    | "                                  | 1                      | 50 | -  | 33 | 20 |
| 20                    | kurz                               | 1                      | 50 | -  | 48 | 51 |
| 20                    | "                                  | 1/4                    | -  | 50 | 48 | 51 |
| 20                    | 1 Minute                           | 1/4                    | 55 | 55 | 48 | 48 |
| 20                    | 5 Minuten                          | 1/4                    | -  | 56 | -  | 47 |
| 100                   | 1 Minute                           | 1/4                    | 50 | 50 | 50 | 49 |
|                       |                                    |                        |    |    |    | 56 |

Die Tafel zeigt, daß die beiden nicht zum Sieden erhitzten Katalysatoren entweder nicht auf volle Aktivität kamen oder diese schnell verloren. Die kurz zum Aufsieden gebrachten und die 1 Minute lang zum Sieden erhitzten Katalysatoren brachten gleich gute Ergebnisse. Längeres Erhitzen brachte keine Vorteile. Der letzte in der Tafel angeführte Versuch, bei welchem bei Siedehitze gefüllt wurde, entspricht einem Eisen-Normalkatalysator.

2. Füllung mit Ammoniak.

In eine Ferrinitratlösung mit 100 g Eisen je Liter wurde bei 60° ein Ammoniakstrom geleitet. Die Strömungsgeschwindigkeit des gasförmigen Ammoniaks wurde im allgemeinen so eingestellt, daß die Füllung nach 20 Minuten beendet war. Der Ammoniak wird bis zur Beendigung der Füllung quantitativ aufgenommen. Dem breiartigen Niederschlag wurde ein gleiches Volumen siedendes destilliertes Wasser zugegeben, dann wurde abfiltriert und fünfmal mit heißem destilliertem Wasser gewaschen. Die evtl. Alkalisierung erfolgte wie bei den mit Natriumcarbonat gefüllten Katalysatoren. Die <sup>mit</sup> Ammoniak gefallten Eisennkontakte sind schwarzbraun, fest und haben einen glasischen Bruch.

4. Zusatz von Kieselgur.

Bei einer Reihe von Versuchen wurden Eisenn-Kieselgur-Katalysatoren verwendet. Diese werden in einem besonderen Abschnitt besprochen. Der Zusatz der Kieselgur erfolgte im allgemeinen nach der Alkalisierung und während des Eindampfens der Katalysatormasse am Wasserbad. Es ist zweckmäßig, die Kieselgur vorher in destilliertem Wasser aufzuschlämmen. Man verhindert dadurch einen zu schnellen Wasserentzug aus der Katalysatormasse und die Bildung inhomogener Klumpen.

B. Vorbehandlung des Katalysators.

Der frisch gefallte und getrocknete Eisenniederschlag ist ebenso wie ein noch nicht reduzierter Kobaltkatalysator als Katalysator der Umsetzungen von Kohlenoxyd

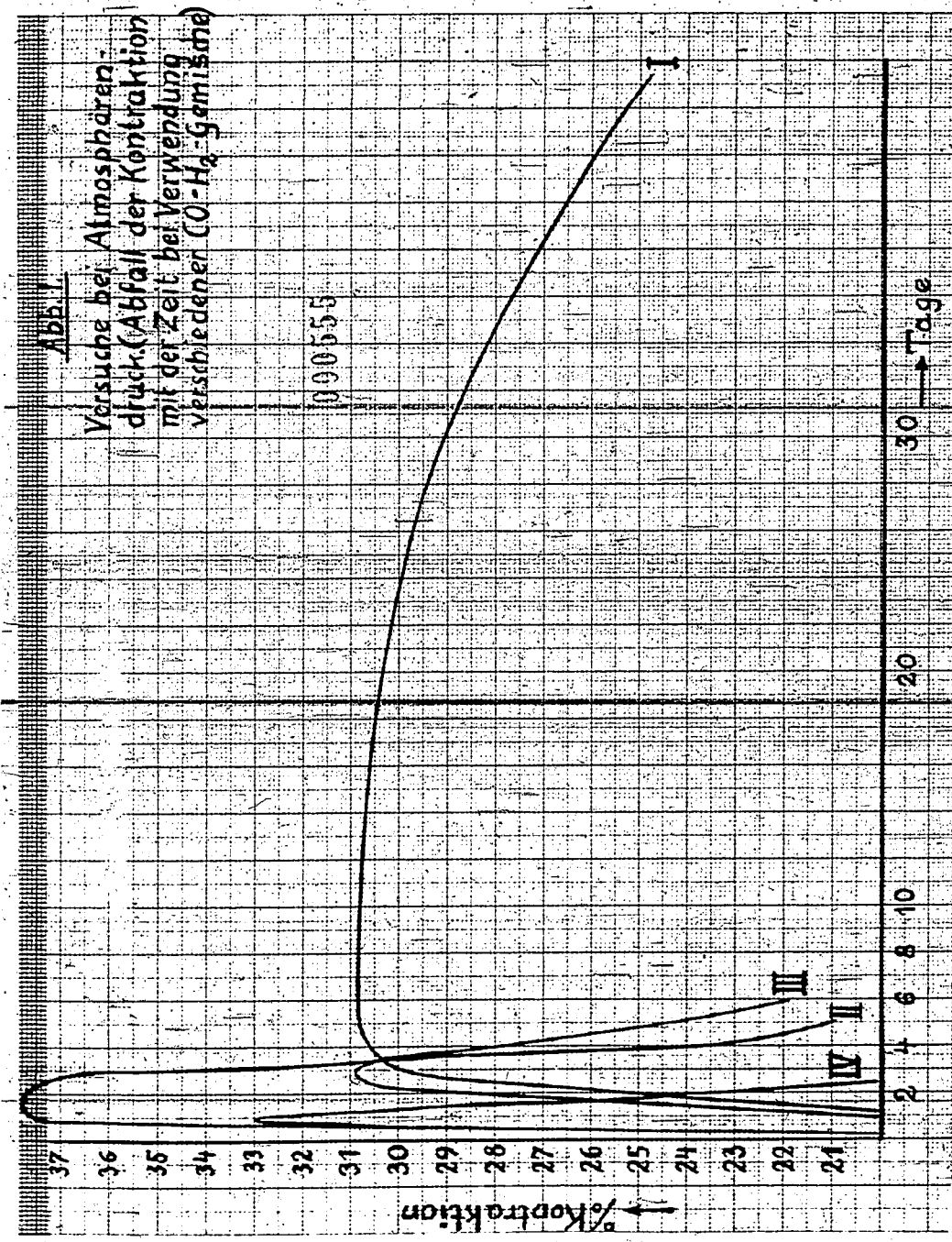
und Wasserstoff völlig inaktiv. Während aber im Falle des Kobalts durch Behandlung mit Wasserstoff bei etwa  $350^{\circ}$  eine weitgehende Reduktion zu Metall und gleichlaufend mit dieser ein Aktivieren des Katalysators für die Kohlenwasserstoffsynthese bei niedrigen Temperaturen bewirkt wird, kann ein Eisenkatalysator durch eine Vorbehandlung mit Wasserstoff nicht in einen für die Synthese geeigneten Zustand gebracht werden. Das Eisen geht bei einer Vorbehandlung mit Wasserstoff bei beispielsweise  $300 - 450^{\circ}$  in schwarzes ferromagnetisches  $\text{Fe}_3\text{O}_4$  über, welches die Umsetzungen von Kohlenoxyd mit Wasserstoff nicht katalysiert. Bei einer Vorbehandlung mit Kohlenoxyd hingegen (das bekanntlich neben einer je nach den Temperaturverhältnissen mehr oder minder weitgehenden Reduktion die Bildung von Carbiden und durch den Einbau von Kohlenstoff eine Auflockerung des ~~Gesamtes~~<sup>flüssig</sup> bewirkt) kann der Eisenkatalysator in eine für die Synthese höchstaktive Form gebracht werden. Die Vorbehandlung mit Kohlenoxyd oder kohlenoxydhaltigen Gasen wird im folgenden meist als "Formierung" bezeichnet.

1. Formierung mit Kohlenoxyd-Wasserstoffgemischen während der Synthese.

a) Mischgas und Atmosphärendruck.

Werden die durch Fällung hergestellten Eisenkatalysatoren mit Mischgas ( $\text{CO} : \text{H}_2 = 1 : 2$ ) bei Atmosphärendruck in Betrieb genommen, dann geschieht dies zweckmäßig bei  $235$  bis  $250^{\circ}\text{C}$ . Unter den Bedingungen der Normaldrucksynthese steigt bei  $235^{\circ}$  und einem Durchsatz von 4 ltr. Mischgas je Stunde und 10 g Eisen die Kontraktion innerhalb von 3 - 4 Tagen auf 30 %. Diese Zeit, während welcher der

Abb. 1  
Versuche bei Atmosphären-  
druck (Abfall der Kontraktion  
mit der Zeit bei Verwendung  
verschiedener O-H-Gemische)



Katalysator durch die Einwirkung des Synthesegases allmählich auf volle Aktivität gebracht wird, entspricht der Formierungsperiode. Bei Atmosphärendruck kann man während 3 - 4 Wochen bei einer maximalen Kontraktion von rd. 30 % mit Ausbeuten an flüssigen und festen Kohlenwasserstoffen von 50 g je cbm arbeiten. Das Kohlenoxyd des Mischgases wird annähernd aufgearbeitet, während ein großer Wasserstoffüberschuss im Abgas verbleibt. (Abbildung 1, Kurve 1 zeigt den Verlauf der infolge der Umsetzung beobachteten Kontraktionswert).

b) CO-reiches Gas und Atmosphärendruck.

Wird am Eisenkatalysator nicht wasserstoffreiches Mischgas, sondern ein Kohlenoxyd-asserstoffgemisch zur Umsetzung gebracht, dessen Zusammensetzung besser dem Verhältnis entspricht, in welchem die Komponenten miteinander reagieren, dann tritt beim Arbeiten bei Atmosphärendruck keine Verbesserung des Nutztes ein. Bei  $235^{\circ}$  beträgt die Formierungsperiode etwa 3 Tage. Es wird eine maximale Kontraktion von 51 % erreicht (Abbildung 1, Kurve 2). Bei  $245^{\circ}$  wird schon nach einem Tag der höchste Kontraktionswert von 38 % erhalten (Kurve 3), während bei  $255^{\circ}$  nach einem Tag das bei etwa 33 % liegende Maximum erreicht wurde (Kurve 4). Nach Erreichung der höchsten Kontraktionswerte fällt die Umsätze sehr schnell wieder ab. Das Abklingen zeigt, daß der Katalysator bei Durchführung der Synthese bei Atmosphärendruck durch kohlenoxydreiches Gas in seiner Wirksamkeit geschädigt wird.

a) CO-reiches Gas und erhöhter Druck.

Tafel 2 bringt einen durch 5 Monate betriebenen Dauerversuch mit einem Normalkatalysator, der direkt bei 15 at mit einem Synthesegas in Betrieb genommen wurde, das Kohlenoxyd und Wasserstoff im ungefährten Verhältnis 3 : 2 enthielt. Je 10 g Eisen strömten, bezogen auf 1 at, 4 Liter Synthesegas über den Katalysator. Bei 245° betrug die Kontraktion nach einem Tag 4 %, nach 2 Tagen 10 % (gegen 30 - 35 % nach derselben Zeit bei 1 at). Nun wurde die Temperatur allmählich gesteigert und jeweils einige Tage der Anstieg der Kontraktion beobachtet. Am 11. Tag wurden bei 260° 24 % Kontraktion erreicht. Eine Steigerung der Temperatur auf 270° brachte zunächst keine weitere Erhöhung des Umatzes. Bei 275° wurde 37 % gemessen und bei 280° 36 %. Erst bei 290° stieg die Kontraktion auf 50 %. Es

Tafel 2.

Formierung und Synthese bei einem Druck von 15 at.

| Tag | Temp.<br>°C | Kontr.<br>% | Tag | Temp.<br>°C | Kontr.<br>% |
|-----|-------------|-------------|-----|-------------|-------------|
| 1   | 245         | 4           | 69  | 268         | 37          |
| 4   | 245         | 10          | 75  | 280         | 47          |
| 5   | 250         | 13          | 90  | 280         | 49          |
| 7   | 253         | 17          | 98  | 283         | 44          |
| 11  | 260         | 24          | 106 | 285         | 43          |
| 13  | 270         | 24          | 130 | 288         | 43          |
| 14  | 275         | 37          | 140 | 292         | 44          |
| 28  | 280         | 36          | 150 | 298         | 47          |
| 60  | 290         | 50          |     |             |             |

Ausbeutebestimmung im dritten Betriebsmonat bei 280°.

|                    | CO <sub>2</sub> | SKW                               | O <sub>2</sub>                | CO   | H <sub>2</sub> | KW  | CZ  | N <sub>2</sub> |
|--------------------|-----------------|-----------------------------------|-------------------------------|------|----------------|-----|-----|----------------|
| Anfangsgas:        | 2,2             | 0,0                               | 0,2                           | 59,0 | 33,9           | 0,2 | 1,0 | 8,5            |
| Endgas:            | 55,5            | 3,4                               | 0,2                           | 11,5 | 11,7           | 9,3 | 1,7 | 8,4            |
| Ausbeute/Idealgas: | 3 g Paraffin,   | 93 g flüssige Kohlenwasserstoffe, | 32 g Gasolkohlenwasserstoffe. |      |                |     |     |                |

wurde dann versucht, ob dieser einmal erreichte Umsatz nach einer Senkung der Temperatur erhalten bleibt. Bei  $263^{\circ}$  fiel die Kontraktion wieder auf 37 %, bei  $280^{\circ}$  wurde aber im dritten Betriebsmonat ein besserer Umsatz festgestellt als nach einem Monat. In der Zwischenzeit ist eine langsame Formierung des Katalysators eingetreten. Im vierten und fünften Betriebsmonat mußte die Temperatur zur Erhaltung einer Kontraktion von 40 - 50 % wieder gesteigert werden. Sie betrug bei Beendigung des Versuches <sup>nach</sup> (5 Monaten)  $300^{\circ}$ .

Im dritten Monat ergab eine bei  $280^{\circ}$  ausgeführte Ausbeutebestimmung, die in der Tafel 2, unten angeführten Ergebnisse. In festem Paraffin wurden je Ncm<sup>3</sup> idealgas (inertfreies Anfangsgas) 3 g erhalten, an flüssigen Kohlenwasserstoffen 93 g und an Gasol-(C<sub>2</sub> + C<sub>4</sub>) Kohlenwasserstoffen 32 g.

Beim Über der bei Atmosphärendruck ausgeführten Synthese wurde bei der direkten Inbetriebnahme des Katalysators bei erhöhtem Druck der Formierungsvorgang, und zwar besonders das Ingangkommen der Reaktion bei niedrigen Temperaturen, gehemmt. Andererseits konnte bei einem Druck von 15 at bei Verwendung von kohlenoxydreichem Synthesegas die Temperatur bis auf  $280$  bis  $290^{\circ}$  gesteigert werden, ohne daß diese Temperatursteigerung wie bei 1 at ein schnelles Abklingen der Umsetzungen zur Folge gehabt hätte.

Diese Ergebnisse wurden mit auf verschiedenste Weise hergestellten Eisenkatalysatoren (Perro- und Ferri-Katalysatoren) mit und ohne Zusatz von Kupfer erhalten.

2. Formierung mit Kohlenoxyd-Wasserstoffgemischen  
in einem von der Synthese getrennten Vorgang.

a) Formierung bei verschiedenen Drücken und Synthese  
bei gewöhnlichem Druck.

Es sollte versucht werden, ob eine Steigerung der Aktivität bei Katalysatoren dadurch zu erreichen ist, daß die Formierung und die Synthese voneinander getrennt und für jeden der beiden Vorgänge optimale Bedingungen ermittelt werden.

Zur Prüfung des Einflusses des Formierungsdruckes auf die Synthese bei Atmosphärendruck wurde die in Tafel 3 wiedergegebene Versuchsserie ausgeführt. Es wurde bei 255° durch 20 Stunden mit 4 ltr. (bezogen auf 1 at) (je Stunde und je 10 g Eisen) C6-reichem Gas (3 CO : 2 H<sub>2</sub>) formiert. Die Höhe des Umsatzes bei dem darauf folgenden mit Mischgas (1 CO : 2 H<sub>2</sub>, 4 ltr./Stunde/10 g Eisen) bei Atmosphärendruck durchgeführten Synthese wurde 1 1/2 Stunden nach dem Umschalten, ebenfalls bei 255° gemessen.

Tafel 3.

Einfluß des Formierungsdruckes auf die Synthese bei  
Atmosphärendruck.

|                      |     |     |     |    |     |    |     |     |
|----------------------|-----|-----|-----|----|-----|----|-----|-----|
| Formierungsdruck atm | 8,5 | 4,7 | 2,9 | 2  | 1,5 | 1  | 0,5 | 0,1 |
| Synthese Kontr. %    |     | 5   | 12  | 12 | 28  | 25 | 28  | 32  |

Die Versuche zeigten, daß erhöhter Druck den Formierungsvorgang behindert. Formierungsdrücke unterhalb 1 at brachten der bei Atmosphärendruck durchgeführten Synthese keine wesentlichen Vorteile.

b) Formierung bei gewöhnlichem und Synthese bei erhöhtem Druck.)

Für diese Arbeitsweise werden ein Versuch mit einem mit Natriumcarbonat gefüllten Eisenkatalysator und ein Dauerversuch mit einem mit Ammoniak gefüllten Eisenkatalysator ausgeführt. Beide Katalysatoren wurden, wie eingangs beschrieben, hergestellt und enthielten 1/4 % Kaliumcarbonat.

Der mit Soda gefüllte Eisen-Normalkatalysator wurde mit 4 ltr./g 10g Eisen/Std. kohlenoxydreiches Gas bei 1 at und 245° durch 21 1/2 Stunden formiert. Dieses Gas ergab am Ende der Vorbehandlung eine Kontraktion von 33 %. Dann wurde auf Synthese (15 at und 235°) umgeschaltet. Nach dem Umschalten auf Druck betrug die Kontraktion sofort 50 %, am zweiten Synthesetag jedoch nurmehr 33 % und am dritten Tag 30 %. Die Temperatur von 235° war für den Katalysator zur Erhaltung einer Kontraktion von 50 % zu niedrig. Nach einer Vorbehandlung des gleichen Eisenkatalysators mit Mischgas von Atmosphärendruck und 245° (Endkontraktion 30 %) und Umschaltung auf 15 at kohlenoxydreiches Gas wurden bei 235° 43 % und bei 250° 47 % Kontraktion gemessen. Die Temperatur mußte zur Erhaltung einer Kontraktion von 45 - 50 % innerhalb von 14 Tagen auf 257° erhöht werden.

Der mit Ammoniak gefüllte Eisenkatalysator wurde bei 245° und Atmosphärendruck mit Mischgas formiert. Die

→ Bei den Versuchen über den Einfluß des Formierungsvorganges auf die Aktivität der Katalysatoren wurden diese unter geeigneten Synthesebedingungen geprüft. Der Einfluß der verschiedenen Synthesebedingungen wird im Abschnitt "Synthese" behandelt.

Kontraktion stieg im Laufe von 5 Tagen auf 51,5 %. Dann wurde auf kohlenoxydreiches Synthesegas ( $3 \text{ CO} : 2 \text{ H}_2$ ) und 15 at Druck umgestellt. Tafel 4 bringt die Höhe der Kontraktion nach verschiedenen Betriebszeiten und die Zusammensetzung des Synthesegases und eines bei  $250^\circ$  (4. Tag) erhaltenen Reaktionsgases.

Tafel 4.

Synthese bei 15 at mit einem bei 1 at formierten, mit Ammoniak gefüllten Eisenkatalysator.

| Tag | Temp.<br>°C | Kontraktion<br>% |
|-----|-------------|------------------|
| 1   | 245         | 59               |
| 2   | 245         | 48               |
| 4   | 250         | 53               |
| 5   | 250         | 49               |
| 10  | 252         | 46               |
| 20  | 256         | 51               |
| 50  | 255         | 51               |
| 100 | 265         | 55               |

|             | CO <sub>2</sub> | SKN | O <sub>2</sub> | CO   | H <sub>2</sub> | KW  | CZ  | N <sub>2</sub> |
|-------------|-----------------|-----|----------------|------|----------------|-----|-----|----------------|
| Anfangsgas: | 2,7             | 0,0 | 0,0            | 55,8 | 37,3           | 0,0 | -   | 4,2            |
| Endgas:     | 53,8            | 3,4 | 0,0            | 11,4 | 16,2           | 6,2 | 2,0 | 9,0            |

Dieser Versuch ergab am ersten Synthesetag bei  $245^\circ$  eine Kontraktion von 59 %. Zur Erhaltung höchster Ausbeuten und dementsprechend von Kontraktionswerten von 50 % und darüber wurde die Temperatur allmählich erhöht. Der volle Umsatz konnte während mehr als drei Monaten aufrecht erhalten werden. Nach 100 Betriebstagen betrug die Temperatur  $265^\circ$ .

Ein Vergleich dieser Versuchsserie mit der in Tafel 2 wiedergegebenen, bei welcher ohne vorherige Formierung bei gewöhnlichem Druck direkt bei 15 at in Betrieb

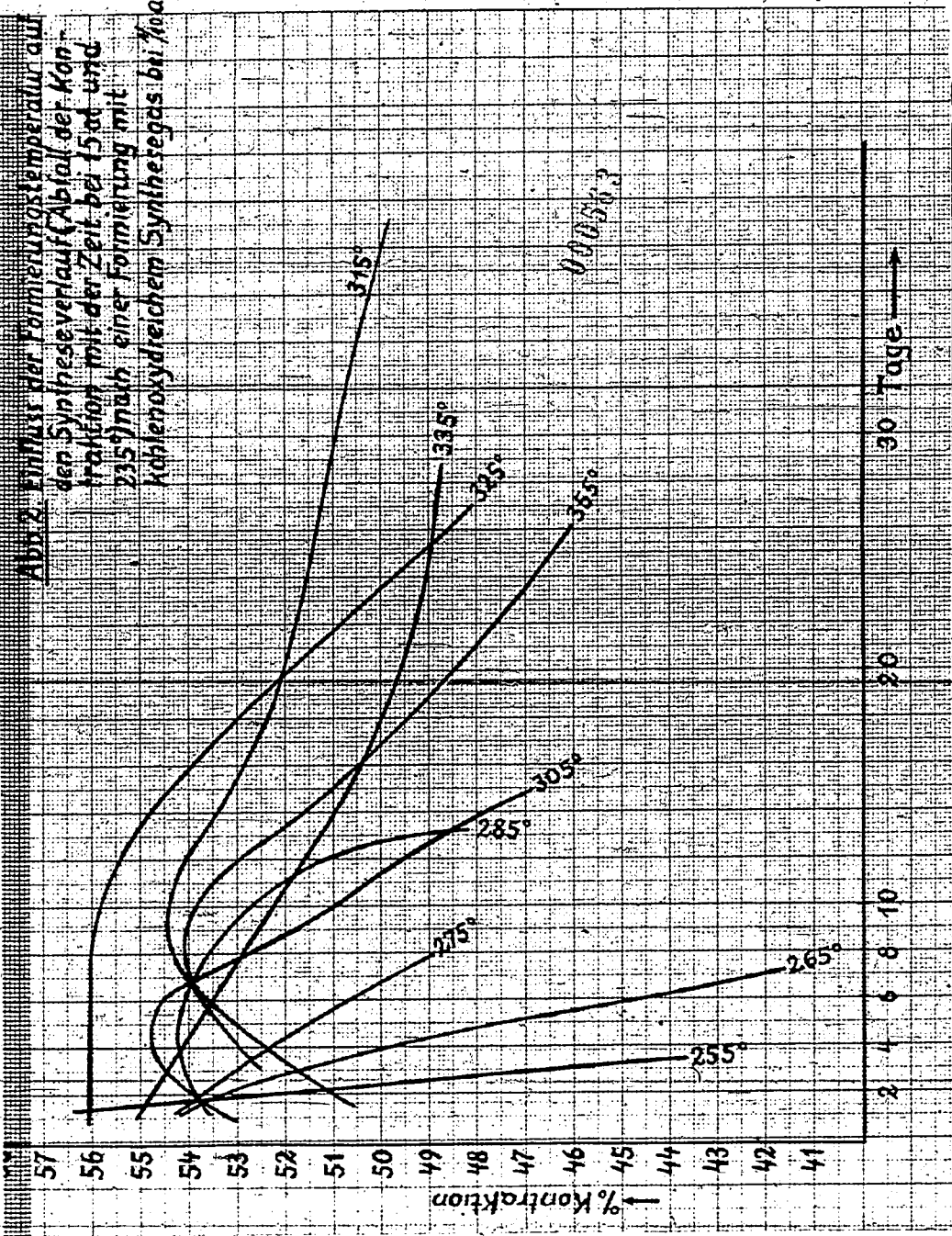
gegangen wurde, zeigt, daß durch die vorherige Formierung bei Atmosphärendruck eine Herabsetzung der durchschnittlichen Synthesetemperatur um  $30 - 40^\circ$  ermöglicht wurde. Die durch die Formierung bei dem niedrigeren Druck von 1 at bewirkte Aktivitätserhöhung des Katalysators blieb während der gesamten Dauer des Versuches erhalten.

c) Formierung bei vermindertem Druck und verschiedenen Temperaturen und Synthese bei erhöhtem Druck:

Im Folgenden sind Versuche zusammengestellt, bei welchen Eisen-Normalkatalysatoren mit kohlenoxydreichem Gas ( $3 \text{ CO} : 2 \text{ H}_2$ ) bei 1/10 at und verschiedenen Temperaturen formiert wurden. Nach der 25-Stunden-dauernen Formierung bei Temperaturen im Bereich von  $255 - 355^\circ$  wurde die Aktivität des Katalysators bei der Synthese ( $\text{CO} : \text{H}_2 = 3 : 2$ , 15 at und  $235^\circ$ ) während längerer Zeiträume geprüft. Abbildung 2 bringt das Absinken der Kontraktion mit der Zeit bei einer konstanten Synthesetemperatur und  $235^\circ$  (4 Ltr.Gas/10 g Eisen/Std.). Nach einer Formierung bei  $255^\circ$  sank die Kontraktion schon am dritten Tag der Synthese unter 50 %, mit steigender Formierungs-temperatur trat eine Erhöhung der Lebensdauer des Katalysators ein, bei einer Formierungs-temperatur von  $315^\circ$  wurde die Grenze von 50 % Kontraktion erst nach mehr als einem Monat unterschritten. Bei höheren Formierungs-temperaturen nahm die Beständigkeit des Eisenkatalysators wieder ab.

Tafel 5 bringt als Beispiel den Versuch, dessen Katalysator bei  $325^\circ$  und 1/10 at formiert worden war. Es sind Temperaturen und Kontraktionen während 200 Betriebs-

Abbildung 2: Einfluss der Polymerisationszeit und auf den Syntheseverlauf (Ablauf der Kontraktion in der Zeit bei 150 und 115 nach einer Formierung mit Kohlenoxydreichem Synthesegesetz bei 10at.



tagen angegeben, außerdem die Anfangs- und Endgasanalysen am 10., 100. und 200. Betriebstag. Es wurde solange bei 235° gearbeitet, als die Kontraktion oberhalb 50 % blieb, dann wurde die Temperatur langsam gesteigert, und zwar immer nur soweit, daß eine maximale Kontraktion erhalten wurde. Erst nach zwei Monaten mußte die Temperatur über 240° und nach drei Monaten über 250° gesteigert werden.

Tafel 5.

Ergebnisse eines bei 325° mit Synthesegas formierten Eisenkatalysators:

Formierung: CO-reiches Gas, 1/10 at, 4 Ltr./10 g Eisen/Stdn., 25 Stunden.

Syntheser: CO-reiches Gas, 15 at, 4 Ltr./10 g Eisen/Stdn., Temperaturen von 235° ansteigend.

| Tag | Temp.<br>°C | Kontr.<br>% | Tag | Temp.<br>°C | Kontr.<br>% |
|-----|-------------|-------------|-----|-------------|-------------|
| 1   | 235         | 56          | 100 | 252         | 52          |
| 5   | 235         | 56          | 110 | 248         | 48          |
| 10  | 235         | 56          | 120 | 256         | 48          |
| 20  | 235         | 52          | 130 | 264         | 46          |
| 30  | 237         | 48          | 140 | 269         | 47          |
| 40  | 240         | 52          | 150 | 270         | 43          |
| 50  | 240         | 50          | 160 | 270         | 47          |
| 60  | 241         | 48          | 170 | 277         | 44          |
| 70  | 247         | 53          | 180 | 278         | 43          |
| 80  | 250         | 54          | 190 | 272         | 46          |
| 90  | 249         | 53          | 200 | 273         | 47          |

|                      | CO <sub>2</sub> | CH <sub>4</sub> | O <sub>2</sub> | CO   | H <sub>2</sub> | KW  | CZ  | N <sub>2</sub> |
|----------------------|-----------------|-----------------|----------------|------|----------------|-----|-----|----------------|
| 10. Tag Anfangsgas:  | 2,4             | 0,0             | 0,1            | 52,5 | 37,6           | 0,0 | -   | 6,3            |
| Endgas:              | 61,8            | 2,8             | 0,0            | 1,6  | 12,2           | 7,2 | 1,9 | 14,4           |
| 100. Tag Anfangsgas: | 2,0             | 0,0             | 0,2            | 53,6 | 37,0           | 0,3 | 1,0 | 5,9            |
| Endgas:              | 53,0            | 2,4             | 0,1            | 8,1  | 15,9           | 8,3 | 1,9 | 12,2           |
| 200. Tag Anfangsgas: | 2,3             | 0,0             | 0,2            | 57,0 | 31,3           | 0,2 | 1,0 | 7,6            |
| Endgas:              | 48,3            | 2,8             | 0,1            | 15,4 | 13,4           | 5,6 | 1,9 | 14,4           |

Die Kontraktion fiel während der 200 Betriebs-tage von 56 auf 47 %. Die Zusammensetzung der Endgase ver-änderte sich mit Ausnahme der Kohlensäurespitzenwerte wäh-rend der ersten Tage während der langen Betriebsperiode nur wenig. An festen, flüssigen und Gasol<sup>kohlenwasserstoff-</sup>ten wurden bei einer in der zweiten Betriebswoche durch-geführten Ausbeutebestimmung 149 g je Nbm Idealgas erhal-ten. Auf die Gasolkohlenwasserstoffe entfielen hiervon

31 g.

Ein Vergleich dieser bei 1/10 at Formierungs-druck und 325° Formierungstemperatur erhaltenen Ergebnisse mit den bei 1 at Formierungsdruck und 245° Formierungstemperatur (Tafel 4) und den bei 15 at Formierungsdruck (Tafel 2) erzielten, zeigt, daß während des ersten Syn-thesemonats die zur Erreichung einer 50%igen Kontraktion notwendige Synthesetemperatur nach der Formierung bei 1/10 at bei 235°, nach der Formierung von 1 at bei <sup>bet</sup> 245 - 255° und nach der Formierung bei 15 at bei 280 - 290° lag.

d) Einfluß des Formierungsdruckes bei einer For-mierungstemperatur von 325° auf die Synthese bei erhöhtem Druck.

Nachdem sich bei einem Formierungsdruck von 1/10 at eine Formierungstemperatur von etwa 325° als op-timal herausgestellt hatte, wurde bei dieser Temperatur der Einfluß des Formierungsdruckes noch einmal bestimmt. Tafel 6 bringt die diesbezüglichen Ergebnisse. Die For-mierung wurde jeweils 25 Stunden mit kohlenoxydreichem Synthesegas durchgeführt und der Katalysator hierauf bei 235° mit dem Synthesegas (3 CO : 2 H<sub>2</sub>) bei 15 at geprüft.

Tafel 6.

Einfluß des Formierungsdrückes (bei einer Formierungstemperatur von 325° und bei Verwendung von Synthesegas für die Formierung) auf den Syntheseverlauf bei 235°.

| Druck<br>at | Betriebsdauer in Tagen |    |    |    |    | Kontaktion in % |
|-------------|------------------------|----|----|----|----|-----------------|
|             | 1                      | 2  | 4  | 10 | 20 |                 |
| 15          | 30                     | 24 | 15 | -  | -  | -               |
| 1           | 56                     | 54 | 55 | 50 | 49 | 50              |
| 0,1         | 56                     | 56 | 56 | 56 | 52 | 48              |

Die Tafel zeigt, daß der Katalysator nach einer Formierung bei 15 at und 325° nur geringe Aktivität besitzt und auch diese schnell verliert. Die Formierung bei 1 oder 1/10 at brachte bei Formierungstemperaturen von 325° während eines Synthesemonats die gleichen Umsätze.

5. Formierung mit Kohlenoxyd.

Da Wasserstoff eine Formierung des Eisenkatalysators nicht ermöglicht, andererseits aber bei Verwendung von Kohlenoxyd-Wasserstoffgemischen, vor allem bei Formierungstemperaturen von 300° und darunter die Gefahr besteht, daß während der Formierung Produkte gebildet werden, welche die aktiven Stellen des Katalysators zum Teil blockieren, wurde Versuche mit wasserstofffreiem Kohlenoxyd durchgeführt.

a) Einfluß der Formierungstemperatur bei 1/10 at Formierungsdruck.

Zur Festlegung der optimalen Formierungstemperatur wurde eine analoge Serie von Versuchen durchgeführt wie bei der Formierung mit Synthesegas (vgl. Abbildung 2). Es wurde 25 Stunden bei 1/10 at mit Kohlenoxyd bei verschiedenen

Temperaturen formiert. Die ständig übergeleitete Kohlenoxydmenge betrug je 10 g Eisen 4 Ltr. (bezogen auf 1 at). Die darauf folgende zur Prüfung des Katalysators durchgeführte Synthese wurde wieder bei  $235^{\circ}$  mit kohlenoxydreichem Synthesegas (3 CO : 2 H<sub>2</sub>) bei einem Druck von 15 at und einer Strömungsgeschwindigkeit von 4 Ltr./10 g Eisen/Std. ausgeführt. Abbildung 3 zeigt das Verhalten der bei  $255^{\circ}$ ,  $305^{\circ}$ ,  $325^{\circ}$ ,  $345^{\circ}$  und  $400^{\circ}$  mit Kohlenoxyd formierten Katalysatoren. Am besten verhielt sich der bei  $325^{\circ}$  formierte Eisenkatalysator. Während der ersten 20 Tage der Synthese stieg der Umsatz allmählich von 50 auf 55 % Kontraktion. Bis zum Ende des vierten Monats brachte er bei  $235^{\circ}$  einen ~~kein~~ konstanten Umsatz entsprechend einer Kontraktion von 55 %. Nach einer bei  $345^{\circ}$  durchgeführten Formierung zeigte der Eisenkatalysator während 80 Tagen eine oberhalb 50 % liegende Kontraktion. Niedrigere Formierungstemperaturen wie  $255^{\circ}$  und  $305^{\circ}$  und höhere wie  $400^{\circ}$  brachten schlechtere Ergebnisse.

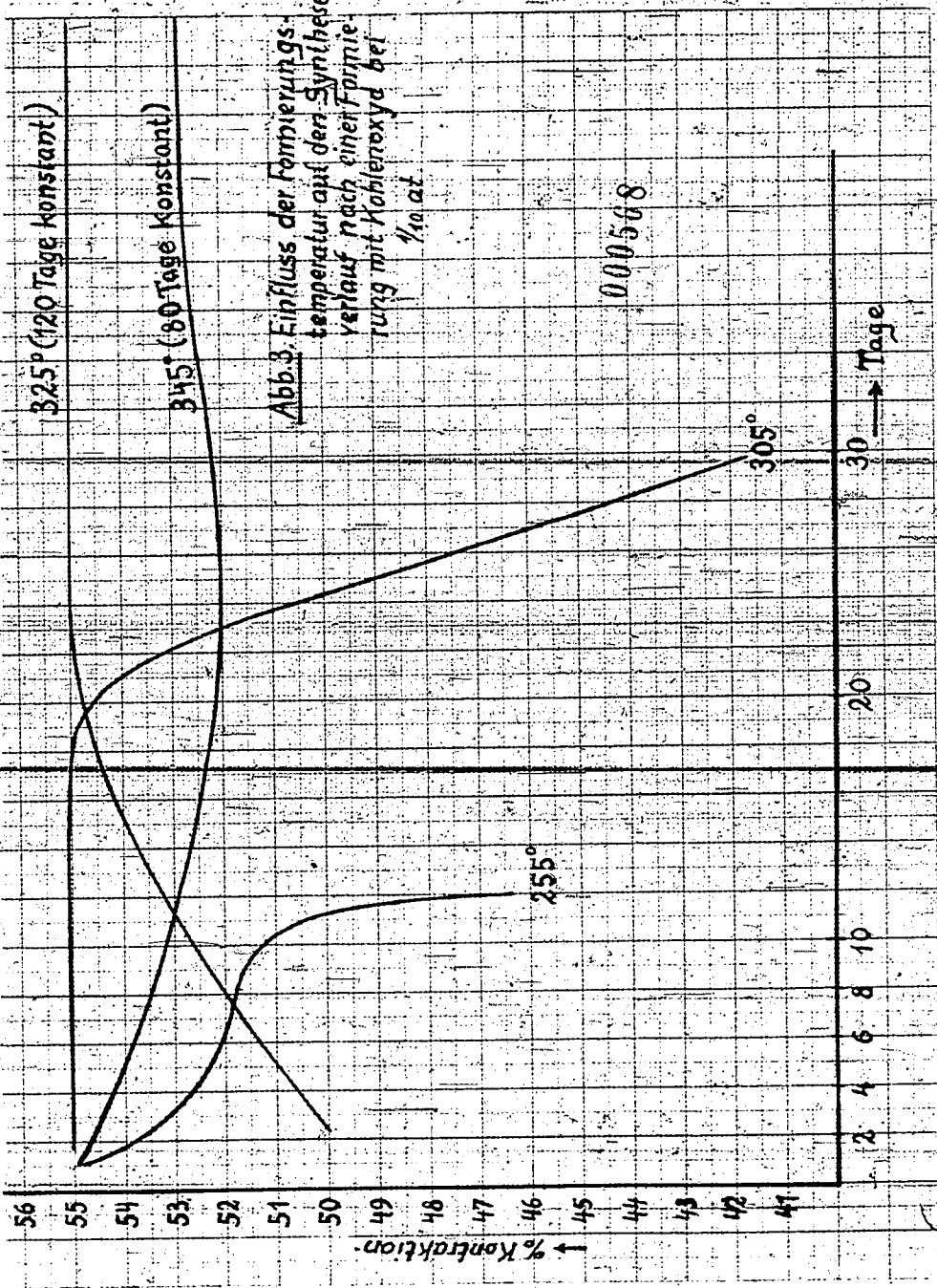
Ein Vergleich der Abbildung 2 und 3 zeigt, daß bei allen Formierungstemperaturen die mit reinem Kohlenoxyd formierten Eisenkatalysatoren eine größere Lebensdauer besaßen als die mit Kohlenoxyd-Wasserstoffgemisch behandelten. Bei  $255^{\circ}$  trat bei der Vorbehandlung mit reinem Kohlenoxyd ein Abfall unter eine Kontraktion von 50% am 12. Tag ein, bei der Vorbehandlung mit Synthesegas am 3. Tag, bei  $305^{\circ}$  Formierungstemperatur trat der entsprechende Abfall am 25. bzw. 12. Tag ein und bei  $325^{\circ}$  nach 120 Tagen gegenübe 24 Tagen.

Bei dem bei  $325^{\circ}$  formierten Katalysator mußte

325° (120 Tage konstant)

345° (80 Tage konstant)

Abb. 3. Einfluss der Fomierungstemperatur auf den Syntheseverlauf nach einer Polymerisierung mit Föhneroxyd bei 110 at



nach 130 Betriebstagen die Temperatur gesteigert werden,  
bei dem bei 345° formierten Katalysator nach 80 Tagen.

Einige Betriebsdaten dieser beiden Versuche sind in den  
Tafeln 7 und 8 zusammengestellt.

Tafel 7.

Ergebnisse eines bei 325° mit Kohlenoxyd formierten Eisen-  
katalysators.

Formierung: Kohlenoxyd, 1/10 at., 4 Ltr./10 g Eisen/Stdn.  
25 Stunden.

Synthese: CO-reiches Gas, 15 at., 4 Ltr./10 g Eisen/Stdn.,  
Temperaturen von 235° ansteigend.

| Tag | Temp.<br>°C | Kontr.<br>% | Tag | Temp.<br>°C | Kontr.<br>% |
|-----|-------------|-------------|-----|-------------|-------------|
| 1   | 235         | 47          | 140 | 245         | 48          |
| 2   | "           | 50          | 160 | 250         | 49          |
| 5   | "           | 50          | 180 | 251         | 50          |
| 10  | "           | 51          | 200 | 250         | 44          |
| 20  | "           | 55          | 250 | 265         | 50          |
| 50  | "           | 54          | 300 | 263         | 43          |
| 100 | "           | 53          | 350 | 270         | 40          |
| 130 | "           | 47          |     |             |             |

|                                       | CO <sub>2</sub> | SKW                   | O <sub>2</sub> | CO               | E <sub>2</sub> | KW   | CZ  | N <sub>2</sub> |
|---------------------------------------|-----------------|-----------------------|----------------|------------------|----------------|------|-----|----------------|
| 40. Tag Anfangsgas:                   | 2,0             | 0,0                   | 0,0            | 53,4             | 39,8           | 0,0  | -   | 4,8            |
| Endgas:                               | 57,0            | 2,6                   | 0,1            | 6,3              | 14,6           | 8,9  | 2,0 | 10,5           |
| 70. Tag Anfangsgas:                   | 2,5             | 0,0                   | 0,2            | 54,7             | 37,9           | 0,2  | 1,0 | 4,5            |
| Endgas:                               | 64,0            | 2,9                   | 0,0            | 2,5              | 9,5            | 11,3 | 1,9 | 9,8            |
| 100. Tag Anfangsgas:                  | 3,5             | 0,0                   | 0,0            | 54,4             | 37,1           | 0,2  | 1,0 | 4,8            |
| Endgas:                               | 61,2            | 3,3                   | 0,1            | 5,2              | 11,2           | 9,0  | 1,9 | 10,0           |
| 300. Tag Anfangsgas:                  | 2,0             | 0,0                   | 0,2            | 56,6             | 34,8           | 0,2  | 1,0 | 6,2            |
| Endgas:                               | 48,9            | 2,9                   | 0,2            | 15,9             | 10,8           | 8,5  | 1,9 | 12,2           |
| Ausbeute je Ncbm Idealgas am 40. Tag: | 108             | g flüss. u. feste KW, | 44             | g Gasol-KW       |                |      |     |                |
| " " " " " :                           | 70.             | " : 105 g             | " "            | " ", 45 g        | " "            |      |     |                |
| " " " " " :                           | 100.            | " : 110 g             | " "            | " ", 47 g        | " "            |      |     |                |
| " " " " " :                           | 300.            | " : 110 g             | " "            | " ", nicht best. | " "            |      |     |                |

Der Versuch mit dem bei 325° formierten Eisenkatalysator war ein Jahr in Betrieb. Nachdem er durch vier Monate bei 235° einen konstanten Umsatz gebracht hatte, musste in der darauffolgenden Zeit die Temperatur zur Erhaltung des Umsatzes langsam bis auf 270° gesteigert werden. Die Ausbeuten blieben während der ganzen Betriebszeit ungefähr dieselben. Sie betrugen 105 - 110 g flüssige und feste Kohlenwasserstoffe und 44 - 47 g Gasolkohlenwasserstoffe je Ncbm Idealgas.

#### Tafel 8.

#### Ergebnisse eines bei 345° mit Kohlenoxyd formierten Eisenkatalysators.

Formierung: Kohlenoxyd, 1/10 at, 4 Ltr./10 g Eisen/Stdn., 25 Stunden.

Syntheser: CO-reiches Gas, 15 at, 4 Ltr./10 g Eisen/Stdn., Temperatur von 235° ansteigend.

| Tag | Temp.<br>°C | Kontr.<br>% | Tag | Temp.<br>°C | Kontr.<br>% |
|-----|-------------|-------------|-----|-------------|-------------|
| 1   | 235         | 55          | 60  | 235         | 52          |
| 5   | "           | 50          | 80  | "           | 49          |
| 10  | "           | 51          | 100 | 248         | 54          |
| 20  | "           | 51          | 115 | 250         | 49          |
| 40  | "           | 53          |     |             |             |

CO<sub>2</sub> SKW O<sub>2</sub> CO H<sub>2</sub> KW CZ N<sub>2</sub>

50. Tag Anfangsgas: 2,2 0,0 0,0 53,4 39,6 0,0 -- 4,8

Endgas: 57,7 2,8 0,2 6,1 13,8 8,9 1,9 10,5

Der bei 345° formierte Katalysator brachte am Ende des zweiten Betriebsmonats bei 235° eine Ausbeute von 110 g festen und flüssigen und 41 g Gasolkohlenwasserstoffen je Ncbm Idealgas. Gegen Ende des vierten Monats betrug die Temperatur 250° bei einer Kontraktion von noch annähernd 50 %.

Die Endgasanalysen der Synthese zeigen nach der Formierung mit Kohlenoxyd bei 1/10 at und 325 - 345° (s. auch Tafel 7) entsprechend der Konstanz der Kontraktionswerte während vieler Betriebsmonate keine wesentlichen Veränderungen.

b) Einfluß des Formierungsdruckes.

Es wurde mit Kohlenoxyd eine analoge Druckreihe ausgeführt wie bei der Formierung mit Synthesegas (s.Tafel 6). Tafel 9 bringt Kontraktionen nach verschiedener Synthesedauer nach einer Formierung bei 15 at, bei 1 at und bei 1/10 at. Die Formierungszeit war wieder 25 Stunden (4 ltr./Std.), die Formierungstemperatur 325°.

Während der ersten Betriebsstage gaben alle drei Katalysatoren gute Umsätze. Der bei 15 at formierte Katalysator fiel aber in der vierten Woche ab, während der bei 1/10 at formierte Katalysator durch drei Monate konstanten Umsatz gab<sup>+)</sup>.

Tafel 9.

Einfluß des Formierungsdruckes (bei einer Formierungstemperatur von 325° und bei Verwendung von Kohlenoxyd für die Formierung) auf den Syntheseverlauf bei 23%.

| Druck            | Betriebsdauer in Tagen |    |    |    |    |    |
|------------------|------------------------|----|----|----|----|----|
|                  | 1                      | 10 | 20 | 25 | 30 | 60 |
| Kontraktion in % |                        |    |    |    |    |    |
| 15               | 58                     | 52 | 48 | 40 | -  | -  |
| 1                | 58                     | 57 | 53 |    |    |    |
| 0,1              | -                      | 51 | 55 | 54 | 56 | 54 |

+.) Bei der Formierung bei erhöhten Druck wurde verhältnismäßig viel Kohlenstoff am Katalysator abgeschieden. Quantitatives hierüber wird an anderer Stelle berichtet.

Ein Vergleich der Ergebnisse dieser Versuchsserie mit denen der Tafel 6 zeigt, daß auch beim Formieren bei erhöhtem Druck eine Formierung mit reinem Kohlenoxyd bessere Ergebnisse bringt als eine Formierung mit Kohlenoxyd-Wasserstoffigenischen.

c) Formierungszeit.

Bei der Formierung bei verminderter Druck wurden rd. 100 Ltr. Kohlenoxyd je 10 g Eisen über den Katalysator geleitet. Bei dem erforderlichen schnellen Überleiten dieses Gases wurde nur ein kleiner Teil verbraucht, der größere kann nach Abtrennung der gebildeten Kohlensäure von neuem zur Vorbehandlung von Eisenkatalysatoren Verwendung finden.

Der Formierungsvorgang kann durch Bestimmung der mit ihm verbundenen Kohlensäurebildung beobachtet werden. Die Kurven I und 2 der Abbildung 4 bringen die bei 1/10 atm und 325° je 10 g Eisen und Stunde gebildeten Kohlensäuremengen. Bei Kurve I wurde die Temperatur von 325° nach 2 1/2 Stunden erreicht, bei Kurve II nach 1 1/2 Stunden. Während dieser Anheizzeit war die Strömungsgeschwindigkeit des Kohlenoxyds in beiden Fällen 4 Ltr./Std. Bei dem der Kurve I entsprechenden Versuch wurde auch weiter mit dieser Strömungsgeschwindigkeit gearbeitet, nach Kurve II mit 40 Ltr./Std. Bei 4 Ltr. Kohlenoxyd je Stunde wurde zunächst etwas mehr als 1 Ltr. Kohlensäure je Stunde gebildet. Die Kohlensäurebildung nahm allmählich ab. Etwa 25 Stunden nach Erreichung der Temperatur von 325° nähert sich die Kohlensäurebildung einem konstanten Mindestwert von 0,2 - 0,3 Ltr./Std. Bei 40 Ltr./Std.

betrug der Kohlensäurehöchstwert 8 Ltr./Std. und nach 2 1/2 Std. wurde ein konstanter Wert von rd. 1 Ltr./Std. erreicht. In beiden Fällen waren bei Erreichung des konstanten Mindestwertes rd. 180 Liter Kohlenoxyd über den Katalysator geleitet worden. An Kohlensäure wurden bei Versuch 1 insgesamt bis zu diesem Zeitpunkt 16 Ltr., bei Versuch 2 11 Ltr. gebildet. Die Kohlensäurebildung entspricht neben dem Reduktionsvorgang einer Bildung von gebundenem und von freiem Kohlenstoff nach  $2 \text{ CO} = \text{C} + \text{CO}_2$ . Bei der langsame Stromungsgeschwindigkeit des Versuches 1 wurde mehr Kohlenstoff eingelagert als bei Versuch 2.

In Tafel 10 sind vier Versuche zusammengestellt. Versuch 1 a und 1 b gehören zu der Kohlensäurekurve I der Abbildung 4, die Versuche 2 a und 2 b zu der Kurve II. Bei Versuch 1 a wurde 25 Stunden mit 4 Ltr./Std. bei 325° formiert, bei Versuch 1 b 2 1/2 Std., bei Versuch 2 a wurde 2 1/2 Std. mit 40 Ltr. Kohlenoxyd je Stunde bei 325° formiert, bei Versuch 2 b nur 20 Minuten. Die Punkte, bei welchen die Formierung abgebrochen und mit der Synthese begonnen wurde, sind bei den Kurven der Abbildung 4 durch Kreuze gekennzeichnet. Die darauffolgende Synthese wurde in allen Fällen bei einem Druck von 15 at und einer Temperatur von 235° ausgeführt. Wie die Tafel 10 zeigt, war bei den Versuchen 1 a und 2 a nach Überleiten von 100 Ltr. Kohlenoxyd eine gute und dauerhafte Aktivität des Katalysators erreicht worden. Ein Abbrechen der Formierung vor dem Abklingen der "Kohlensäure-Kurve" (Versuch 1 b und 2 b) brachte Katalysatoren, die zu Anfang wohl einen guten Umsatz ergaben, dann aber sehr schnell ~~schwund~~ abfielen.

Tafel 10.Der Einfluß der Strömungsgeschwindigkeit des Kohlenoxyds und  
mit der Formierungszeit auf den Syntheseverlauf.

| Versuch                        | 1 a | 1 b | 2 a | 2 b |
|--------------------------------|-----|-----|-----|-----|
| Ltr. CO/Std.                   | 4   | 4   | 40  | 40  |
| Formierungsduer<br>(Std.)      | 25  | 2,5 | 2,5 | 0,3 |
| Gesamtkohlenoxyd-<br>Durchgang | 100 | 10  | 100 | 12  |

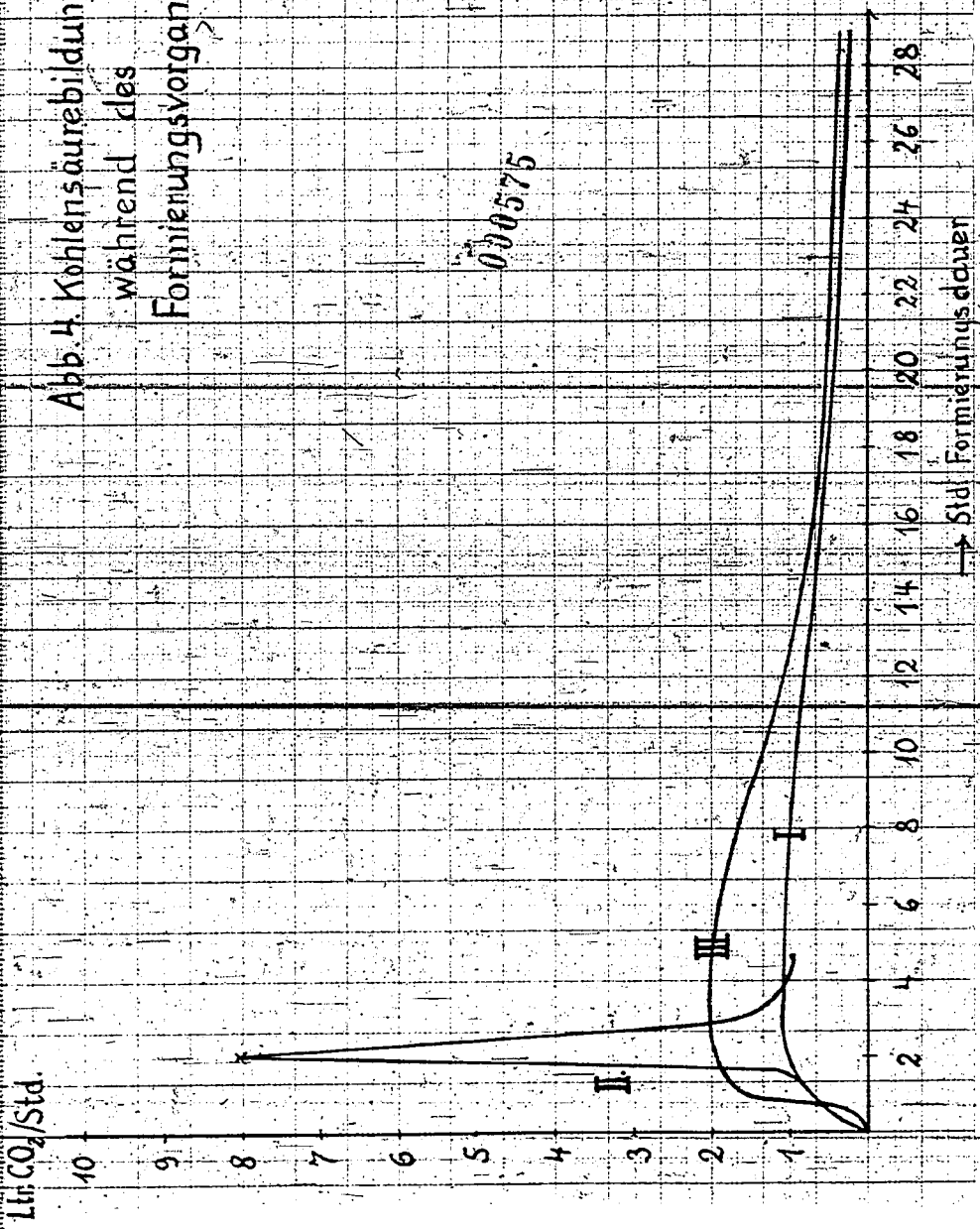
Kontraktion in % bei der Synthese

|        |    |    |    |    |
|--------|----|----|----|----|
| 1. Tag | 47 | 55 | 53 | 53 |
| 2. "   | 50 | 50 | 51 | 30 |
| 5. "   | 50 | 30 | 50 | -  |
| 10. "  | 51 | -  | 49 | -  |
| 20. "  | 55 | -  | 51 | -  |
| 30. "  | 54 | -  | 54 | -  |

Sowohl ~~mit~~ dem Versuch mit 4 Ltr. Kohlenoxyd je Stunde als bei jenem mit 40 Ltr. je Stunde war die Strömungsgeschwindigkeit der Gase bei einem Druck von 1/10 at ~~die~~ genügend groß, um ~~den~~ Formierungsvorgang störende an der Katalysatoroberfläche adsorbierte Kohlensäure wegzuschaffen. Dass bei der geringeren Aufenthaltsdauer (Versuch 2 a) insgesamt weniger Kohlensäure entstanden ist und dementsprechend (wie auch direkte Bestimmungen ergaben) weniger Kohlensstoff gebildet wurde, - trotz gleicher Aktivität wie bei Versuch 1 a, - dürfte in manchen Fällen einen Vorteil darstellen.

Zum Vergleich enthält die Abbildung 4 noch die entsprechenden Kohlensäurewerte für eine Formierung bei 1 at (Kurve III) und bei 15 at (Kurve IV) (siehe die Versuchsergebnisse der Tafel 9). In beiden Fällen wurde mit einer Strömungsgeschwindigkeit des Kohlenoxyds von 4 Ltr.

Abb. 4. Kohlensäurebildung  
während des  
Formierungsvergangen-



je Stunde (analog Kurve I) gearbeitet.

Kurve III zeigt, daß bei Atmosphärendruck während des Formierungsvorganges mehr Kohlenstoff gebildet wurde als bei verminderter Druck, was auf eine erhöhte Kohlenstoffbildung hindeutet.

d) Mischungen von Kohlenoxyd mit anderen Gasen

Gemische von Kohlenoxyd und Wasserstoff wurden bereits besprochen. Sie ergaben vor allem bei einer Formierung bei gewöhnlichem oder erhöhtem Druck schlechtere Ergebnisse wie reines Kohlenoxyd, was mit der Bildung von die Katalysatoroberfläche blockierenden Syntheseprodukten erklärt wurde.

Die Anwesenheit von Kohlensäure oder Wasserdampf behindert den Reduktionsvorgang und ist daher während der Formierung nach Möglichkeit zu vermeiden.

Die Anwesenheit kleiner Mengen an inertem Gasen, vor allem an Stickstoff, läßt sich im technischen Betrieb nicht vermeiden. Große Mengen inertes Gase behindern den Formierungsvorgang. Es hat sich gezeigt, daß das Arbeiten bei 1/10 at Druck nicht durch ein Arbeiten bei Atmosphärendruck mit 1/10 at Partialdruck Kohlenoxyd und 9/10 at Partialdruck Stickstoff ersetzt werden kann. Unter diesen Verhältnissen ergab eine 25stündige Formierung mit 40 Ltr.

Kohlenoxyd-Stickstoffgemisch je Stunde (Gesamt durchgang wieder 100 Ltr. Kohlenoxyd) einen Katalysator, der bei 235° nur 37 % Kontraktion erreichte. Mit einem Kohlenoxyd-Stickstoffgemisch 1 : 3 konnte bei einer 10stündigen Formierung mit 40 Ltr./Stde. ein Eisenkatalysator erhalten werden, der während drei Wochen bei 235° und 15 at 50 % Kontraktion gab.

#### 4. Zur Theorie der Formierung.

Es wurde gezeigt, daß zur Herstellung eines aktiven Eisenkatalysators eine Vorbehandlung desselben mit Kohlenoxyd bzw. Kohlenoxyd enthaltenden Gasen bei Temperaturen von etwa 250 - 350° notwendig ist und ferner, daß der als "Formierung" bezeichnete Vorgang bei niedrigeren Drücken durchgeführt werden muß als die Synthese.

Da die Formierung mit Kohlenoxyd-Wasserstoff-gemischen Katalysatoren etwas geringerer Aktivität bringt als diejenige mit Kohlenoxyd wurde damit erklärt, daß Kohlenoxyd und Wasserstoff schon während der Formierung unter Bildung von Verbindungen reagieren, welche die aktive Oberfläche des Katalysators mehr oder weniger blockieren.

Eine Formierung mit Wasserstoff war nicht möglich.

Die grundsätzlich verschiedene Wirkung von Kohlenoxyd und Wasserstoff kann erstens in der verschiedenartig verlaufenden Reduktion der Isenoxide, zweitens in der Auflösung des Eisengefüges durch den bei der Kohlenoxydbehandlung sich einlagernden Kohlenstoff und drittens

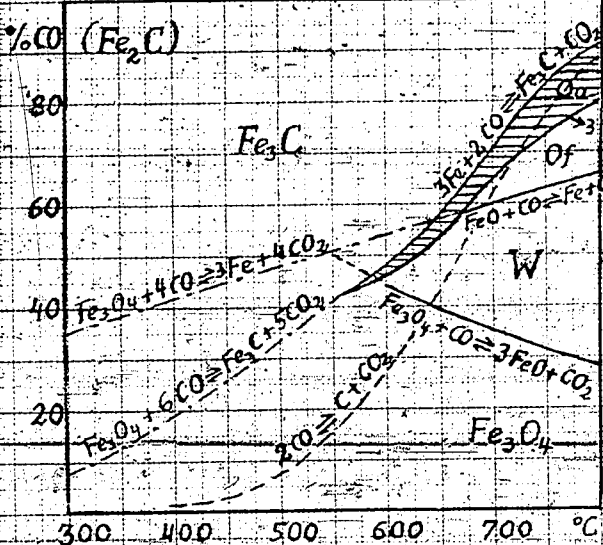
in der bei der Kohlenoxydeinwirkung auftretenden Carbidbildung begründet sein.

Sicht man von der Diffusion, der Sinterung und der Kohlenstoffabscheidung ab, dann verläuft, wie aus der Literatur bekannt ist, die Reduktion bei Verwendung von Wasserstoff schneller als bei Verwendung von Kohlenoxyd. Arbeitet man aber unter Bedingungen, bei welchen diese Punkte berücksichtigt werden müssen, dann kann die Reduktion mit Kohlenoxyd wegen der mit der Einlagerung von Kohlenstoff verbundenen Auflockerung besser vor sich gehen.<sup>11)</sup>

Der primäre Vorgang der Reduktion ist die Bildung von ferromagnetischem  $Fe_3O_4$ . Es wurde bei der Reduktion mit Kohlenoxyd, wie auch mit Wasserstoff gebildet und kann auch direkt durch Fällung eines Gemisches von Ferro- und Ferrisalzen mit Alkalien und darauf folgendes Entwässern erhalten werden, es besitzt jedoch keinerlei katalytischen Fähigkeiten bezüglich der Mitteldrucksynthese.

Bei Besprechung des weiteren Verlaufes der Kohlenoxydeinwirkung sei auf die Gleichgewichtsverhältnisse des Systems Eisen - Kohlenstoff - Sauerstoff hingewiesen. Es ist abhängig von der Temperatur, dem Gasdruck und dem Verhältnis von Kohlenoxyd zu Kohlensäure im Gas. Abbildung 5a bezieht sich auf Atmosphärendruck. Sie entspricht den Ergebnissen der Untersuchungen von R. Sebenok<sup>12)</sup>; die strichpunktierten Kurven wurden von U. Hofmann und Z. Groll<sup>13)</sup> durch Berechnung erhalten. Tafel 5 Abbildung 5 b bringt die Gleichgewichtsverhältnisse für 1/10 atm Druck. Die  $Fe_3O_4$  -  $Fe_2C$  - Kurve wurde unter Berücksichtigung der Druckabhängigkeit der Gleichgewichtswerte berechnet, die übrigen

a) 1 at



O $\alpha$  = Oxo-austenit

(Oxid. u. Carbid enthaltendes  
metallisches Fe)

Of = Oxoferrit

(O enthaltende metall. Phase)

W = Wüstit

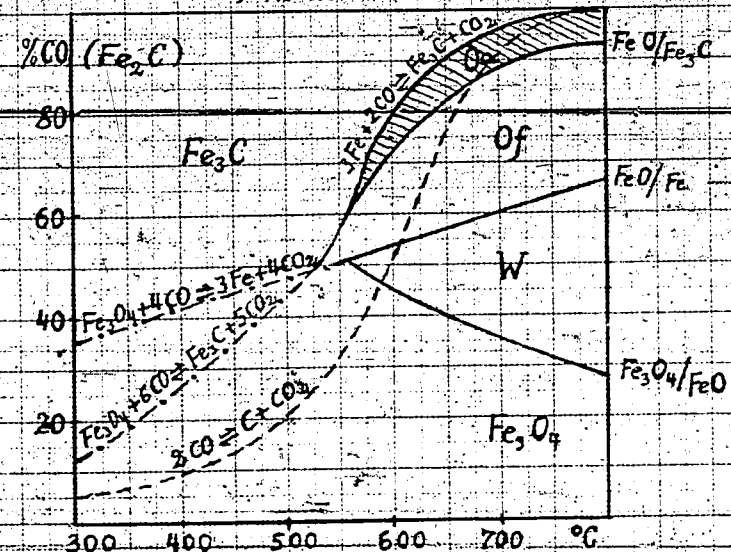
(Fe<sub>3</sub>O<sub>4</sub>-haltige FeO-Phase)

— — —  $2CO \rightleftharpoons CO_2$

— — — von U. Hofmann  
und F. Groll extrapolierte  
Gleichgewichte.

0.0570

b) 1/10 at



5. Gleichgewichtsverhältnisse im System Fe-C-O.

Kurven wurden auf Grund von Angaben, die Schenck in der zitierten Arbeit gemacht hat, zusammengestellt.

Abbildung 5 kann entnommen werden, daß bei Temperaturen unterhalb  $550 - 560^\circ$  kein FeO (nach Schenck), weil es stets  $\text{Fe}_3\text{O}_4$  enthält "Wüstit" genannt) beständig ist. Bei niedrigeren Temperaturen erfolgt somit die Reduktion des  $\text{Fe}_3\text{O}_4$  ohne Durchschreitung der FeO-Phasen.

Die metallische Phase (sie zerfällt nach Schenck in den Sauerstoff enthaltenden Oxoferritt und den Sauerstoff und Carbid enthaltenden Oxaustenit) ist nur bei Temperaturen oberhalb  $550 - 600^\circ$  im Gleichgewicht beständig.

Bei niedrigeren Temperaturen dürfte somit das Carbid durch direkte Einwirkung von Kohlenoxyd auf  $\text{Fe}_3\text{O}_4$  bzw. über instabile sauerstoffarme Zwischenkörper gebildet werden.

U. Hoffmann und H. Croll, welche die beim Überleiten von Kohlenoxyd über Eisen erhaltenen Bodenkörper röntgenanalytisch untersuchten, konnten auch unterhalb  $655^\circ$  stets nur sehr geringe Mengen an freiem Eisen feststellen.

Während die Reduktion der höheren zu den niederen Oxyden oder zu Eisen druckunabhängig, also nur von Kohlensäure-Kohlenoxydverhältnis und der Temperatur abhängig ist, werden, wie Abbildung 5 b zeigt, die Umsetzungen, bei welchen Carbid oder Kohlenstoff gebildet werden, durch Herabsetzung des Druckes in Richtung der Kohlenoxydseite verschoben. Erhöhung des Druckes begünstigt also die Bildung von Carbid und Kohlenstoff.

In Gegenwart von 100%igen Kohlenoxyd, wie es beispielsweise beim Arbeiten mit sehr schnell strömendem Kohlenoxyd über den Bodenkörper vorliegen könnte, ist bei

I wie bei 1/10 at nur Eisencarbid im Gleichgewicht beständig.

Soll es bei der Einwirkung von reinem Kohlenoxyd auf metallisches Eisen zu einer Gleichgewichtseinstellung kommen, dann muss zunächst Carbid gebildet werden, während die hierbei entstehende Kohlensäure oxydierend auf das Eisen einwirkt. Daß bei der Formierung eines Eisenkatalysators, also bei einem Reduktionsvorgang, ein Arbeiten bei niedrigen Drucken und hohen Kohlenoxydgeschwindigkeiten vorteilhaft ist, erscheint verständlich, da diese Faktoren den Kohlensäurepartialdruck herabsetzen und für eine schnelle Entfernung von am Bodenkörper adsorbiert Kohlensäure sorgen.

In den beiden Abbildungen ist zah Carbid nur der Zementit  $Fe_3C$  aufgenommen, nicht über ein höheres Carbid. Seine Existenz wurde erstmalig von Hilpert<sup>14)</sup> im Jahr 1915 angenommen. Franz Fischer und Mitarbeiter haben mehrfach auf die Bildung höherer Carbide als Zwischenprodukt der Benzinsynthese hingewiesen. Franz Fischer und E. Bahr<sup>15)</sup> haben ein derartiges Eisencarbid auch beschrieben. Gluud und Mitarbeiter<sup>16)</sup> gaben diesem Eisen-carbid die Formel  $Fe_2C$ . U. Hofmann und Z. Groll haben in der oben zitierten Arbeit bei Produkten, welche durch Einwirkung von Kohlenoxyd auf Eisen unterhalb 400° erhalten wurden, bei ihren röntgentgraphischen Untersuchungen die Interferenzen dieses Carbides nachgewiesen, und festgestellt, daß mit Steigerung der Temperatur über 400° gleichlaufend mit einer gesteigerten Kohlenstoffabscheidung dieses Carbid verschwindet. Es wird angenommen, daß der

Zerfall unter Bildung von Zementit und freiem Kohlenstoff erfolgt.

Über die Gleichgewichtsverhältnisse des oder auch vielleicht der höheren Carbide kann noch wenig ausgesagt werden. Es konnte daher in der Abbildung 5 nicht durch Kurven bzw. Flächen das Existenzgebiet dieses Carbids bezeichnet werden. Sichergestellt über erscheint, daß zu ihrer Bildung niedrige Temperaturen und hohe Kohlenoxydkonzentrationen notwendig sind. Diese Bedingungen entsprechen den optimalen Formierungsbedingungen der Niesssynthese. Es erscheint daher sehr wahrscheinlich, daß die Anwesenheit dieser Verbindung im Katalysator für den Grad der Formierung und damit für den Ablauf der Synthese von ausschlaggebender Bedeutung ist.

Es ist selbstverständlich notwendig, daß dieses Carbid nicht nur vor der Synthese bei einer geeigneten Vorbehandlung gebildet wird, sondern es darf, wenn die Synthese nicht nach kurzer Zeit zum Erlahmen kommen soll, während der Synthese nicht abgebaut werden, bzw. falls es als Zwischenprodukt auftritt, darf es nicht schneller abgebaut als rückgebildet werden. Hierauf dürfte auch eine bei der Synthese gemachte Beobachtung hinweisen. Bei zu niedrigen Temperaturen (beispielsweise unterhalb  $\approx 220^\circ$ ) verläuft die Synthese zunächst nach der Formierung mit guten Umsatz. Bei Umsatz sinkt aber allmählich ab und kann dann auch bei höheren Temperaturen (beispielsweise  $\approx 230$  -  $240^\circ$ ) nicht mehr auf die Höhe gebracht werden, bei welcher er laufen würde, wenn von Anbeginn bei dieser Temperatur gearbeitet worden wäre. (Bei den zu niedrigen Temperaturen dürfte das

Carbid vom Wasserstoff schneller abgebaut worden sein, als es durch die Einwirkung des Kohlenoxyds nachgebildet werden konnte.)

Weiterhin sei darauf hingewiesen, daß die außergewöhnlich große Anfangsaktivität der Eisenkatalysatoren ebenfalls durch das Schema der Abbildung, wie auch durch Versuche, die augenblicklich noch im Gange sind, erklärt werden kann. Nach der Formierung, bei welcher mit hochprozentigen Kohlenoxyd-Gleichgewichtseinstellung erfolgte, ist sehr wenig Sauerstoff im Bodenkörper enthalten, bei der Synthese aber entsteht ein Gas, das 50 - 60 % Kohlensäure enthält und zu einer den Gleichgewichtsverhältnissen entsprechenden teilweisen Oxydation des Bodenkörpers führen muss, der nunmehr eine geringere Aktivität zeigt. Dass trotzdem die "bestformierten" Katalysatoren stets auf die Dauer den weniger weitgehend formierten überlegen sind, muß auch mit einer bei der Formierung erfolgten Veränderung der Struktur des Katalysators in Zusammenhang gebracht werden.

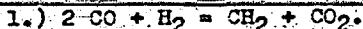
Was schließlich die Bildung von freiem Kohlenstoff anbelangt, kann angenommen werden, daß sie durch das kohlenstoffreiche Carbid katalytisch beschleunigt wird. Wie weit dieser unerwünschte Zerfall des Kohlenoxyds bei gleichzeitiger Anwesenheit von Wasserstoff verhindert werden kann, ist das Thema augenblicklich noch in Gang befindlicher Untersuchungen. Fest steht jedoch bereits, daß die bei der Formierung auftretende Bildung von Kohlenstoff durch Erniedrigung des Druckes und Erhöhung der Strömungsgeschwindigkeit des Kohlenoxyds wesentlich zurück gedrängt werden kann.

000584

II. Teil: Die Synthese.

A. Das Synthesegas.

Die optimale Synthesegasszusammensetzung ist theoretisch stets jene, die dem Verhältnis entspricht, in welchem die beiden Reaktionspartner Kohlenoxyd und Wasserstoff verbraucht werden. Voraussetzung hierfür ist es, daß der Katalysator bei Verwendung eines derartigen "theoretischen Gemisches" eine genügende Lebensdauer besitzt. Die Umsetzung an Eisen verläuft bekanntlich in der Hauptsache nach der allgemeinen Gleichung:



Nebenher tritt aber auch die Bildung von Wasser auf, nach

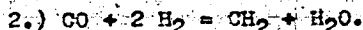
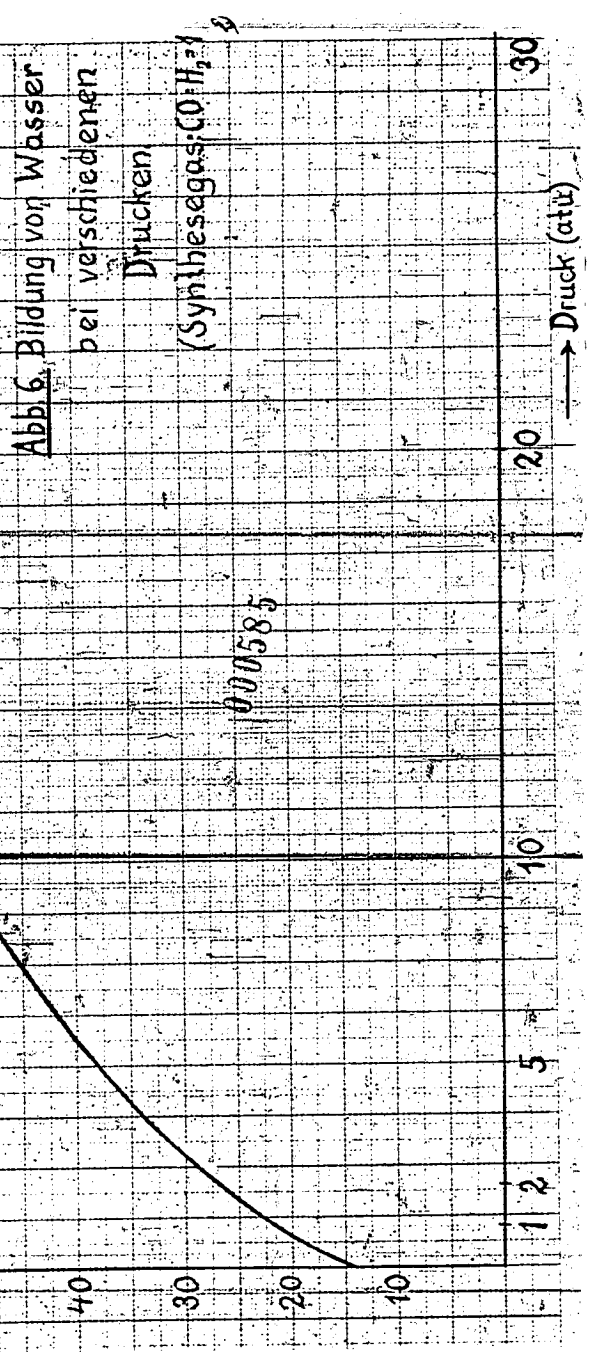
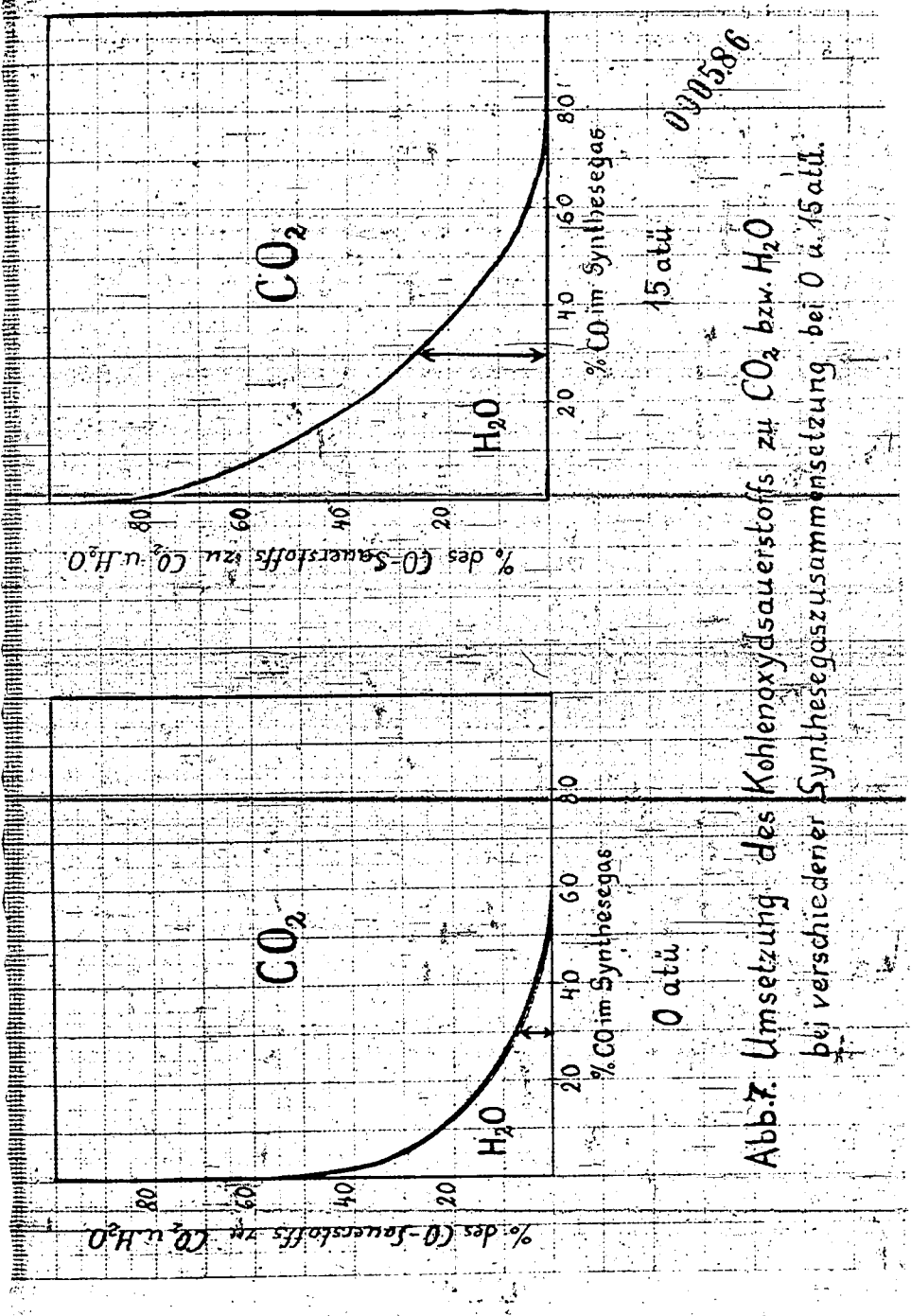


Abbildung 6 zeigt die Bildung von Reaktionswasser (enthält auch wasserlösliche organische Verbindungen) bei verschiedenen Drücken bei Verwendung eines Synthesogases, das Kohlenoxyd und Wasserstoff im Verhältnis 1 : 2 enthält, bei einer Reaktionstemperatur von 235°. Von 0 - 20 atü steigt die Menge des entstehenden Reaktionswassers von etwa 14 auf 60 g je Kubm Idealgas.

Abbildungen 7 a und 7 b bringen für 0 und 15 atü den Anteil des Kohlenoxyd-Sauerstoffs, der bei verschiedenen Synthesegasszusammensetzungen zu Wasser und zu Kohlensäure umgesetzt wird. Bei einem Gehalt vom beispielsweise 30 % Kohlenoxyd im Anfangsgas werden bei Atmosphärendruck 7 % und bei 15 at 25 % des Kohlenoxyd-Sauerstoffs zu Wasser umgesetzt. Bei 60 % Kohlenoxyd im Anfangsgas tritt bei Atmosphärendruck praktisch nur die Gleichung 1 in Betracht, während bei 15 at noch 4 % des Kohlenoxyd-Sauerstoffs zur Wasserbildung verbraucht werden. Neben erhöhtem Druck

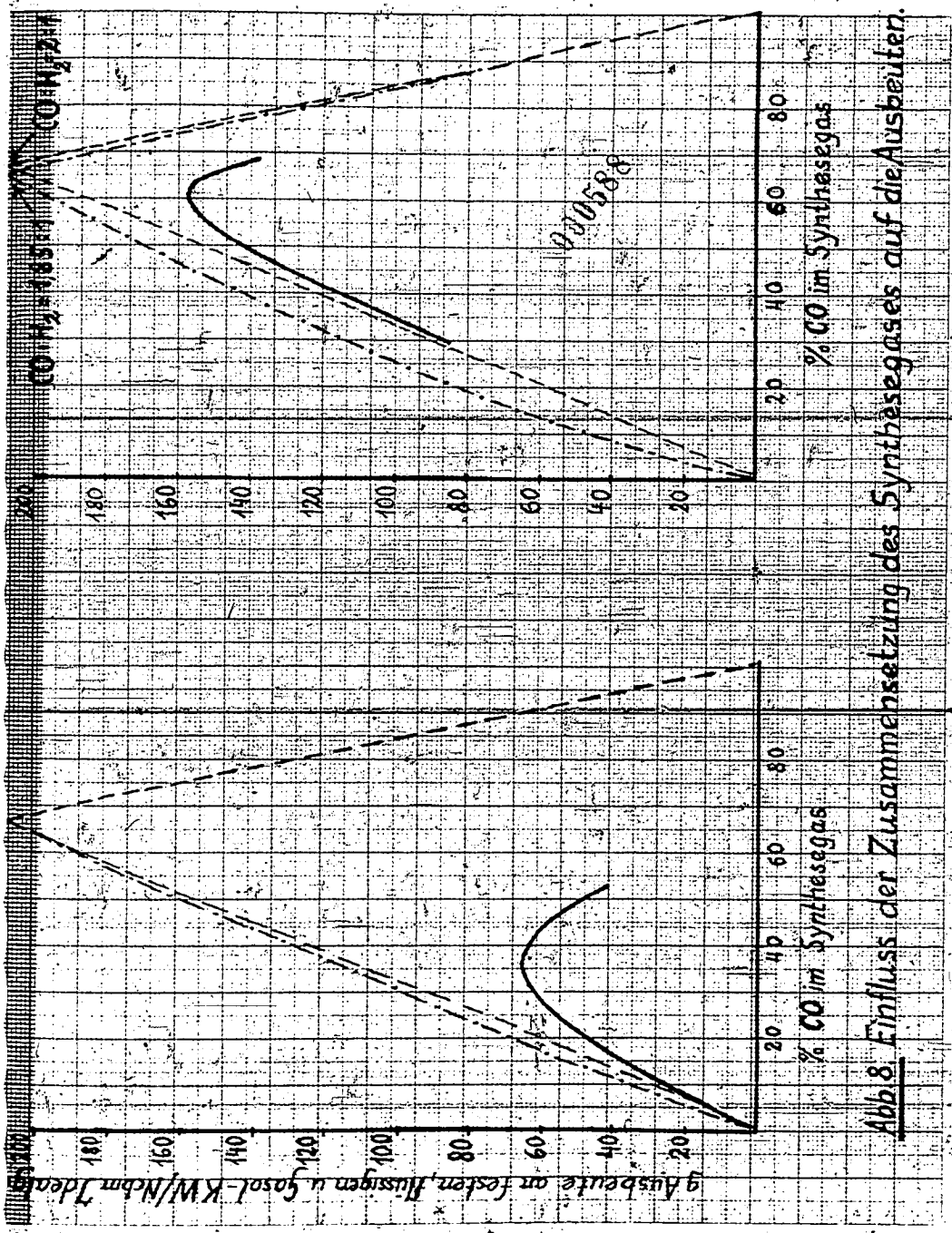




begünstigt somit eine Erhöhung des Wasserstoffgehaltes des Synthesegasen die Wasserbildung.

Abbildungen 8 a und 8 b bringen den Einfluß der Synthesegaszusammensetzung auf die Höhen der Ausbeute an festen und flüssigen und Gasol-Kohlenwasserstoffen. Die gestrichelten Geraden bringen berechnete Ausbeuten unter Zugrundelegung einer ausschließlichen Kohlensäurebildung nach Gleichung 1. Die strichpunktierten Kurven bringen die entsprechenden Ergebnisse bei Berücksichtigung der nach Gleichung 2 nebenher verlaufenden Wasserbildung. Die ausgezogenen Kurven bringen die wirklich erhaltenen Ausbeuten (4-Wochendurchschnitt). Theoretisch könnten, wie aus der Abbildung zu sehen ist, mit und ohne Wasserbildung 208 g Kohlenwasserstoffe je Nbm Synthesegas erhalten werden. Bei Atmosphärendruck würde unter alleiniger Berücksichtigung der Kohlensäure- und Wasserbildung das theoretische Optimum der Gaszusammensetzung bei einem Verhältnis von Kohlenoxyd zu Wasserstoff = 2 : 1 liegen, bei 15 atü bei 1,85 : 1.

Ein grundsätzlicher Unterschied zwischen dem Arbeiten bei Atmosphärendruck und demjenigen bei 15 at besteht darin, daß man bei Atmosphärendruck mit dem theoretischen Kohlenoxyd-Wasserstoffgemisch nicht arbeiten kann, weil seine Verwendung zum schädlichen Erlahmen der Aktivität des Katalysators führt, während dies bei der Mitteldrucksynthese nicht der Fall ist. Bei 1 at Synthesedruck verhielt sich ein Gas mit 1 CO : 2 H<sub>2</sub> am besten. Es lieferte im Durchschnitt in den ersten vier Betriebswochen rund 60 g feste, flüssige und Gasol-Kohlenwasserstoffe. Diese



Ausbeuten sanken in der fünften und sechsten Woche stark ab.

Bei 15 at Synthesedruck kann man mit einem für den vollständigen Umsatz theoretisch notwendigen Gasgemisch während vieler Monate mit gleichbleibenden Ausbeuten arbeiten. Da vor allem für die niedrigen gesättigten Homologen des Methans mehr Wasserstoff verbraucht wird, als den Gleichungen 1 und 2 entspricht und da auch die Bildung von Methan nicht völlig unterdrückt wird, werden Kohlenoxyd und Wasserstoff nicht im Verhältnis 1,85 : 1, sondern im Verhältnis 1,6 - 1,8 : 1 verbraucht. Schließlich scheint es für die Lebensdauer des Katalysators von Vorteil zu sein, wenn das Endgas der Synthese noch einen kleinen Wasserstoffüberschuss enthält. Das ideale Synthesegas enthält somit etwa

60% CO und 40% H<sub>2</sub> (CO : H<sub>2</sub> = 1,5 : 1).

Mit einem derartigen Gasgemisch ist es möglich, am Eisenkatalysator durch viele Monate 150 - 160 g feste, flüssige und Gasol-Kohlenwasserstoffe je Hobm zu erhalten.

Tafel II enthält für eine Reihe unter verschiedenen Synthesestellungen laufender Versuche das Verhältnis von Kohlenoxyd zu Wasserstoff, des Anfangsgases und das Verhältnis, in welchem die beiden Komponenten während der Synthese verbraucht wurden.

Bei sämtlichen Versuchen wurde etwas mehr Kohlenoxyd verbraucht, als dem Kohlenoxyd-Wasserstoff-Verhältnis des Anfangsgases entsprach. Bei den Versuchen 1 und 2 enthielt das Anfangsgas Kohlenoxyd und Wasserstoff im Verhältnis 1,41 bzw. 1,51 : 1, verbraucht wurden die

Tafel 11.

Verhältnis, in welchem Kohlenoxyd und Wasserstoff bei der Synthese unter verschiedenen Bedingungen verbraucht werden.

Vers. Katalysator- Druck Temp. Betriebs-Kontr. Verhältnis von CO : H<sub>2</sub>  
Nr. Type at °C Tag % im Anf.Gas umgesetzt

|    |   |    |     |     |    |          |          |
|----|---|----|-----|-----|----|----------|----------|
| 1  | Fe-Normalk.                             | 15 | 255 | 30  | 56 | 1,41 : 1 | 1,54 : 1 |
| 2  | "                                       | 15 | 270 | 325 | 47 | 1,51 : 1 | 1,58 : 1 |
| 3  | Fe-TH <sub>3</sub> gef.                 | 15 | 255 | 24  | 51 | 1,5 : 1  | 1,7 : 1  |
|    | 1/4 K <sub>2</sub> CO <sub>3</sub>      |    |     |     |    |          |          |
| 4  | Fe-NH <sub>4</sub> CO <sub>3</sub> gef. | 15 | 234 | 7   | 49 | 1,5 : 1  | 1,59 : 1 |
|    | 1/4 K <sub>2</sub> CO <sub>3</sub>      |    |     |     |    |          |          |
| 5  | "                                       | 15 | 237 | 14  | 50 | 1,64 : 1 | 1,78 : 1 |
| 6  | Fe-Normalk.                             | 5  | 270 | 9   | 37 | 1,45 : 1 | 1,77 : 1 |
| 7  | "                                       | 60 | 254 | 6   | 52 | 1,46 : 1 | 1,67 : 1 |
| 8  | "                                       | 15 | 230 | 5   | 45 | 0,53 : 1 | 0,87 : 1 |
| 9  | "                                       | 15 | 240 | 4   | 50 | 1,76 : 1 | 1,96 : 1 |
| 10 | Fe-Na <sub>2</sub> CO <sub>3</sub> gef. | 15 | 235 | 16  | 50 | 1,74 : 1 | 2,1 : 1  |
|    | 1/4 K <sub>2</sub> CO <sub>3</sub>      |    |     |     |    |          |          |
| 11 | Fe-Na <sub>2</sub> CO <sub>3</sub> gef. | 15 | 238 | 7   | 49 | 1,76 : 1 | 2,08 : 1 |
|    | 5/4 K <sub>2</sub> CO <sub>3</sub>      |    |     |     |    |          |          |

beiden Gase im Verhältnis 1,54 bzw. 1,58 : 1. Bei anderen

Versuchen war der Unterschied größer (Versuch 3, 6 und 7).

Die Versuche 4, 5 und 10 wurden mit einem Katalysator ausgeführt, der 1/4 K<sub>2</sub>CO<sub>3</sub> enthielt. Bei Versuch 4 und 5 war das Kohlenoxyd-Wasserstoffverhältnis des Anfangsgases

1,5 bzw. 1,64 : 1 und das des Endgases 1,59 bzw. 1,78 : 1.

Bei Versuch 10 enthielt das Anfangsgas zuviel Kohlenoxyd,

der Verbrauch deutet hier auf eine Kohlenstoffbildung. Der

Katalysator dieses Versuches hatte nur die halbe Lebens-

dauer desjenigen der Versuche 4 und 5. Ähnlich liegen die

Verhältnisse bei den Versuchen 9 und 11. Der Versuch 8

wurde mit Mischgas (CO : H<sub>2</sub> = 0,53 : 1) ausgeführt. Auch

hier entsprach der Verbrauch einer höheren Verhältniszahl

(0,87 : 1).

Zur Erzielung maximaler Ausbeuten müssen die Arbeitsbedingungen so gewählt werden, daß die Verhältniszahlen des Anfangsgases und des Verbrauches sich möglichst nahe kommen. Anfangsgase, die weniger Kohlenoxyd enthalten, als dem optimalen Verhältnis 1,4 - 1,6 : 1 entspricht, können keine Höchstausbeuten liefern, da das Endgas Wasserstoff im Überschuß enthält. Anfangsgase mit einem zu hohen Kohlenoxyd-gehalt erhöhen die Gefahr einer Kohlenstoffbildung und beeinträchtigen die Lebensdauer des Katalysators, wobei zu berücksichtigen ist, daß mit steigendem Kohlenoxyd-gehalt zur Erhaltung eines bestimmten Umsatzes die Reaktionstemperatur erhöht werden muss.

#### B. Der Synthesedruck.

Im Abschnitt über das Synthesegas wurden bereits die Gründe dargelegt, warum bei der Synthese von Kohlenwasserstoffen an Eisenkatalysatoren das Arbeiten bei Atmosphärendruck praktisch ausscheiden muss.

Im Folgenden werden einige Versuchsreihen mit verschiedenen hergestellten bzw. formierten Katalysatoren gebracht, welche den Einfluß des Synthesedruckes auf die Umsetzungen wiedergeben.

Erste Versuchsreihe: Der verwendete Katalysator enthielt Eisen und Kupfer im Verhältnis 5 : 1. Er wurde aus einer Lösung von Ferrochlorid und Zinkchlorid durch Fällung mit Kaliumcarbonat hergestellt und mit 1/8 %  $K_2CO_3$  alkalisiert. Dieser Katalysator wurde noch mit Mischgas (4 Ltr./10 g Eisen/Std.) bei Atmosphärendruck während 4 Tagen bei 235° formiert. Nach dem Umschalten auf Druck

wurde mit 4 Ltr. Synthesegas ( $\text{CO} : \text{H}_2 = 3 : 2$ ) je 10 g Eisen und Stunde gearbeitet. Tafel 12 fasst die Ergebnisse dieser Versuchsreihe kurz zusammen. Es sind die bei 5, 15, 30 und 80 at notwendigen Arbeitstemperaturen mit den erzielten Kontraktionswerten einander gegenüber gestellt.  
(Die Temperaturen dieser Versuchsreihe waren der Formierung des Katalysators entsprechend noch allgemein hoch).

Tafel 12.

Reaktionstemperatur und Kontraktion bei verschiedenen Drücken (Fe-Cu-Katalysator, mit Mischgas bei  $235^\circ$  u. 1 at formiert).

| Betriebs-<br>Tage | 5 at<br>Temp. Kontr.<br>°C | 15 at<br>Temp. Kontr.<br>°C | 30 at<br>Temp. Kontr.<br>°C | 80 at<br>Temp. Kontr.<br>°C |
|-------------------|----------------------------|-----------------------------|-----------------------------|-----------------------------|
| 10                | 257 44                     | 257 42                      | 263 50                      | 270 38                      |
| 20                | 265 45                     | 265 50                      | 275 50                      | 286 49                      |
| 30                | 270 42                     | 270 53                      | 280 48                      | 300 48                      |
| 40                | 272 45                     | 274 53                      | 287 52                      | 302 50                      |
| 50                | 275 45                     | 275 55                      | 289 52                      | - -                         |
| 60                | 283 48                     | 272 52                      | 290 49                      | - -                         |
| 90                | 278 50                     | 281 51                      | - -                         | - -                         |
| 120               | - -                        | 285 49                      | - -                         | - -                         |
| 150               | - -                        | 290 47                      | - -                         | - -                         |

Bei 5 at lagen die Kontraktionswerte während drei Betriebsmonaten bei 45 - 50 %. Bei 15 at unter sonst gleichen Bedingungen bei 50 - 55 %. Entsprechend waren bei 15 at auch die Ausbeuten an festen, flüssigen und Gasolkohlenwasserstoffen um rd. 10 % höher als bei 5 at. Bei 30 at konnten ebenfalls Kontraktionen von 50 - 52 % erreicht werden, jedoch bei Temperaturen, die um  $10 - 15^\circ$  und am Ende des zweiten Monats um  $20^\circ$  höher lagen, als bei 15 at Betriebsdruck. Bei 80 at mussten zur Erreichung des gleichen Umsatzes die Temperaturen wieder um  $10 - 20^\circ$  höher

gehalten werden als bei 30 at.

Tafel 13 bringt bei 5, 15, 30 und 80 at bei gleicher Kontraktion von 50 % erhaltene Endgasanalysen. Die entsprechenden Anfangsgasanalysen der bei 5 und 15 at durchgeföhrten Versuche enthielten 56,0 % CO und 36,1 % H<sub>2</sub>, diejenigen der bei 30 und 80 at durchgeföhrten Versuche 55,5 % CO und 39,3 % H<sub>2</sub>.

Tafel 13.

Reaktionszus. bei verschiedenen Drucken und gleicher Kontraktion von 50 %.

| Druck<br>at | Betriebs-<br>Tage | Temp.<br>°C | CO <sub>2</sub> | SKF | O <sub>2</sub> | CO   | H <sub>2</sub> | KH   | CZ  | N <sub>2</sub> |
|-------------|-------------------|-------------|-----------------|-----|----------------|------|----------------|------|-----|----------------|
| 5           | 6                 | 257         | 53,8            | 3,4 | 0,2            | 12,3 | 13,3           | 7,0  | 1,9 | 10,0           |
| 15          | 3                 | 252         | 55,5            | 3,8 | 0,2            | 11,5 | 11,6           | 8,0  | 1,8 | 9,4            |
| 15          | 23                | 267         | 51,4            | 3,8 | 0,3            | 11,2 | 16,4           | 9,9  | 1,6 | 7,5            |
| 30          | 10                | 263         | 51,1            | 2,3 | 0,6            | 11,3 | 18,0           | 7,7  | 1,8 | 9,0            |
| 80          | 123               | 297         | 51,1            | 1,4 | 0,1            | 13,6 | 11,0           | 14,3 | 1,9 | 8,5            |

Die Endgasanalysen zeigen, daß trotz verschiedener Drücke und dementsprechend verschiedener Temperaturen der Gang der Umsetzungen sich nicht grundsätzlich unterscheidet. Es wurde bereits darauf hingewiesen, daß bei erhöhtem Druck die Bildung von Reaktionswasser auf Kosten der Bildung von Kohlensäure zunimmt. Weiterhin ist aus den Analysen zu ersehen, daß bei hohen Drucken die Menge der ungesättigten Kohlenwasserstoffe abnimmt und die der gesättigten Kohlenwasserstoffe, entsprechend der notwendig höheren Reaktionstemperatur, ansteigt. Der erhöhte Wasserstoffverbrauch drückt sich im Verhältnis des Verbrauches von Kohlenoxyd zu Wasserstoff aus. Er betrug bei 5 at 1,7 : 1, bei 15 at 1,66 : 1, bei 30 at 1,65 : 1 und bei 80 at 1,44 : 1.

Bezüglich der Haltbarkeit der Katalysatoren bei verschiedenen Arbeitindrücken kann gesagt werden, daß, da Temperaturen oberhalb 290 - 300° wegen der Gefahr einer Bildung von Kohlenstoff besser vermieden werden, der bei 15 at durchgeführte Versuch auch die längsten Betriebszeiten brachte. Mit dem bei dieser Versuchsreihe verwendeten Katalysator\*) wurde eine Temperatur von 290° bei 15 at nach 5 Monaten, bei 30 at nach 2 Monaten und bei 30 at schon im ersten Monat erreicht.

Zweite Versuchsreihe: Es wurde ein kupffreier sog. Eisen-Normalkatalysator verwendet, der 24 Stunden bei 1/10 at und 325° mit kohlenoxydreichem Synthesegas formiert worden war. Tafel 14 bringt Ergebnisse von bei 1, 5, 10, 30 und 60 at durchgeführten Versuchen. Alle wurden bei einer Temperatur von 235° gewonnen.

Tafel 14.

Reaktionstemperatur und Kontraktion bei verschiedenen Drucken (Eisen-Normalkatalysator mit CO-reichem Gas bei 325° und 1/10 at formiert).

| Betriebs-<br>fage                                   | 5 at<br>Temp.<br>°C | 10 at<br>Temp.<br>°C | 30 at<br>Temp.<br>°C | 60 at<br>Temp.<br>°C | Kontr.<br>% | Kontr.<br>% | Kontr.<br>% | Kontr.<br>% |
|---|---------------------|----------------------|----------------------|----------------------|-------------|-------------|-------------|-------------|
| 1   | 235                 | 30                   | 233                  | 42                   | 235         | 53          | 235         | 50          |
| 2   | -                   | -                    | 234                  | 42                   | 235         | 56          | 238         | 42          |
| 3   | 235                 | 25                   | 235                  | 48                   | 234         | 37          | 235         | 40          |
| 6   | 250                 | 38                   | 238                  | 50                   | -           | -           | 254         | 52          |
| 9   | 270                 | 37                   | 239                  | 50                   | -           | -           | -           | -           |
| 12  | -                   | -                    | 237                  | 50                   | -           | -           | -           | -           |
| Nach Umschalten auf<br>15 at u. 235° 50 %<br>Kontr. |                     |                      |                      |                      |             |             |             |             |

\*) Der bei dieser Versuchsreihe verwendete Eisen-Kupfer-Katalysator hatte im Vergleich zu den heute üblichen Katalysatoren noch eine geringere Aktivität. Der Einfluß des Druckes und die Existenz des Druckoptimums zwischen 5 und 30 at ist aber auch aus den Ergebnissen dieses Katalysators gut zu sehen.

Bei Atmosphärendruck wurde mit diesem Katalysator bei  $235^{\circ}$  kein Umsatz erzielt, ebenso wenig am zweiten Tag bei  $250^{\circ}$  (nach einer darauf folgenden Umschaltung auf 15 at und  $235^{\circ}$  ergab dieser Versuch sofort 53 % Kontraktion). Bei 5 at lagen die Kontraktionen bei 30 - 40 %. Der Umsatz war somit noch unvollständig, auch bei einer am nächsten Tag durchgeführten Temperaturerhöhung bis auf  $270^{\circ}$  (auch hier brachte eine darauf folgende Umschaltung auf 15 at schon bei  $235^{\circ}$  50 % Kontraktion). Bei 10 at wurde bei  $235^{\circ}$  eine Kontraktion von 50 % erreicht. Dies war auch bei 30 und 60 at der Fall, doch trat bei 30 at und  $235^{\circ}$  schon am dritten Tag und bei 60 at und  $235^{\circ}$  schon nach einem Tag ein starker Rückgang des Umsatzes ein. Bei 60 at konnte am sechsten Tag erst bei  $254^{\circ}$  wieder eine Kontraktion von 52 % erreicht werden.

Ebenso wie bei dem in der ersten Versuchsserie erbrachten Katalysator erwies sich auch hier ein optimaler zwischen 15 und 30 at liegender Druckbereich. Ein Vergleich mit dem mit demselben Katalysator bei 15 at durchgeführten Versuchsserie der Tafel 5 zeigt, daß das Druckoptimum bei mehr als 10 at liegt).

Dritte Versuchsserie: Zur Verwendung gelangte ein mit Soda gefüllter kupferfreier Eisenkatalysator mit 1 % Kaliumcarbonat, der bei 1/10 at mit Kohlenoxyd formiert worden war. Der Katalysator war durch sog. umgekehrte Füllung, d.h. durch Eingießen der auf  $50^{\circ}$  erwärmten Eisenlösung in die siedende Sodalösung hergestellt worden. Es wurde bei 15, 20, 30 und 60 at geprüft, wie lange eine Reduktionstemperatur von rd.  $235^{\circ}$  bei Erhaltung einer Kon-

- 45 - 000596

traktion von mehr als 50 % eingehalten werden kann. Tafel 15 zeigt, daß dies bei dem verwendeten Katalysator bei 15 at 22 Betriebstage, bei 20 at nach 9 Betriebstagen, bei 30 at 5 Tage und bei 60 at nur 1 Tag möglich war.

Tafel 15.

Der Einfluß des Synthesedruckes auf die Betriebsdauer (Dauer der Erhaltung einer Kontraktion von 50 % bei 235°, bei Verwendung eines mit 1 %  $\text{Co}_3$  alkalisierten Eisenkatalysators).

| Betriebs-<br>Tage | 15 at       |             | 20 at       |             | 30 at       |             | 60 at       |             |
|-------------------|-------------|-------------|-------------|-------------|-------------|-------------|-------------|-------------|
|                   | Temp.<br>°C | Kontr.<br>% | Temp.<br>°C | Kontr.<br>% | Temp.<br>°C | Kontr.<br>% | Temp.<br>°C | Kontr.<br>% |
| 1                 | 235         | 40          | 235         | 52          | 234         | 54          | 235         | 56          |
| 2                 | 239         | 45          | 234         | 51          | 236         | 50          | 235         | 40          |
| 3                 | 237         | 52          | 234         | 55          | 234         | 55          | 235         | 35          |
| 6                 | 239         | 54          | 235         | 55          | 234         | 40          |             |             |
| 9                 | 238         | 54          | 235         | 49          |             |             |             |             |
| 12                | 238         | 52          |             |             |             |             |             |             |
| 20                | 234         | 50          |             |             |             |             |             |             |
| 28                | 235         | 40          |             |             |             |             |             |             |

#### Ergebnisse der Versuche bei verschiedenen Drücken:

Der optimale Druckbereich der Mitteldrucksynthese an Eisenkatalysatoren liegt zwischen 10 und 20 at (für die meisten Katalysatoren höchstwahrscheinlich bei etwa 15 at Synthesedruck). Bei niedrigeren und höheren Drucken sinkt der Umsatz der Synthese und die Lebensdauer der Katalysatoren.

#### C. Die Reaktions temperatur.

Die Temperaturangaben der vorliegenden Arbeit beziehen sich auf die im Aluminiumblock<sup>+)</sup> gemessenen Tem-

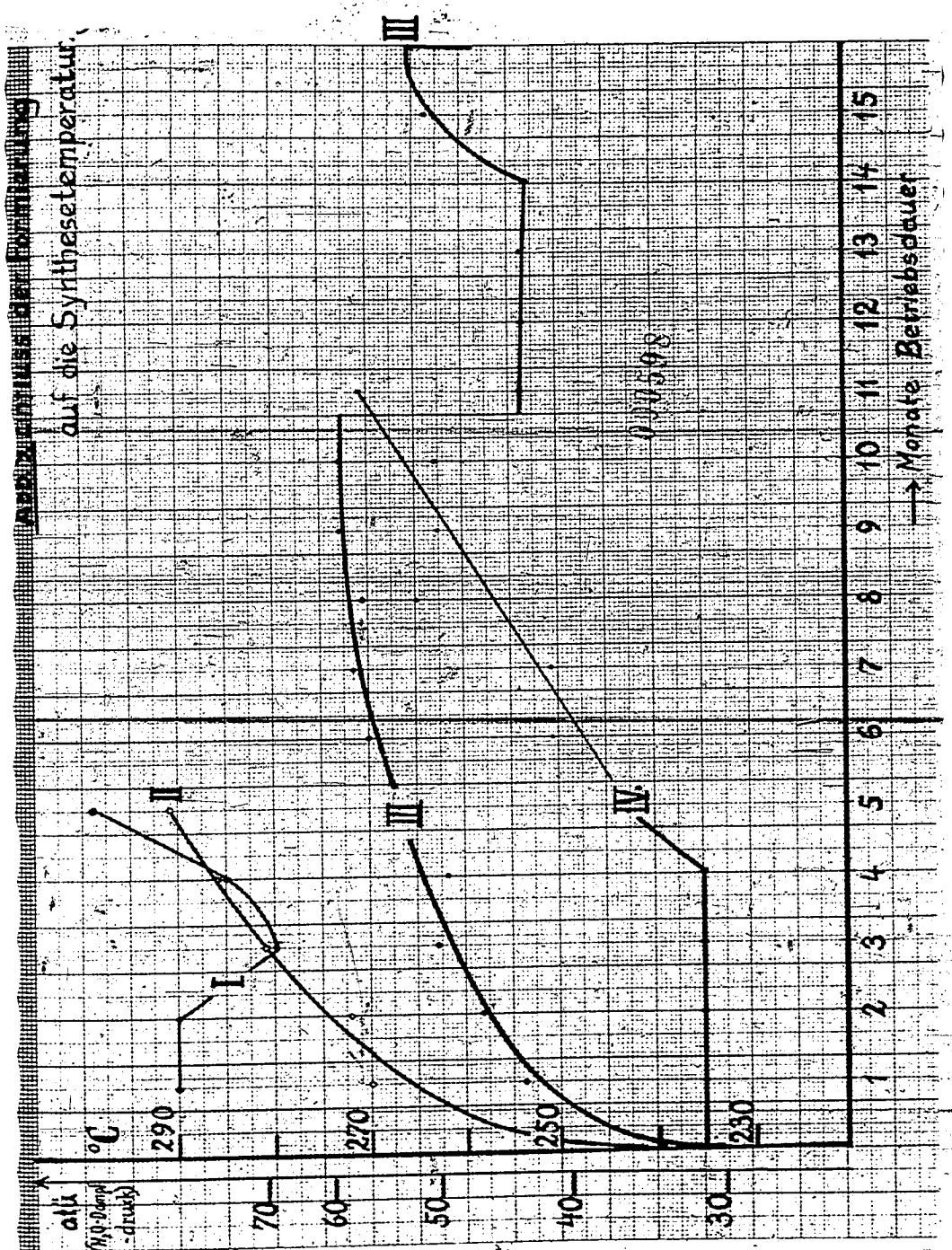
<sup>+) Im Laboratorium wurde mit Druckrohren gearbeitet, die in schräg stehenden Aluminiumblocköfen erwärmt wurden.</sup>

peraturen. Da die beiden aus dem Aluminiumblock herausragenden Enden des Druckrohres trotz guter Isolierung mit Ausbeutesthur, nach außen Wärme abführen, ist die Temperatur im Innern des Reaktionsrohres etwas niedriger, und zwar wie Eichungen ergaben, um rd. 5°. Da andererseits die Temperatur im Katalysator infolge der positiven Wärmetönung der Reaktion wieder etwas höher ist als diejenige des umgebenden Raumes, wurden beide Korrekturen unberücksichtigt gelassen und die Blocktemperatur angegeben.

Besonderes Augenmerk wurde bei den Arbeiten über die Eisen-Mitteldrucksynthese auf eine weitgehende Senkung der Reaktionstemperatur gerichtet. Dies schien aus wirtschaftlichen Gründen wichtig, da die großtechnische Durchführung der Synthese möglichst in mit Wasser gefühlten Druckapparaten durchgeführt werden soll und hierbei jede Temperaturerhöhung wegen der damit verbundenen Erhöhung des Wasserdampfdruckes eine Verstärkung des Reaktionsapparates notwendig macht.

#### 1. Einfluß der Formierung.

Es wurde bereits an anderer Stelle ausgeführt, daß für die Höhe der Synthesetemperatur die Art der vor der Synthese durchgeföhrten Formierung des Eisenkatalysators von ausschlaggebender Bedeutung ist. In Ergänzung des schon gebrachten Materials zeigen dies die Kurven der Abbildung 9. In Richtung der Abszisse ist die Betriebsdauer in Monaten, in Richtung der Ordinate sind die Betriebstemperaturen und die diesen Temperaturen entsprechenden Wasserdampfsättigungsdrücke angegeben. Alle Versuch wurden mit einem Synthesegas ausgeführt, das Kohlenoxyd



und Wasserstoff im Verhältnis 3 : 2 enthielt (4 Ltr./10 g Eisen/Std.)

Kurve I bezieht sich auf einen ohne vorherige Formierung direkt bei einem Druck von 15 at in Betrieb genommenen Eisenkatalysator. Zur Erzielung einer maximalen Kontraktion mußte die Temperatur bis auf 290° gesteigert werden. Die Kontraktion betrug zunächst 45 %, im Laufe des zweiten Betriebsmonats stieg die Aktivität des Katalysators allmählich und damit die Kontraktion auf rd. 50 %. Die Temperatur konnte im weiteren Verlauf der bei gleichbleibendem Umsatz bis auf 280° gesenkt werden. Im vierten Monat mußte sie aber bereits wieder gesteigert werden, am Ende des fünften Monats wurde eine Temperatur von 300° erreicht.

Kurve II bringt die Temperaturverhältnisse bei einem Eisen-Kupfer-Katalysator, der zunächst bei 1 at und 240° durch drei Tage mit Mischgas betrieben (Kontraktion 30 %) und dann auf 15 at Synthetegas umgestellt worden war. Zur Erzielung maximaler Kontraktionen von 50 - 55 % (optimaler Umsatz) mußte die Temperatur im Laufe von 5 Minuten allmählich von 240 auf 290° gesteigert werden.

Kurve III stellt den Temperaturverlauf bei einem Versuch mit einem kupferfreien Eisen-Normalkatalysator dar, der vor Inbetriebnahme unter Druck bei 1/10 at und 255° während 25 Stunden mit reinem Kohlenoxyd behandelt wurde. Zur Erzielung einer maximalen Kontraktion von 50 - 55 % wurde die Temperatur im Laufe von 8 Monaten von 235 auf 272° erhöht. Die Aktivität des Katalysators stieg bei dieser Temperatur langsam an, sodaß im elften Monat die

000600

- 48 -

Temperatur wieder bis auf 254° gesenkt werden konnte bei Erhaltung einer Kontraktion von 50 %. Im 15. und 16. Monat wurde die Temperatur wieder bis 266° gesteigert und dann wieder auf 259° gesenkt. Tafel 16 bringt einige Endgaszusammensetzungen dieses Versuches.

## Tafel 16.

Bei verschiedenen Temperaturen während 16 Betriebsmonaten genommene Endgasanalysen eines Bauversuches.

| Betriebs-<br>monat | Temp.<br>°C | Kontr.<br>% | Endgaszusammensetzung in % |     |                |      |                |                |                |      |
|--------------------|-------------|-------------|----------------------------|-----|----------------|------|----------------|----------------|----------------|------|
|                    |             |             | CO <sub>2</sub>            | SYN | O <sub>2</sub> | CO   | H <sub>2</sub> | K <sub>2</sub> | N <sub>2</sub> |      |
| 1                  | 253         | 50          | 49,6                       | 2,2 | 0,1            | 15,0 | 13,8           | 8,8            | 1,9            | 11,0 |
| 9                  | 272         | 52          | 54,5                       | 3,3 | 0,0            | 8,1  | 7,4            | 11,2           | 1,8            | 15,5 |
| 14                 | 254         | 50          | 50,1                       | 2,8 | 0,2            | 14,9 | 11,9           | 7,3            | 1,7            | 12,8 |
| 16                 | 266         | 48          | 53,5                       | 3,1 | 0,1            | 8,2  | 10,6           | 11,9           | 1,9            | 12,6 |
| 16                 | 259         | 48          | 51,2                       | 3,2 | 0,2            | 9,9  | 12,6           | 10,3           | 1,8            | 12,5 |

Die Tafel zeigt, daß beim Steigern der Temperatur die Menge der gasförmigen Kohlenwasserstoffe ansteigt, im übrigen waren die Endgasanalysen unter Berücksichtigung der Schwankungen der Zusammensetzung des Synthesegases vom ersten bis zum sechzehnten Monat sehr ähnlich.

Kurve IV bezieht sich auf einen bei 325° mit Kohlenoxyd bei 1/10 at vorbehandelten Katalysator. Die Formierung bei 325° ermöglichte während der ersten Monate ein Arbeiten bei niedrigen Temperaturen. Die Kontraktion blieb durch vier Monate bei 235° konstant 50 - 54 %. Dann mußte die Temperatur gesteigert werden. Nach einem Jahr war gegenüber dem bei 255° formierten Eisenkatalysator kein Vorteil mehr festzustellen.

Die Kurven der Abbildung zeigen die Bedeutung der Vorbehandlung der Eisenkatalysatoren für die Reaktions temperatur bei der Synthese.

2. Einfluß der Gaszusammensetzung.

In Tafel 17 sind unter vergleichbaren Bedingungen die Umsetzungen von Kohlenoxydreichem und wasserstofffreiem Synthesegas bei einer Reaktionstemperatur von 205° gegenübergestellt (Synthesedruck 15 at).

Tafel 17.

Umsatz eines kohlenoxydreichen und eines wasserstoffreichen Synthesegases bei einer Reaktionstemperatur von 205° und einem Druck von 15 at.

|                                 | CO <sub>2</sub> | skw | O <sub>2</sub> | CO   | H <sub>2</sub> | KW  | CZ  | N <sub>2</sub> | Kontr. |
|---------------------------------|-----------------|-----|----------------|------|----------------|-----|-----|----------------|--------|
| CO-reiches Anf.Gas              | 2,2             | 0,0 | 0,2            | 58,9 | 33,9           | 0,2 | 1,0 | 4,6            | 20     |
| Endgas                          | 10,3            | 0,8 | 0,2            | 52,9 | 28,4           | 1,6 | 1,3 | 5,8            |        |
| H <sub>2</sub> -reiches Anf.Gas | 1,2             | 0,0 | 0,0            | 31,2 | 56,6           | 1,6 | 1,2 | 9,4            | 31     |
| Endgas                          | 8,3             | 2,1 | 0,2            | 19,5 | 52,3           | 3,9 | 2,0 | 13,7           |        |

Tafel 18 bringt die Umsetzungen von drei verschiedenen zusammengesetzten Gasen bei 225°.

Tafel 18.

Umsatz von kohlenoxydreichem Gas, von Wassergas und von wasserstoffreichem Gas bei einer Reaktionstemperatur von 225° und einem Druck von 15 at.

|                                 | CO <sub>2</sub> | skw | O <sub>2</sub> | CO   | H <sub>2</sub> | KW   | CZ  | N <sub>2</sub> | Kontr. |
|---------------------------------|-----------------|-----|----------------|------|----------------|------|-----|----------------|--------|
| CO-reiches Anf.Gas              | 2,3             | 0,0 | 0,0            | 58,8 | 33,4           | 0,4  | 1,0 | 5,1            | 45     |
| Endgas                          | 42,9            | 3,8 | 0,2            | 24,5 | 15,1           | 4,3  | 1,5 | 9,2            |        |
| Wassergas                       | 1,8             | 0,0 | 0,1            | 46,4 | 43,4           | 0,8  | 3,0 | 7,5            | 52     |
| Endgas                          | 40,6            | 4,0 | 0,2            | 8,9  | 24,6           | 6,2  | 1,6 | 15,5           |        |
| H <sub>2</sub> -reiches Anf.Gas | 0,6             | 0,0 | 0,1            | 30,7 | 58,3           | 0,2  | 1,0 | 10,1           | 46     |
| Endgas                          | 22,6            | 1,6 | 0,1            | 0,0  | 43,8           | 13,1 | 1,7 | 18,8           |        |

Die Analysen zeigen, daß bei umso niedrigeren Temperaturen gearbeitet werden kann, je weniger Kohlenoxyd im Synthesegas neben Wasserstoff vorhanden ist, also je weniger Kohlenoxyd umgesetzt werden muss. Bei der gleichen

Temperatur steigen (solange das Kohlenoxyd nicht vollständig umgesetzt ist wie bei dem letzten Versuch der Tafel 18) mit steigendem Wasserstoffgehalt des Synthesegases wegen der hiermit gleichlaufenden erhöhten Wasserbildung (an der Stelle von Kohlensäure) die Kontraktionswerte. Die je Stunde nach den beiden Versuchen der Tafel 17 bei 205° umgesetzten Kohlenoxydmengen betrugen 0,66 bzw. 0,71 Ltr., die je Stunde nach den Versuchen der Tafel 18 bei 235° umgesetzten Kohlenoxydmengen 1,8, 1,7 und 1,23 Ltr. Bei dem letzten Versuch dieser Tafel wurde das gesamte Kohlenoxyd umgesetzt. Solange Kohlenoxyd und Wasserstoff im reagierenden Gas in genügender Menge vorhanden waren, blieben somit bei gleicher Temperatur die in der Zeiteinheit umgesetzten Mengen Kohlenoxyd vom Kohlenoxyd-Wasserstoffverhältnis unabhängig.

### 3. Wirkung einer zu niedrigen Anfangstemperatur

Im allgemeinen wurden die Versuche bei Temperaturen von 225 - 235° begonnen, obwohl direkt nach der Förmierung schon bei niedrigeren Temperaturen guter Umsatz erzielt werden konnte. So wurden bei einem Versuch mit wasserstoffreichem Synthesegas ( $\text{CO} : \text{H}_2 = 1 : 2$ ) nach am zweiten Betriebstag bei 184° 47 % Kontraktion gemessen. Das Verhältnis des Verbrauches von Kohlenoxyd zu Wasserstoff betrug hierbei 0,7 : 1. Es weist auf eine Lenkung der Reaktion nach  $\text{CO} + 2\text{H}_2 \rightarrow \text{CH}_2 + \text{H}_2\text{O}$  hin. Bei derartig niedrigen Reaktionstemperaturen fällt jedoch der Umsatz nach wenigen Tagen ab und die Ergebnisse sind dann auch nach einer Erhöhung der Temperatur ungünstiger, als bei

Versuchen, die von Anbeginn bei höheren Temperaturen gefahren sind. Dies zeigt auch Tafel 19. Hier wurden zwei Vergleichsversuche mit kohlenoxydreichem Synthesegas (frischen-Normalkatalysator) betrieben, der eins direkt bei 235° (Versuch 1), der andere zunächst bei 210° (Versuch 2).

Tafel 19.

Einfluß einer zu niedrigen Reaktionstemperatur auf die Haltbarkeit eines Katalysators.

| Betriebs-<br>tag | Versuch 1   |             | Versuch 2   |             |
|------------------|-------------|-------------|-------------|-------------|
|                  | Temp.<br>°C | Kontr.<br>% | Temp.<br>°C | Kontr.<br>% |
| 1                | 235         | 56          | 210         | 42          |
| 2                | "           | 52          | "           | 31          |
| 3                | "           | 51          | "           | 27          |
| 4                | "           | 51          | -           | -           |
| 5                | "           | 52          | 220         | 21          |
| 6                | "           | 55          | 235         | 36          |
| 7                | "           | 55          | 250         | 45          |
| 8                | "           | 55          |             |             |
| 9                | "           | 55          |             |             |
| 10               | "           | 57          |             |             |
| 15               | "           | 55          |             |             |

Der bei 235° in Betrieb genommene Katalysator gibt konstante Kontraktion von 50 - 55 %. Der bei 210° in Betrieb genommene Katalysator gab nach einem Tag 42 % Kontraktion, nach 2 Tagen 31 % und nach 3 Tagen 27 %. Nur wurde dann die Temperatur gesteigert, dann gab der Katalysator bei 235° nur 35 % und sogar bei 250° noch keine Kontraktion von 50 %.

#### 4. Temperatur und Kontraktionsprodukte.

Es wurde bereits darauf hingewiesen (s.beispielsweise Tafel 16), daß mit steigender Reaktionstemperatur die

Menge der gasförmigen Reaktionsprodukte ansteigt. Tafel 20 zeigt durchschnittliche Ausbeuten, die an Eisenkatalysatoren mit  $\frac{1}{4}$  % Kaliumcarbonat bei  $235^\circ$ ,  $270^\circ$  und  $280^\circ$  erhalten wurden. Von  $235^\circ$  auf  $270^\circ$  fielen die Ausbeuten an festem Paraffin von 39 auf 4.6 je Ncbm. Die Menge der flüssigen, besonders der leichtflüchtigen Kohlenwasserstoffe und der Gasol-kohlenwasserstoffe nahm gleichzeitig zu. Bei  $280^\circ$  waren die Paraffinausbeuten noch kleiner, bei dieser Temperatur sanken aber auch die Ausbeuten an flüssigen und an Gasol-kohlenwasserstoffen.

Tafel 20.

Art der Reaktionsprodukte bei verschiedenen Temperaturen.

| Reaktions-Temp. $^\circ\text{C}$ | Ausbeute (g/Ncbm Idealgas) |           |       |
|----------------------------------|----------------------------|-----------|-------|
|                                  | feste Paraffin             | flüss. KW | Gasol |
| 235                              | 39                         | 83        | 26    |
| 270                              | 4                          | 94        | 46    |
| 280                              | 2                          | 82        | 35    |

D. Der Einfluß des Alkaligehaltes eines Eisenkatalysators auf seine Aktivität und auf die Art der Reaktionsprodukte.

Die Herstellung der Katalysatoren und die Art der Zugabe von Alkali ist eingangs besprochen worden. Im folgenden soll der Einfluß des Alkalies auf den Gang der Synthese näher untersucht werden. Die in den Tafeln angegebenen Alkalizusätze verstehen sich bei Kaliumcarbonat auf Gewichtsprozent Kaliumcarbonat, bezogen auf Eisenmetall. Bei den anderen Alkalicalzen (Permanganat, Fluorid usw.) soll die Angabe "1 %  $\text{K}_2\text{MnO}_4$ " bedeuten, daß soviel Kalium angewandt wurde, als 1 %  $\text{K}_2\text{CO}_3$  entspricht.

Tafel 21 bringt zunächst einen Versuch, dessen

000605

- 53 -

Katalysator mit Ammoniak gefüllt und dem kein Alkali zugesetzt wurde. Die Prüfung der Aktivität erfolgte bei konstanter Temperatur von 235° mit kohlenoxydreichem Synthesegas ( $\text{CO} : \text{H}_2 = 3 : 2$ , 8 - 10% inerte Bestandteile) bei einem Druck von 15 at.

Tafel 21.

Aktivität verschieden alkalisierten Eisenkatalysatoren.

| Fall.<br>mittel                | Alkali-Zusatz                               | Betriebsdauer in Tagen |    |    |    |    |    |    |    |     |
|--------------------------------|---|------------------------|----|----|----|----|----|----|----|-----|
|                                |   | 1                      | 2  | 5  | 10 | 20 | 30 | 40 | 50 | 100 |
| Kontraktion bei 235° und 15 at |   |                        |    |    |    |    |    |    |    |     |
| II B                           | 0   | 50                     | 50 | 50 | 50 | 50 | 49 | 51 | 51 |     |
| $\text{BaCO}_3$                | 0   | 53                     | 50 | 48 | 49 |    |    |    |    |     |
| "                              | $1/4 \%$ $\text{K}_2\text{CO}_3$            | 47                     | 50 | 50 | 51 | 55 | 56 | 54 | 54 | 53  |
| "                              | $1/2 \%$ "                                  | 51                     | -  | 54 | 47 | -  | 45 |    |    |     |
| "                              | $1 \frac{1}{2} \%$ "                        | 40                     | -  | 54 | 53 | 50 |    |    |    |     |
| "                              | $1 \frac{1}{2} \%$ "                        | 45                     | 45 | 45 | 52 | 48 | 48 | 47 |    |     |
| "                              | $2 \frac{1}{2} \%$ "                        | 45                     | 45 | 47 | 46 | 47 | 50 |    |    |     |
| "                              | $5 \%$ "                                    | -                      | -  | 45 | 50 | 50 | 51 | 50 | 40 |     |
| "                              | $10 \%$ "                                   | -                      | 50 | 47 | 50 | 45 | 42 |    |    |     |
| $\text{Ba}_2\text{CO}_3$       | $1 \frac{1}{2} \%$ $\text{KMnO}_4$          | 40                     | -  | 50 | 51 | 55 | 50 |    |    |     |
| "                              | $1 \frac{1}{2} \%$ $\text{K}_2\text{F}_2$   | -                      | 57 | 53 | 55 | 48 |    |    |    |     |
| "                              | $1 \frac{1}{2} \%$ $\text{K}_2\text{SiO}_3$ | -                      | 54 | 53 | 46 | 50 |    |    |    |     |
| "                              | $1 \frac{1}{2} \%$ $\text{K}_2\text{HPO}_4$ | 55                     | 46 | -  | 46 | 40 |    |    |    |     |

Die Versuchsreihe zeigt, daß Alkali, wenn von der Art der entstehenden Reaktionsprodukte abgesehen wird, zur Herstellung eines aktiver Katalysators nicht erforderlich ist. Der vollkommen alkalifreie mit Ammoniak gefüllte Katalysator brachte während 50 Tagen Betriebsdauer Kontraktionswerte, die nicht wesentlich unter den des Eisen-Normalkatalysators mit  $1/4 \%$   $\text{K}_2\text{CO}_3$  liegen. Bei Versuchen mit Katalysatoren, welche 1 % und mehr Kaliumcarbonat ent-

hielten, beginn das Abbrecken des Umsatzes früher als bei dem Eisen-Katalysator, nämlich bei  $235^{\circ}$  zwischen dem 30. und 50. Tag. Versuche, bei welchen anstelle von Kaliumcarbonat andere Alkalischalte zugesetzt wurden, brachten während der ersten Betriebswochen keine nennenswerte Veränderung des Reaktionsverlaufes. Von diesen Versuchen erhab der mit Kaliumpermanganat versetzte Katalysator einen sehr guten Umsatz, während der mit Kaliumphosphat versetzte Katalysator weniger beständig war.

Tafel 22 bringt die Menge und Art der Reaktionsprodukte, die an den verschiedenen alkaliisierten Katalysatoren bei  $235^{\circ}$  und 15 At Synthesedruck erhalten wurden. Die Ausleuten in g je Nbm-Iodolgas schwanken im ersten Betriebmonat entsprechend der nicht vollkommen gleichen Kontraktion, zwischen 140 und 160 g. Ein sehr wesentlicher Einfluss besitzt der Alkaligehalt auf die Art der Reaktionsprodukte. Der Anteil des nach der Butanon-Methode

bestimmten festen Paraffins beträgt (bezogen auf die Gemengtausbeuten an festen, flüssigen und Gasol-Kohlenwasserstoffen) bei Abwesenheit von Alkali 12 %, bei Zugabe von  $1/4 \%$  Kaliumcarbonat 26 %, bei 1 % Kaliumcarbonat 42 %, bei  $2 \%$  Kaliumcarbonat 43 % und bei  $5 \%$  Kaliumcarbonat 45 - 46 %. Die Menge der flüssigen und Gasol-Kohlenwasserstoffe sinkt entsprechend mit steigendem Alkaligehalt.

Die Tafel 22 zeigt schließlich, daß es für die Menge und Art der Reaktionsprodukte während der ersten Betriebswochen unerheblich war, in Form welchen Salzes das Alkali dem Katalysator zugesetzt wurde. Die Versuche mit 1 % Kaliumcarbonat und den entsprechenden Mengen an Kaliumpermanganat, Kaliumsilicat, Kaliumfluorid und

Tafel 22.

Ansetzungen an Eisenkatalysatoren mit verschiedenem Alkali-  
zusatz.

Tabl. Alkali-Zusatz - fl., fl. u. Gasol-KW Paraffin fl. KW Gasol  
mittel 5/6bm Idealgas

| Alkali-Zusatz   | 0 | 141 | 12 | 67 | 21 |
|---|---|-----|----|----|----|
| K <sub>2</sub> CO <sub>3</sub>                                    | 0 | 142 | 15 | 57 | 23 |
| " 1/4 % K <sub>2</sub> CO <sub>3</sub>                            |   | 148 | 26 | 56 | 18 |
| K <sub>2</sub> CO <sub>3</sub> 1 % K <sub>2</sub> CO <sub>3</sub> |   | 157 | 42 | 47 | 11 |
| " 1 % KNO <sub>3</sub>  |   | 155 | 41 | 45 | 14 |
| " 1 % K <sub>2</sub> SiO <sub>3</sub>                             |   | 158 | 43 | 41 | 16 |
| " 1 % K <sub>2</sub> P <sub>2</sub>                               |   | 163 | 46 | 42 | 12 |
| " 1 % K <sub>2</sub> HPO <sub>4</sub>                             |   | 154 | 58 | 52 | 10 |
| K <sub>2</sub> CO <sub>3</sub> 2 % K <sub>2</sub> CO <sub>3</sub> |   | 143 | 43 | 44 | 13 |
| " 5 % "   |   | 161 | 45 | 43 | 12 |
| " 50 % "  |   | 155 | 46 | 44 | 10 |

Kaliumphosphat ergaben innerhalb der Abweichungen derartiger Versuche den gleichen Reaktionsverlauf.

2. Behandlung mit Wasserstoff vor und während der Synthese.

1. Vorbehandlung mit Wasserstoff.

Der Eisen-Normalkatalysator wurde statt mit Kohlenoxyd mit 6 ltr. Wasserstoff je Stunde bei 1/10 at und 325° 2 1/2 Stunden vorbehandelt. Hierauf wurde auf kohlenoxydreiches Synthesegas von 15 at Druck und 235° umgeschaltet. Eine nach 1 1/4 Stunden genommene Endgassanalyse zeigte 2-3% und eine nach 5 1/4 Stunden genommene Gasanalyse 4% Kontraktion. Der Katalysator verhielt sich ebenso wie ein nicht vorbehandelter Katalysator. Trotzdem zeigte sich der Katalysator nach der Herausnahme

aus dem Reaktionsrohr schwach pyrophor und ferromagnetisch.  
In Vergleichsversuch, bei welchem unter denselben Bedin-  
gungen stattdessen von Wasserstoff Kohlenoxyd für die Vorbe-  
handlung des Katalysators verwendet wurde, ergab bei der  
Synthese sofort eine Kontraktion von 54 %.

Bei einem weiteren Versuch sollte mit einem Ka-  
talytor mit etwas geringerer Aktivität versucht werden,  
ob eine Vorbehandlung mit Wasserstoff vor der Formierung  
eine Verbesserung bringt. Zu diesem Zweck wurden zunächst  
6 Stunden mit 8 ltr. Wasserstoff je Stunde bei 1/10 at  
und 325° vorbehandelt und hierauf durch 20 Stunden mit  
2 ltr. Kohlenoxyd je Stunde bei 1/10 at und 325° formiert,  
und dann mit kohlenoxydrreichem Synthesegas bei 15 at ge-  
arbeitet. Die Kontraktion betrug am zweiten Tag bei 234°  
42 %, am 6. Tag bei 236° 45 %, am 8. Tag bei 238° 47 %  
und am 10. Tag bei 238° 47 %. Ein mit dem gleichen Kata-  
lysator aus geführter Vergleichsversuch ohne Vorbehandlung  
mit Wasserstoff ergab am zweiten Tag bei 234° 42 % Kon-  
traktion und am 3. Tag bei 238° 46 %. Die vorgenommene  
Wasserstoffbehandlung war somit auf die Höhe des Umsatzes  
ohne Einfluss.

## 2. Wasserstoffbehandlung zwischen Formierung und Synthese.

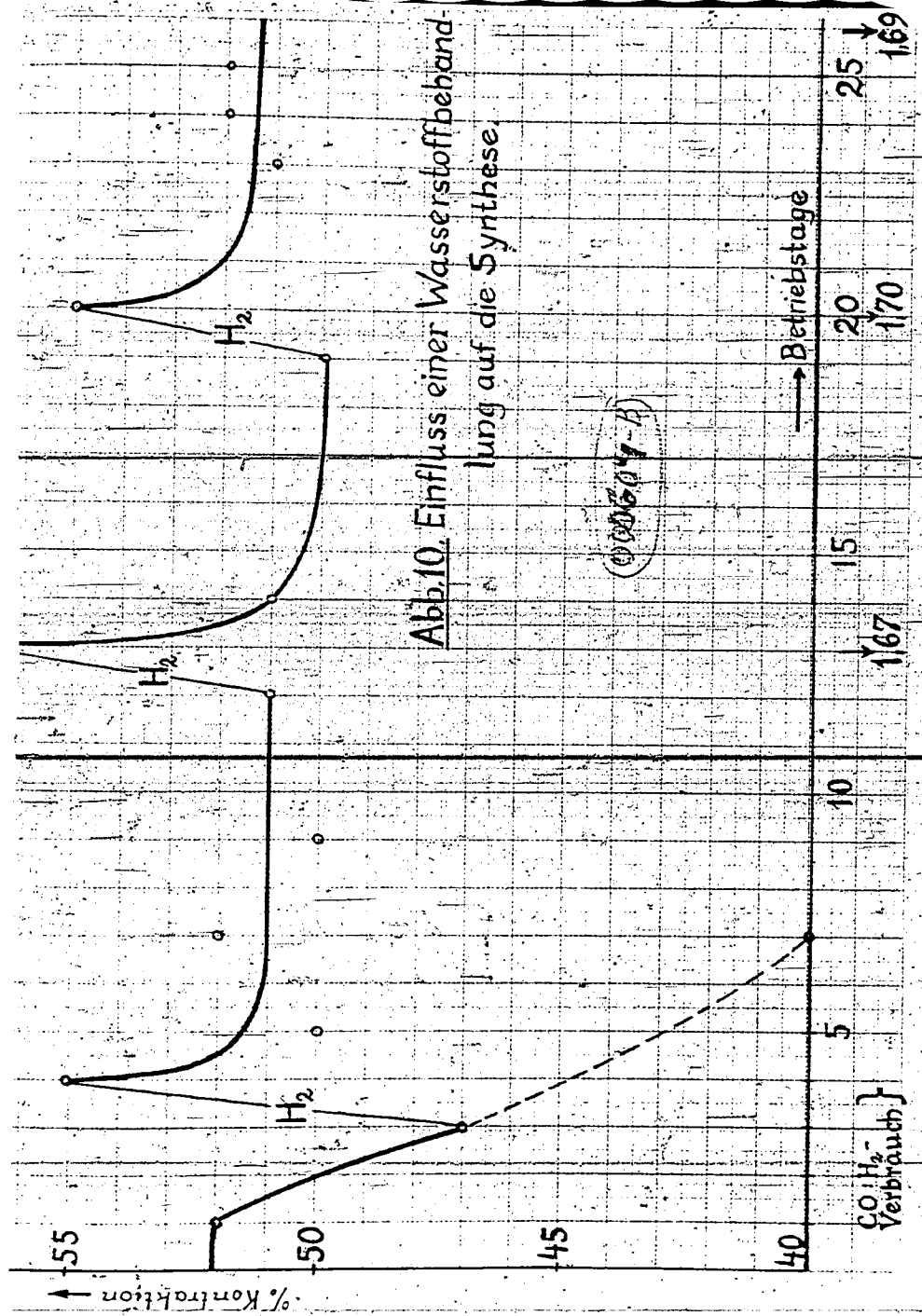
Es wurde zunächst mit 40 ltr. Kohlenoxyd 2 1/2  
Stunden bei 325° und 1/10 at formiert. Hierauf wurde 17  
Stunden mit 6 ltr. Wasserstoff je Stunde bei 325° und  
Atmosphärendruck nachbehandelt. Dann wurde auf kohlenoxyd-  
reiches Synthesegas und 15 at Druck umgeschaltet und die  
Aktivität bei 210° geprüft. Die Kontraktion betrug gleich

nach dem Umschalten 42 % nach einem Tag 43 %. Bei einem Vergleichsversuch, bei welchem die Wasserstoffbehandlung weggelassen wurde, betrug die Kontraktion nach einem Tag 42 %. Die Wasserstoffbehandlung hatte somit keinen Einfluß auf die Aktivität des Katalysators. (Das Ergebnis war insofern überraschend, als man erwarten mußte, daß bei der Vornierung gebildete und für die Synthese unerwünschten wichtige Carbide bei der Wasserstoffbehandlung abgebaut würden.)

### 3. Wasserstoffbehandlung während der Synthese.

Ein Katalysator, der zur Erhaltung seiner vollen Aktivität bei einer um einige Grade höheren Temperatur hätte betrieben werden müssen, wurde bei 235° unter normalen Bedingungen (15 at, 4 Ltr. CO-reiches Gas je Stunde) in Betrieb genommen. Er ergab am ersten und zweiten Tag 52 % Kontraktion (v. Abbildung 10), nach zwei Tagen 50 % und nach 3 Tagen 47 % Kontraktion. Wie die einem Vergleichsversuch entnommene gestrichelte Kurve zeigt, wäre der Versuch nach einer Woche bei 235° bei einer Kontraktion von 40 % eingelangt. Der Versuch wurde aber nach drei Tagen einer Wasserstoffbehandlung (15 Std., 8 Ltr./Std., 1 at, 325°) unterworfen. Nach dieser Wasserstoffbehandlung stieg bei der darauffolgenden Synthese die Kontraktion auf 55 %. Sie fiel dann wieder, blieb aber bis zum 12. Tag auf 51 %. Hierauf wurde wieder eine Wasserstoffbehandlung (gleiche Bedingungen) eingeschaltet. Die Kontraktion stieg dann auf 57 % und fiel bis zum 10. Tag auf 50 %. Nach der dritten Wasserstoffbehandlung wurden zunächst 55 %, nach drei

Abb. 10. Einfluss einer Wasserstoffbehandlung auf die Synthese.



Tagen 51 % und nach 4 Tagen 52 % Kontraktion gemessen.  
Der Versuch gab dann bei 235° ohne weitere Wasserstoffbehandlung durch zwei Monate Kontraktionswerte von 50 - 53 %.

Abbildung 10 zeigt, daß eine während der Synthese eingeschobene Wasserstoffbehandlung eine Erhöhung der Aktivität des Eisenkatalysators bringt. Diese war besonders groß in den ersten Stunden nach der Wasserstoffbehandlung, sie brachte aber auch eine nachhaltende Beserung des Katalysators. Bei dem direkt nach der Wasserstoffbehandlung auftretenden Aktivitätsspitzen war das Verhältnis des Verbrauches von Kohlenoxyd zu Wasserstoff nicht anders als bei dem normalen Verlauf der Synthese bei 50 - 52 % Kontraktion. In beiden Fällen wurden Kohlenoxyd und Wasserstoff im Verhältnis 1,67 bis 1,70 : 1 verbraucht. Die Spitzen entsprachen somit nicht etwa einer Kohlung des Katalysators.

Eisenkatalysatoren, welche schon eine lange Lebensdauer oder einen wesentlichen Aktivitätsabfall hinter sich haben, zeigten nach einer derartigen Wasserstoffbehandlung keine nachhaltende Regeneration. Eine solche kann dann auch durch eine nochmalige Formierung mit Kohlenoxyd nicht erreicht werden. Die für die Erhöhung der Lebensdauer mancher Eisenkatalysatoren bedeutungsvolle Wasserstoffbehandlung muss vor Absinken der Kontraktion unter 45 - 50 % eingeschaltet werden.

F. Katalysatoren auf Basis von Ferrosalzen.

Bereits bei der Beschreibung der Herstellungsweise der Katalysatoren wurde darauf hingewiesen, daß die aus Ferrosalzen hergestellten Eisenkatalysatoren einen voluminösen braunes Pulver darstellen, während die aus Ferrisalzen hergestellten Katalysatoren fast schwarz und fest mit glasigem Bruch anfallen. Die beiden Katalysatorarten unterscheiden sich somit rein äußerlich grundsätzlich voneinander.

Bei einer direkten Inbetriebnahme ohne Formierung (CO-reiches Gas, 15 at) brachte der "Ferrokatalysator" ähnlich ungünstige Ergebnisse, wie dies bei anderen Katalysatoren bereits beschrieben wurde, am 1. Tag bei 244° 8 % Kontraktion, am 9. Tag bei 265° 45 % Kontraktion. Der "Ferrikatalysator" kam unter diesen Bedingungen bei 260 - 290° auf vollen Umsatz mit 50 % Kontraktion.

Nach einer Formierung mit Mischgas bei 1 at und 254° wurden bei 15 at (CO-reiches Gas) bei 245° 43 %, bei 255° 44 % und am 10. Tag bei 265° 47 % Kontraktion gemessen.

Wurden die aus Ferrochlorid oder auch aus Ferronitrat hergestellten (Cu-freien) Eisenkatalysatoren mit Kohlenoxyd bei 1/10 at und 325° formiert und dann bei 15 at mit CO-reichem Synthesegas in Betrieb genommen, dann gaben sie eine große Anfangaktivität, die aber schon nach 1 - 2 Tagen abnahm. Tafel 23 zeigt dies an drei Versuchen.

Die Kontraktion des ersten Versuches fiel bei 235° am dritten Tag von 57 auf 34 %. Beim zweiten Versuch wurde am ersten Tag, nachdem eine Kontraktion von 56 %

Tafel 23.

Versuche mit "Ferrokatalysatoren."

| Katalysator<br>hergestellt<br>aus | FeCl <sub>2</sub> | FeCl <sub>2</sub> | Fe(NO <sub>3</sub> ) <sub>2</sub> |             |             |             |
|-----------------------------------|-------------------|-------------------|-----------------------------------|-------------|-------------|-------------|
| Betriebs-<br>Tage                 | Temp.<br>°C       | Kontr.<br>%       | Temp.<br>°C                       | Kontr.<br>% | Temp.<br>°C | Kontr.<br>% |
| 1                                 | 235               | 57                | 235                               | 56          | 235         | 56          |
| 2                                 | 235               | 57                | 225                               | 56          | 235         | 57          |
| 3                                 | 235               | 34                | 225                               | 49          | 235         | 40          |
| 4                                 | 235               | 30                | 215                               | 38          |             |             |
| 5                                 |                   |                   | 225                               | 35          |             |             |
| 6                                 |                   |                   | 225                               | 29          |             |             |

festgestellt worden war, die Temperatur gesenkt, um eine evtl. Schädigung durch eine zu hohe Aktivität zu verhindern. Bei der niedrigeren Temperatur fiel die Kontraktion jedoch auch ab. Ähnlich verhielt sich ein dritter Versuch mit einem aus Ferronitrat hergestellten Katalysator.

Unter den für die Normalkatalysatoren (aus Ferri-salzlösung hergestellt) erprobten optimalen Arbeitsbedingungen zeigen die "Ferrokatalysatoren" ein wesentlich ungünstigeres Verhalten.

Für Versuche der Tafel 12 waren Eisen-Kupfer-Katalysatoren auf Basis Ferrochlorid - Kupferchlorid verwendet worden. Sie wurden mit Mischgas bei Atmosphärendruck formiert. Die Tafel zeigt, daß diese "Ferrokatalysatoren" durch mehrere Monate vollen Umsatz brachten, allerdings entsprechend den Formierungsbedingungen erst bei von 260° an steigenden Temperaturen.

G. Der Einfluß eines Zusatzes von Kupfer.

Wie Versuche von Franz Fischer, Ackermann und 17) Meyer gezeigt hatten, waren beim Arbeiten bei Atmo-

000613

- 61 -

sphärendruck kupferhaltige Eisenkatalysatoren den kupferfreien in ihrer Wirksamkeit überlegen. Die folgende Tafel bringt die mit den beiden Katalysatortypen bei atmosphärendruck erhaltenen besten Ergebnisse. Die Reaktionstemperatur war 230 - 235°. Es wurden 4 Ltr. Mischgas je Stunde und je 10 g Eisen zur Umsetzung gebracht.

Tafel 24.

Der Einfluß eines Kupferzusatzes bei der Normaldrucksynthese.

| Katalysator:  | Fe : Cu = 5:1   | Fe (ohne Cu)          |                 |                       |
|---------------|-----------------|-----------------------|-----------------|-----------------------|
| Anlaufzeit:   | 2 Tage          | 4 - 7 Tage            |                 |                       |
| Synthesestage | Kontr.<br>g/cbm | flüss. Prod.<br>g/cbm | Kontr.<br>g/cbm | flüss. Prod.<br>g/cbm |
| 1             | 30              | 56                    | 32              | 55                    |
| 5             | 30              | 56                    | 31              | 50                    |
| 10            | 30              | 55                    | 30              | 48                    |
| 20            | 30              | 56                    | 27              | 38                    |
| 30            | 29              | 59                    | 26              | 34                    |
| 40            | 27              | 46                    |                 |                       |

Die kupferhaltigen Katalysatoren hatten eine geringere Anlaufzeit zur Erreichung der Maximalkontraktion von rd. 30 % notwendig. Die maximale Ausbeute war zu Beginn der Synthese in beiden Fällen annähernd die gleiche, doch hielten sich die kupferhaltigen Katalysatoren mehrere Wochen auf vollem Umsatz, während die kupferfreien Katalysatoren dies nur einige Tage taten.

Bei direkter Durchführung der Synthese unter einem Druck von 15 at (ohne vorherige Formierung bei niedrigerem Druck) kamen die Katalysatoren ohne wie mit Zusatz von Kupfer (5 Fe : 1 Cu) erst bei 260 - 270° auf eine Kontraktion von 40 - 44 %. Ohne Zusatz von Kupfer wurden unter diesen Bedingungen bei 280 - 290° eine Kon-

traktion von 50 % erreicht und mehrere Monate gehalten, während die Kupfer enthaltenden Katalysatoren bei diesen Temperaturen schnell abfielen.

Tafel 25 bringt zwei Versuchspaare, deren Katalysatoren aus Ferrisalzlösungen hergestellt und mit Kohlenoxyd bei 1/10 at und 325° formiert wurden. Die Synthese wurde mit CO-reichem Gas bei 15. at durchgeführt. Es sind Ergebnisse bei Synthesetemperaturen von 235° und von 225° mit und ohne Kupfer gegenübergestellt.

Tafel 25.

Die Wirkung eines Kupferzusatzes auf die Aktivität von Eisenkatalysatoren.

| Synthesetemperatur | 235°       |                | 225°       |                |
|--------------------|------------|----------------|------------|----------------|
| Betriebstage       | Fe ohne Cu | Fe-Cu<br>5 : 1 | Fe ohne Cu | Fe-Cu<br>5 : 1 |
| 1                  | 55         | 54             | 52         | 55             |
| 2                  | 53         | 56             | -          | 54             |
| 3                  | 53         | -              | 50         | 50             |
| 4                  | 55         | 50             | -          |                |
| 5                  | 55         | 50             | 45         | 50             |
| 10                 | 54         | 52             |            |                |

Die Versuche zeigen, daß ein Zusatz von Kupfer zu Eisenkatalysatoren der Mitteldrucksynthese nach einer <sup>bei 235°</sup> geeigneten Formierung keine Vorteile bringt.

H. Die Wirkung eines Zusatzes von Kieselgur.

Bei der Synthese von Kohlenwasserstoffen an Kobaltkatalysatoren kommt der Verwendung von Kieselgur als Träger des Katalysators eine ausschlaggebende Bedeutung zu. Gute Austötungen an flüssigen oder festen Kohlenwasserstoffen können nur mit Kieselgur enthaltenden Katalysatoren erzielt werden.

Bei der Normalsynthese an Eisenkatalysatoren konnte hingegen bei Verwendung ~~an~~ von Kieselgur als Träger in keinem Fall die Wirksamkeit von trägerfreien Katalysatoren erreicht werden. In einzelnen Fällen wurden Ausbeuten von 50 - 55 g flüssige Kohlenwasserstoffe je cbm bestimmt, doch betrug die Lebensdauer derartiger Katalysatoren nur wenige Tage.

In Rahmen der Mitteldrucksynthese an Eisenkatalysatoren wurden neuerdings Versuche aufgenommen, bei welchen Kieselgur als Träger Verwendung fand. Der Zweck dieser Untersuchungen war weniger eine Verbesserung des Eisenkatalysators im Sinne einer Erhöhung der Ausbeuten als vielmehr eine Auflösung des Katalysators zur Erhöhung der Beständigkeit bei Verwendung von senkrechten Reaktionsrohren. (Siehe I. Teil dieser Abhandlung).

Die Kieselgur wurde zunächst in verschiedenen Stadien der Katalysatorherstellung zugesetzt. Folgende Versuche seien angeführt:

Versuch 1. Je 10 g Eisen wurden 4 g Kieselgur vor der Füllung in die Eisenlösung eingetragen.

Versuch 2. Je 10 g Eisen wurden 4 g Kieselgur vor der Füllung in die Sodalösung eingetragen.

Versuch 3. Je 10 g Eisen wurden 4 g Kieselgur nach dem Alkalisieren in den feuchten Katalysatorbrei eingetragen (siehe I. Teil, Katalysatorherstellung).

Versuch 4. Die Möglichkeit, Kieselgur trocken dem fertigen Katalysator zuzumischen, scheidet aus, wenn man direkt einen festen körnigen Katalysator herstellen will.

Die nach Versuch 1 - 3 erzielten Ergebnisse sind in Tafel 26 zusammengefaßt. Versuch 3 a bezieht sich

auf eine Synthesetemperatur von 235°, Versuch 3 b von 225°. Es werden die nach verschiedenen Betriebszeiten gemessenen Kontraktionen gebracht. In allen Fällen wurde 24 Stunden mit 4 ltr. Kohlenoxyd/10 g Eisen/Stde. bei 1/10 at und 325° formiert und hierauf die Synthese mit kohlenoxydreichem Gas (3 CO : 2 H<sub>2</sub>) bei 15 at durchgeführt.

Tafel 26.

Die Wirkung eines Zusatzes von Kieselgur zum Katalysator.

| Betriebs-<br>tage | Vers. 1 |        | vers. 2 |        | Vers. 3 a |        | Vers. 3 b |        |
|-------------------|---------|--------|---------|--------|-----------|--------|-----------|--------|
|                   | Temp.   | Kontr. | Temp.   | Kontr. | Temp.     | Kontr. | Temp.     | Kontr. |
| 1                 | 235     | 53     | 234     | 55     | 235       | 54     |           |        |
| 2                 | 235     | 50     | 234     | 53     | 235       | 54     | 225       | 56     |
| 3                 |         |        | 234     | 51     |           |        | 225       | 56     |
| 4                 |         |        | 234     | 50     |           |        | 225       | 56     |
| 5                 |         |        | 235     | 49     | 235       | 54     | 225       | 54     |
| 6                 | 234     | 45     | 236     | 50     | 235       | 54     | 225       | 54     |
| 8                 |         |        | 235     | 49     | 235       | 56     | 225       | 54     |
| 9                 |         |        | 234     | 40     | 235       | 55     | 225       | 50     |
| 10                |         |        |         |        | 235       | 54     | 225       | 46     |
| 20                |         |        |         |        | 235       | 54     |           |        |
| 30                |         |        |         |        | 235       | 52     |           |        |
| 40                |         |        |         |        | 235       | 52     |           |        |
| 50                |         |        |         |        | 235       | 50     |           |        |
| 60                |         |        |         |        | 235       | 50     |           |        |

Tafel 26 zeigt, daß von den verschiedenen Möglichkeiten sich diejenige des Versuches 3 a am besten bewährt hat. Hier wurde die Kieselgur nach dem Alkalisieren zugesetzt. Während zweier Monaten Betriebsdauer blieb die Kontraktion (ohne Regeneration) über 50 %. Bei 225° (Versuch 3 b) fiel die Kontraktion nach 10 Tagen unter 50 %.

Tafel 27 zeigt die Zusammensetzung der Reaktionsgase bei einer Kontraktion von 53 - 54 %. Der Versuch 3 a gab die meisten gasförmigen Kohlenwasserstoffe. Die

Katalysatoren, bei welchen mit Kieselgur während der Fällung des Katalysators Gelegenheit hatte sich mit Alkali zu sättigen (Versuch 1 und 2) sowie der bei 225° durchgeführte Versuch 3 b ergaben bei der gleichen Kontraktion wesentlich weniger gesättigte gasförmige Kohlenwasserstoffe. (Ein Eisen-Normalkatalysator gab unter analogen Bedingungen ein Reaktionsgas mit 6 - 8 % gesättigten gasförmigen Kohlenwasserstoffen).

## Tafel 27.

Analysen von Reaktionsgasen der Kieselgurkontakte bei einer Kontraktion von 53 - 54 %.

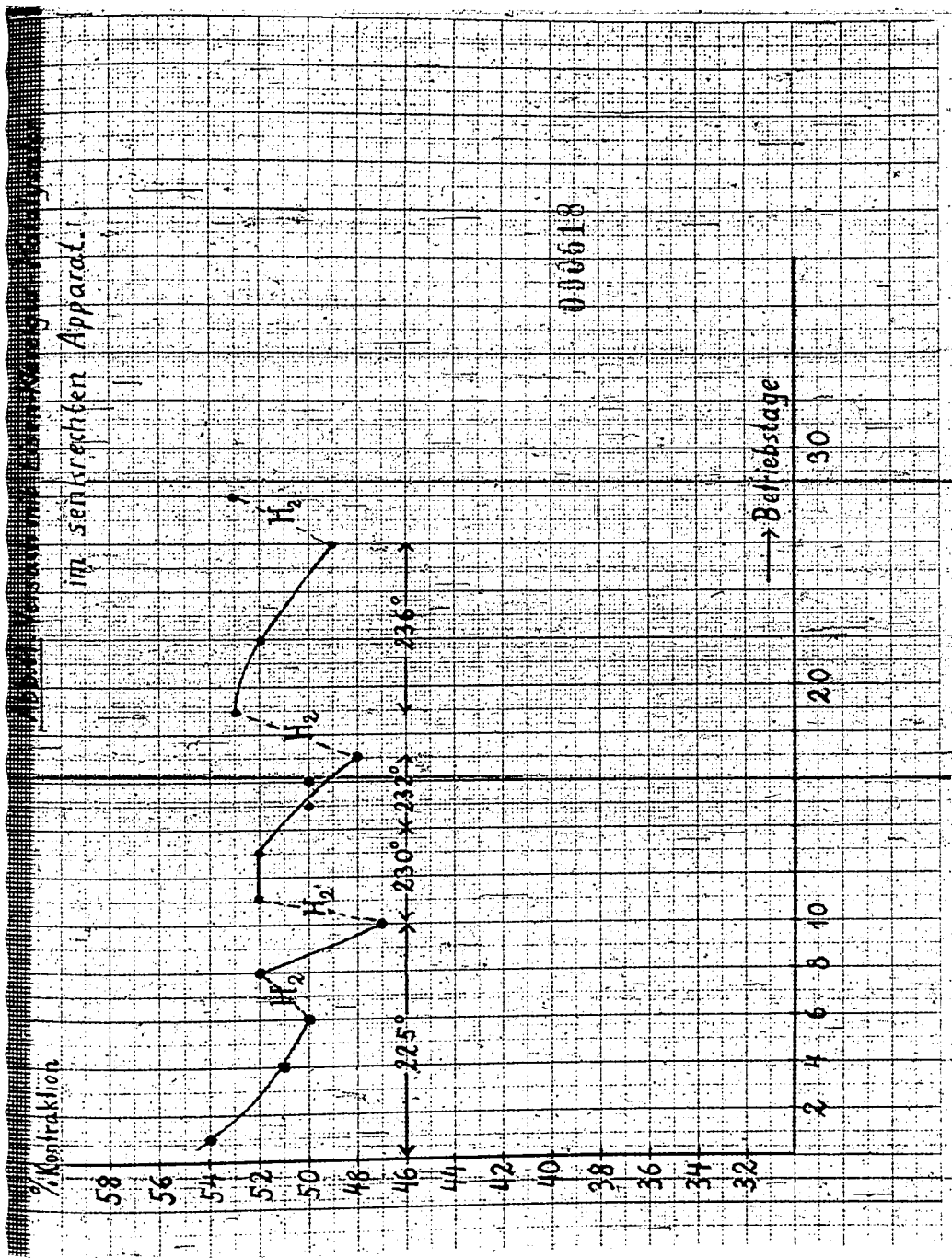
|          | CO <sub>2</sub> | SKW | O <sub>2</sub> | CO  | H <sub>2</sub> | KW   | C <sub>2</sub> | N <sub>2</sub> |
|----------|-----------------|-----|----------------|-----|----------------|------|----------------|----------------|
| Vers. 1  | 59,1            | 3,5 | 0,2            | 6,3 | 12,9           | 4,7  | 1,8            | 13,3           |
| Vers. 2  | 59,2            | 4,4 | 0,1            | 5,4 | 11,1           | 6,1  | 1,7            | 12,7           |
| Vers. 3a | 64,8            | 3,0 | 0,1            | 1,3 | 6,0            | 11,4 | 1,9            | 13,4           |
| Vers. 3b | 55,9            | 2,6 | 0,2            | 8,8 | 9,9            | 7,7  | 2,1            | 14,2           |

Eine bei Versuch 3 a durchgeführte Ausbeutebestimmung ergab 87 g feste und flüssige Kohlenwasserstoffe und 36 g Gasol-Kohlenwasserstoffe je Nbm Idealgas.

Zu Beginn enthielten die flüssigen Kohlenwasserstoffe 3 % festes Paraffin, nach 4 Wochen 12 % und nach 6 Wochen 14 %. (Dieser Katalysator war mit 1 % Kaliumcarbonat alkaliisiert worden. Die Paraffinbildung ist somit eine wesentlich geringere als bei den entsprechenden kieselgurfreien Eisenkatalysatoren.)

Die Produkte waren farblos. Über ihre Zusammensetzung wird an anderer Stelle berichtet.

Ein entsprechend Versuch 3 hergestellter Katalysator wurde in einem senkrechten Apparat mit 18 Rohren (18 Katalysatorfüllungen zu 10 g Eisen) gefüllt. Nach der



normalen Formierung mit Kohlenoxyd bei 1/10 at und 325° wurde mit kohlenoxydreichem Gas bei 15. at und 225° in Betrieb gegangen. Die Kontraktion fiel innerhalb von 6 Tagen von 54 auf 50 %. dann wurde bei derselben Temperatur mit Wasserstoff behandelt. Am achten Tag betrug die Kontraktion 52 %, am zehnten Tag 47 %. Nach einer zweiten Wasserstoffbehandlung wurde bei 230°, dann bei 232° gearbeitet. Am siebzehnten Tag war die Kontraktion wieder auf 48 % gesunken. Nach einer weiteren Wasserstoffbehandlung lief der Versuch eine Woche bei 236° usw. (siehe Abb.11).

Im Vergleich zu den entsprechenden im horizontalen bzw. schwach geneigten Rohr ausgeführten Versuch 3 der Tafel 26 lief der Versuch im senkrechten Apparat weniger gleichmäßig. Immerhin konnte bei mehrmaliger Einschaltung einer Wasserstoffbehandlung eine Kontraktion von rd. 50 % aufrecht erhalten werden. (Ühres zur appratischen Frage enthält der IM. Teil).

## III. Teil: Die Reaktionsprodukte.

Bei der Mitteldrucksynthese an Eisen-Katalysatoren entstehen Paraffin- und Oleinkohlenwasserstoffe verschiedenster Molekulgröße, vom Methan und niedrigen gasförmigen Kohlenwasserstoffen bis zu hochmolekularen festen Paraffinen. In Tafel 28 sind die Ausbeuten an festen Paraffinen, flüssigen Produkten und Gasokohlenwasserstoffen einiger unter verschiedenen Reaktionsbedingungen laufender Versuche zusammen gestellt.

Tafel 28.

Feste, flüssige und Gasol-Kohlenwasserstoffe bei verschiedenen Reaktionsbedingungen.

| Katalysator                              | % K <sub>2</sub> CO <sub>3</sub> | Synthese-Temp. C | Paraffin % | flüss. KW % | Gasol % |
|--|----------------------------------|------------------|------------|-------------|---------|
| Fe(Na <sub>2</sub> CO <sub>3</sub> gef.) | 1/4                              | 270              | 3          | 65          | 32      |
| Fe - Cu                                  | 1/8                              | 260              | 4          | 76          | 20      |
| Fe-Kieselgur                             | 1                                | 235              | 8          | 63          | 22      |
| Fe-(NH <sub>3</sub> gef.)                | 0                                | 235              | 12         | 67          | 21      |
| Fe-Normalk.                              | 1/4                              | 235              | 26         | 56          | 18      |
| Fe(Na <sub>2</sub> CO <sub>3</sub> gef.) | 1                                | 235              | 42         | 47          | 11      |
| Fe " "                                   | 5                                | 235              | 46         | 44          | 10      |

Wie die Tafel zeigt, lag der Gehalt der Gesamtreaktionsprodukte an festen Paraffinen bei diesen Versuchen zwischen 3 und 46 %. Bezieht man diese Mengen auf die festen und flüssigen Produkte, dann entspricht dies 5 bzw. 51 %. Der Anteil an flüssigen Kohlenwasserstoffen schwankte zwischen 44 und 76 % der Reaktionsprodukte, der Anteil des Gasols zwischen 10 und 32 %. Bei den Katalysatoren, welche

während besonders langer Zeiträume gute Ausbeuten ergaben, also vor allem bei dem mit Soda gefüllten Eisen-Normalkatalysator (bei 235°) und dem mit Ammoniaky gefüllten Katalysator (bei 235°) entsprachen die Anteile an festen, flüssigen und Gasol-Kohlenwasserstoffen Mittelwerten der genannten Zahlen, im übrigen verschieben eine Erniedrigung der Reaktionstemperatur und eine Erhöhung des Alkaligehaltes die Art der Reaktionsprodukte nach solchen höherer Molekulargewichte. Der Eisen-Kieselgurkatalysator fällt aus dieser Reihe heraus.

Neben dem Siedeverhalten war unter verschiedenen Reaktionsbedingungen auch der Gehalt an ungesättigten Kohlenwasserstoffen bei den flüssigen Produkten wie auch beim Gasol ein verschiedener.

Als Nebenprodukt fällt bei der Synthese besonders hochschmelzendes Paraffin an. Weiterhin entstehen sauerstoffhaltige organische Verbindungen von der Art des von Franz Fischer und Tropsch beschriebenen Synthesen.<sup>18)</sup>

Schließlich können die Eisen-Katalysatoren unter bestimmten Bedingungen zur Herstellung eines den Richtlinien entsprechendem Stadtgases Verwendung finden.

Bei der Mitteldrucksynthese an Eisen-Katalysatoren ist in besonderem Maße die Möglichkeit gegeben, nach Wunsch die Bildung der einen oder der anderen Reaktionsprodukte in den Vordergrund treten zu lassen. Bei der Besprechung der Reaktionsprodukte werden somit nur ungefähre Grenzen der Bildung einzelner Kohlenwasserstofftypen oder Beispiele für die Bildung bestimmter Produkte gegeben, wegen der großen Variierbarkeit dieser Synthese kann aber keine be-

bestimmte Zusammensetzung der Reaktionsprodukte, etwa wie bei der Normal- oder Mitteldrucksynthese an Kobalt-Katalysatoren, mitgeteilt werden.

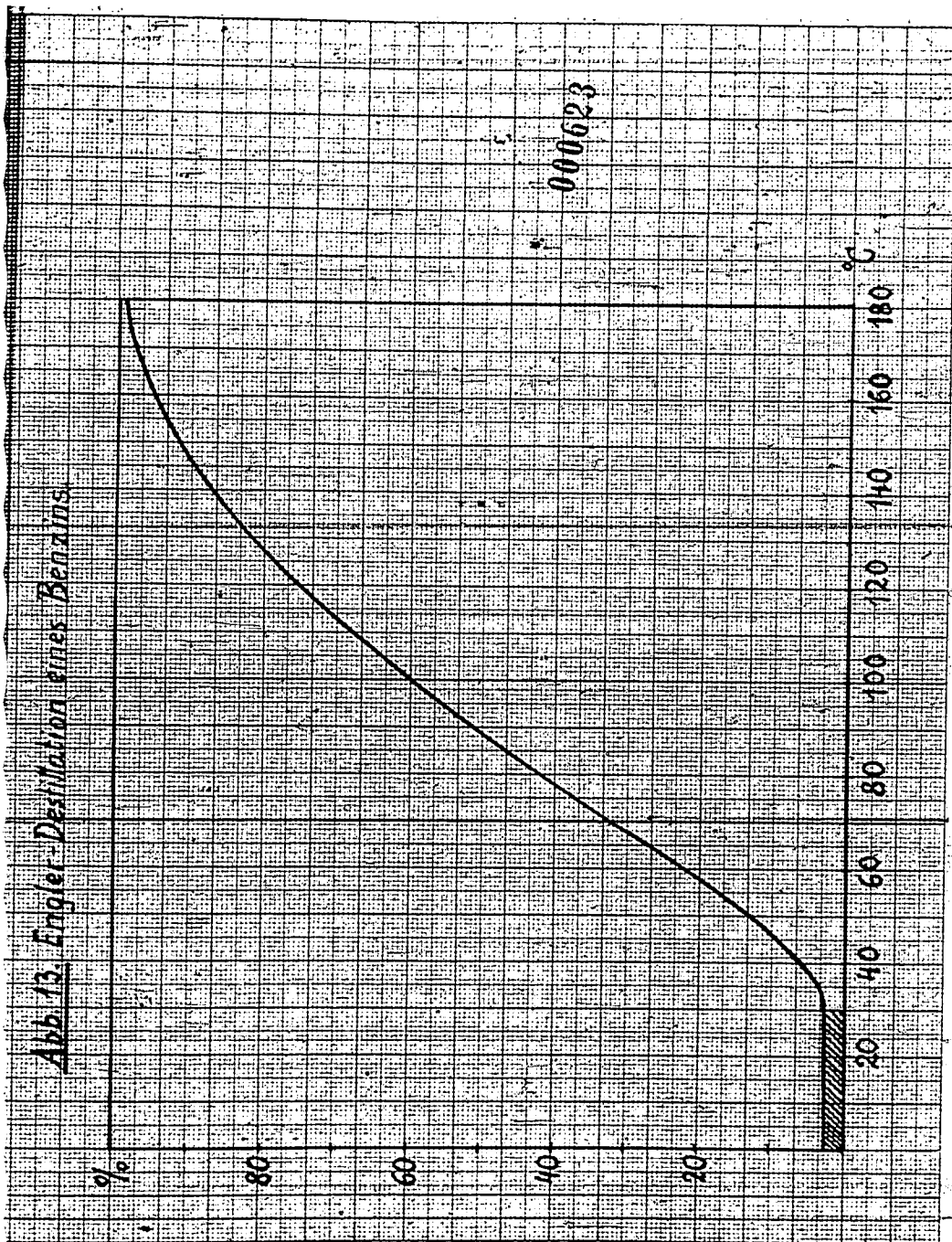
#### A. Flüssige Kohlenwasserstoffe.

Das roh anfallende flüssige Gesamtprodukt ist ~~im allgemeinen~~ nicht völlig farblos sondern etwas gelblich. Nach einer Destillation erhält man wasserklares farbloses Benzin, während die geringen Mengen an gelblichem Öl im Rückstand verbleiben. Das Benzin ist beständig, es bleibt auch nach monatelangem Lagern farblos.

Die Menge der bis  $180^\circ$  siedenden flüssigen Kohlenwasserstoffe bezogen auf die gesamten flüssigen Kohlenwasserstoffe ist je nach den Versuchsbedingungen in weiten Grenzen verschieden. So siedeten von den an einem Normal-Katalysator (mit  $1/4 \%$   $K_2CO_3$ ) bei  $235^\circ$  entstandenen flüssigen Kohlenwasserstoffen  $\approx$  bis  $180^\circ$ , bei Verwendung eines Katalysators mit  $1\%$   $K_2CO_3$  (bei  $235^\circ$  Reaktionstemperatur  $\approx$  bis  $180^\circ$ , bei Verwendung eines mit Ammoniak gefüllten Katalysators (mit  $1/4 \%$   $K_2CO_3$  bei  $250^\circ$ )  $55\%$  bis  $180^\circ$  und bei einem bei  $260^\circ$  betriebenen Eisen-Kupfer-Katalysator  $80\%$  bis  $180^\circ$ .

Abb. 12 bringt eine Siedekurve der am Eisen-Normal-Katalysator bei  $235^\circ$  entstandenen Produkte.

Abb. 13 bringt eine Engler-Destillation eines bei einer Reaktionstemperatur von  $250^\circ$  entstandenen bis  $180^\circ$  siedenden Benzins.  $50\%$  dieses Benzins siedeten bis  $88^\circ$ ,  $60\%$  bis  $100^\circ$ . Das Siedeverhalten des Benzins kann wieder durch Veränderung der Arbeitsbedingungen stark verändert werden. So wurde bei  $235^\circ$  am Eisen-Normal-Katalysa-



verarbeitung der Polymer-Primärprodukte erörtert.

tor ein bis 180° siedendes Benzin erhalten, von welchem 50% bis 73° siedeten, während bei einer Reaktionstemperatur von 260° an einem anderen Eisen-Katalysator ein bis 180° siedendes Benzin erzeugt wurde, von welchem 50% unter 73° siedeten.

Tafel 29 bringt Dichte, Olefingehalt, Siedeverhalten und Oktanzahl einiger am Eisen-Katalysator erhaltenen Benzine.

#### Tafel 29.

#### Eigenschaften von an Eisen-Katalysatoren erhaltenen Benzinen.

| Nr. | mit NaOH<br>gewaschen | $d_{15}^{20}$ | Olef. | Siedeanalyse |     |     | P 37,8° | OZ      |
|-----|-----------------------|---------------|-------|--------------|-----|-----|---------|---------|
|     |                       |               |       | Beginn       | 10% | 50% |         |         |
| 1   | ja                    | 0,696         | 64    | 30°          | 46° | 88° | 145°    | 0,54 61 |
| 2   | Ja                    | 0,678         | 65    | 30°          | 38° | 73° | 145°    | 62      |
| 3   | nein                  | 0,698         | 38    |              |     |     | 0,48    | 63      |

Probe 1 der Tafel 29 stammt von einem mit Ammoniak gefallten Katalysator, Probe 2 von einem Versuch mit einem Eisen-Kupfer-Katalysator und Probe 3 von einem Versuch mit einem Eisen-Kieselgur-Katalysator.

Die Dichte der bis 180° siedenden Benzine lag etwas unter 0,7. Mit Phosphorpentoxid-Schwefelsäure ließen sich aus den Benzinen 64 bzw. 65 bzw. 38 Volumenprozent herausnehmen. Die Oktanzahlen der drei stabilisierten Benzinproben betrugen nach der Motormethode 61 bis 63.

Möglichkeiten zu einer weiteren Erhöhung der Klopffestigkeit des Benzins im Rahmen der Mitteldrucksynthese werden in einem besonderen Abschnitt über die Weiterverarbeitung der  $\text{P}_{\text{X}}/\text{P}_{\text{Y}}$ -Primärprodukte erörtert.

Vergleicht man die mit Phosphorpentoxid-Schweifelsäure aus den Benzinen entfernten Anteile mit den Oktazenzahlen, dann erkennt man, daß diese nicht ausschließlich vom Olefingehalt abhängen.

Von Wichtigkeit sind die in den Reaktionsprodukten der Eisen-Mitteldrucksynthese enthaltenen Syntholartigen organischen Verbindungen. Auch ihre Menge und Art ist je nach den Arbeitsbedingungen eine sehr verschiedene. Tafel 30 bringt Säure-, Ester-, Verseifungs- und Hydroxylzahlen einiger Syntheseprodukte.

Tafel 30.

Sauerstoff enthaltende Anteile der flüssigen Kohlenwasserstoffe.

| Katalysator                            | Siedebereich | SZ  | EZ   | VZ   | OH-Z |
|--|--------------|-----|------|------|------|
|  |              |     |      |      | °C   |
| Fe 1/4% K <sub>2</sub> CO <sub>3</sub> | 50 - 180     |     |      |      |      |
| Fe " "                                 | über 180     | 0,2 | 0,2  | 0,5  | 2,3  |
| Fe 1% K <sub>2</sub> CO <sub>3</sub>   | über 180     | 1,8 | 8,1  | 9,9  | 7,0  |
| Fe-Kieselgur                           |              |     |      |      |      |
| 1% K <sub>2</sub> CO <sub>3</sub>      | 50 - 180     | 7,4 | 15,0 | 16,4 |      |
| Fe-Kieselgur                           | über 180     | 0,1 | 2,0  | 2,1  |      |
| 1% K <sub>2</sub> CO <sub>3</sub>      |              |     |      |      |      |

Die Tafel zeigt, daß bei der Synthese neben geringen Mengen an freien Säuren größere Mengen an Estern und Alkoholen erzeugt werden können, und hierbei handelt es sich nicht nur um niedrigmolekulare im Benzin vorkommende, sondern auch um höhermolekulare über 180° siedende Ester und Alkohole. Die Bildung der letzteren wird durch die Alkalisierung des Eisen-Katalysators stark begünstigt.

Beim Waschen des am Eisen-Kieselgur-Katalysator erhaltenen Gesamtprodukts mit 30%iger Chlorcalcium-

Lösung gingen 2,5 % in die wässrige Lösung, beim darauf folgenden Waschen mit Natronlauge weitere 0,8 %.

Die Elementaranalysen der an drei verschiedenen Eisen-Katalysatoren entstandenen Gesamtreaktionsprodukte und der bis 180° siedenden Benzine bringt Tafel 31. Die Tafel 31.

Elementaranalysen von Syntheseprodukten.

| Fe-Normalk.  | Gesamtprodukt |       |      | Benzin |       |      |
|--------------|---------------|-------|------|--------|-------|------|
|              | C             | H     | O    | C      | H     | O    |
| Fe - Cu      | 84,60         | 15,16 | 0,24 | 83,94  | 14,97 | 1,09 |
| Fe-Kieselgur |               |       |      |        |       |      |

Zahlen beziehen sich auf nicht gewaschene Produkte. Sie zeigen, daß der Sauerstoffgehalt des niedrigsiedenden Benzins größer ist als der des Gesamtprodukts.

B. Paraffin.

Von den festen und flüssigen Reaktionsprodukten bestehen (nach der Butanonmethode) rund 5 bis 50 % aus festem Paraffin. Das Paraffin ist bei Verwendung wassere stoffreicher Synthesegase und alkaliarmer Katalysatoren weiß bis hellgelblich, bei Verwendung von kohlenoxydreicheren Gasen und Katalysatoren mit einem und mehr Prozent Kaliumkarbonat gelb bis gelblichbraun. Die färbenden Substanzen können von Eisen bzw. Eisensalzen herrühren, im allgemeinen sind es jedoch geringe Mengen eines höher siedenden Öles, das durch Extraktion entfernt oder durch Hydrierung farblos gemacht werden kann.

Die Schmelzpunkte der Paraffine erstrecken sich

über den gesamten Bereich der bekannten Paraffine. Das Gesamtprodukt enthält besonders hoch schmelzende Anteile, so daß es erst bei verhältnismäßig hohen Temperaturen klar schmilzt. Im Schmelzpunkttröhrchen trat Meniskusbildung bei einem mit Butanon von flüssigen Kohlenwasserstoffen befreiten, an einem Katalysator mit  $1/4\% K_2CO_3$  erhaltenen Paraffin bei  $80^\circ$  und bei einem an einem Katalysator mit  $1\% K_2CO_3$  erhaltenen Paraffin bei  $104^\circ$  ein.

(1% K<sub>2</sub>CO<sub>3</sub>)

Von einem an einem Eisen-Mittelgur-Katalysator erhaltenen Paraffin waren 50 % in siedendem Äther löslich. Das mit Methylalkohol wieder ausgefallte Produkt hatte im Schmelzpunkttröhrchen einen Endschmelzpunkt von 66 bis  $70^\circ$ .

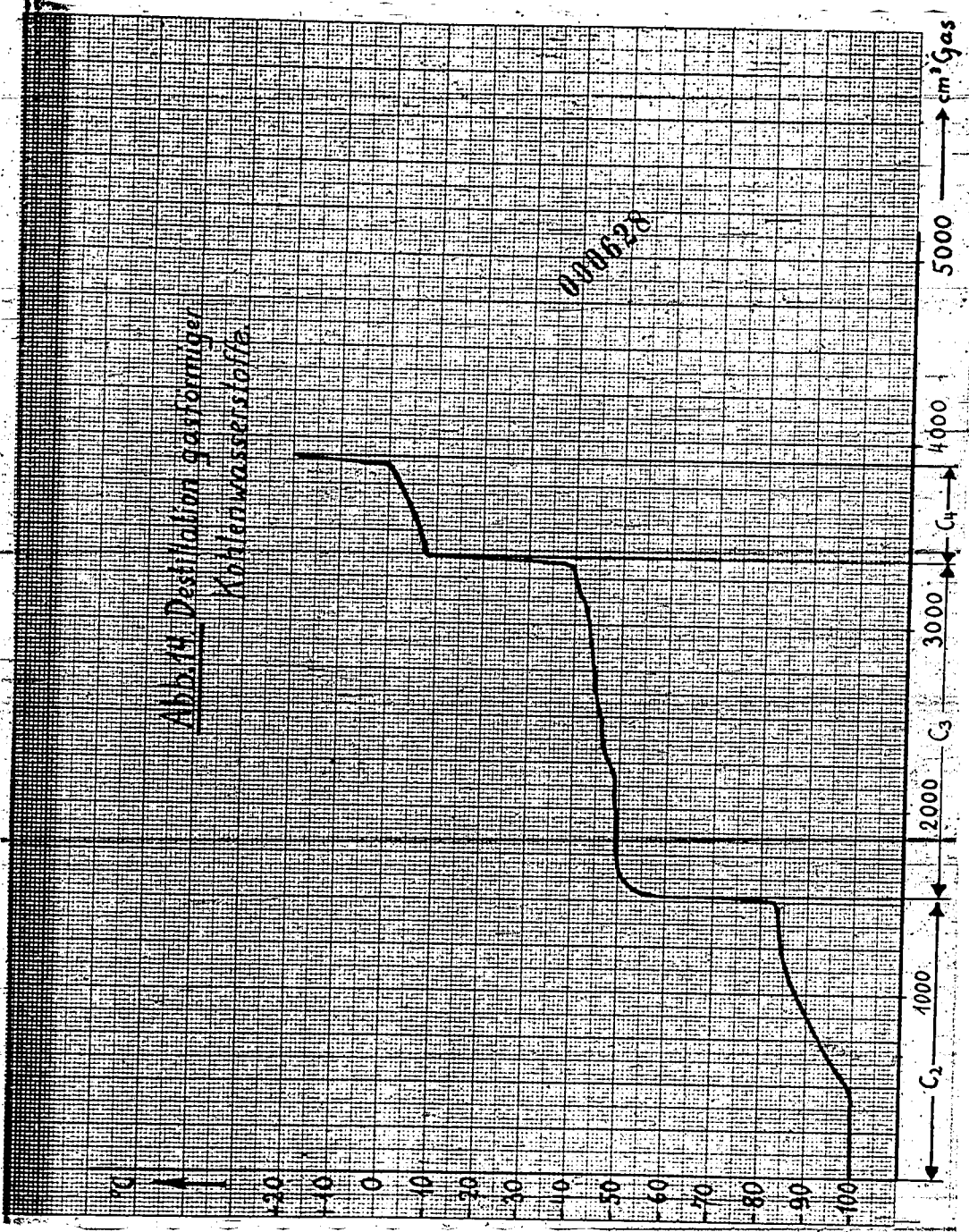
41 % waren in Äther unlöslich (24 stündige Extraktion im ~~aber in niedrigen Herden~~ Sowhlet) löslich. Sie hatten einen Endschmelzpunkt von 90 bis  $104^\circ$ . Der Rest von 9 % der in Hexan unlöslich war, hatte einen Endschmelzpunkt von  $\geq 122^\circ$ .

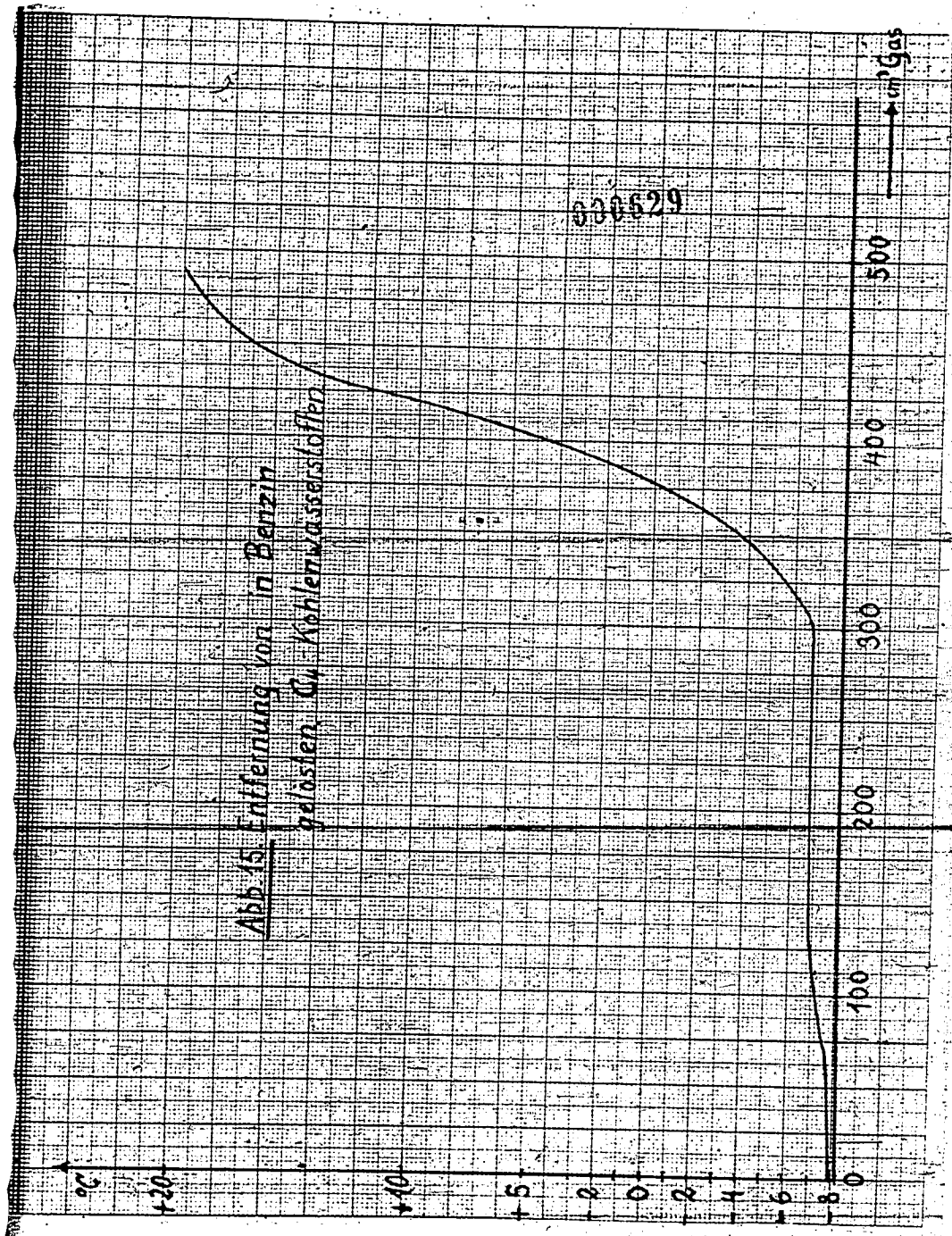
Das durch Extraktion aus dem Eisen-Katalysator gewinnbare sog. Kontaktparaffin ergab nach einer fraktionsierten Extraktion in siedendem Benzol unlösliche und in siedendem Toluol lösliche, bei etwa  $126^\circ$  schmelzende Anteile.

#### C. Gasol.

Wie die Tafel 28 zeigte, bestehen 10 bis 30 % der Reaktionsprodukte der Synthese aus Gasol ( $C_3+C_4$ )-Kohlenswasserstoffen. Außerdem entsteht bei der Eisen-Mitteldruck-Synthese auch Äthylen. Abb. 14 und Abb. 15 bringen Ergebnisse von in unserem Institut von F. Weinrotter ausgeführten Tieftemperaturdestillationen. Zur Gewinnung der gasförmigen Reaktionsprodukte wurde das gesamte Endgas

Abb. 14. Destillation gärtnerischer  
Kümmelwasserstoffe





0006798

eines Versuches (Fe mit 1 %  $K_2CO_3$ ) durch eine mit flüssiger Luft gekühlte Vorlage geleitet. In der Vorlage kondensierten sich das Benzin und mit Ausnahme eines Teils des Methans sämtliche gasförmigen Kohlenwasserstoffe. Die  $C_2$  bis  $C_4$ -Fraktion einer Teilprobe der bis auf Zimmertemperatur abdestillierten Gase entspricht Abb. 14 (Destillation I). Das in der Vorlage zurückbleibende Benzin enthielt noch beträchtliche Mengen an  $C_4$ -Kohlenwasserstoffen gelöst. Sie wurden durch Destillation entfernt. Die hierbei auftretende  $C_4$ -Fraktion zeigt die Abb. 15. (Destillation II). Die Anwesenheit von Isobutylein wurde bei beiden Destillationen nicht nachgewiesen.

Tafel 32 bringt eine Zusammenfassung der Ergebnisse der Tieftemperaturdestillation. Die I. Destillation wurde auf die der II. Destillation entsprechende Gasolmenge umgerechnet. Der Anteil der ungesättigten Kohlenwasserstoffe der einzelnen Fraktionen wurde mit Mercurienstrat bestimmt.

Tafel 32.

Bei der Synthese anfallende  $C_2$  bis  $C_4$ -Kohlenwasserstoffe.

|          | I. Destill.<br>ccm | II. Destill.<br>ccm | Gew. % d. $C_2 +$<br>Gasol-Fraktion |
|----------|--------------------|---------------------|-------------------------------------|
| Athylen  | 2360               |                     | 15,8                                |
| Athan    | 1850               |                     | 13,1                                |
| Propylen | 3480               |                     | 34,9                                |
| Propan   | 1130               |                     | 11,9                                |
| Butylen  | 1010               | 353                 | 17,9                                |
| Butan    | 370                | 87                  | 6,4                                 |

000630

Von der C<sub>2</sub>-Fraktion bestanden 55 Gew.% aus Athylen + von der Gasolfraktion bestanden 74 % aus ungesättigten Kohlenwasserstoffen. Je Ncbm waren bei diesem Versuch entstanden: 5,2 g Athylen, 11,1 g Propylen, und 6,0 g Butylen.

Menge und Zusammensetzung der gasförmigen Kohlenwasserstoffe ist von der Art des Katalysators und der Reaktionstemperatur abhängig. Tafel 33 bringt Ausbeuten an Gasolkohlenwasserstoffen mit ihrem Gehalt an ungesättigten Bestandteilen unter verschiedenen Synthesebedingungen. Sämtliche Versuche beziehen sich auf ein Synthesegas mit 3 CO : 2 H<sub>2</sub> und einen Synthesedruck von 15 at.

Tafel 33.

Ausbeuten an Gasolkohlenwasserstoffen an verschiedenen Katalysatoren. \*)

| Katalysator   | Temp.<br>°C | g Gasol<br>je Ncbm Idealg. | % des Gasols<br>unges. KW. |
|---|-------------|----------------------------|----------------------------|
| Fe, NH <sub>3</sub> ges., O <sub>2</sub> K <sub>2</sub> CO <sub>3</sub> | 235         | 30                         | 70                         |
| Fe, Na <sub>2</sub> CO <sub>3</sub> ges., "                             | 235         | 28                         | 80                         |
| Fe, " 1/4% "  | 235         | 26                         | 76                         |
| Fe, " 1 % "   | 235         | 17                         | 80                         |
| Fe, " 1/4% "  | 270         | 46                         | 47                         |
| Fe-Kieselgur 1 %  | 235         | 36                         | 35                         |

An den mit Ammoniak oder Soda gefüllten Eisen-Katalysatoren betrug bei einer Synthesetemperatur von 235°

\*) Die Menge der bei der Synthese herstellbaren Gasolkohlenwasserstoffe kann noch erhöht werden. Augenblicklich im Gang befindliche Arbeiten befassten sich mit diesem Thema.

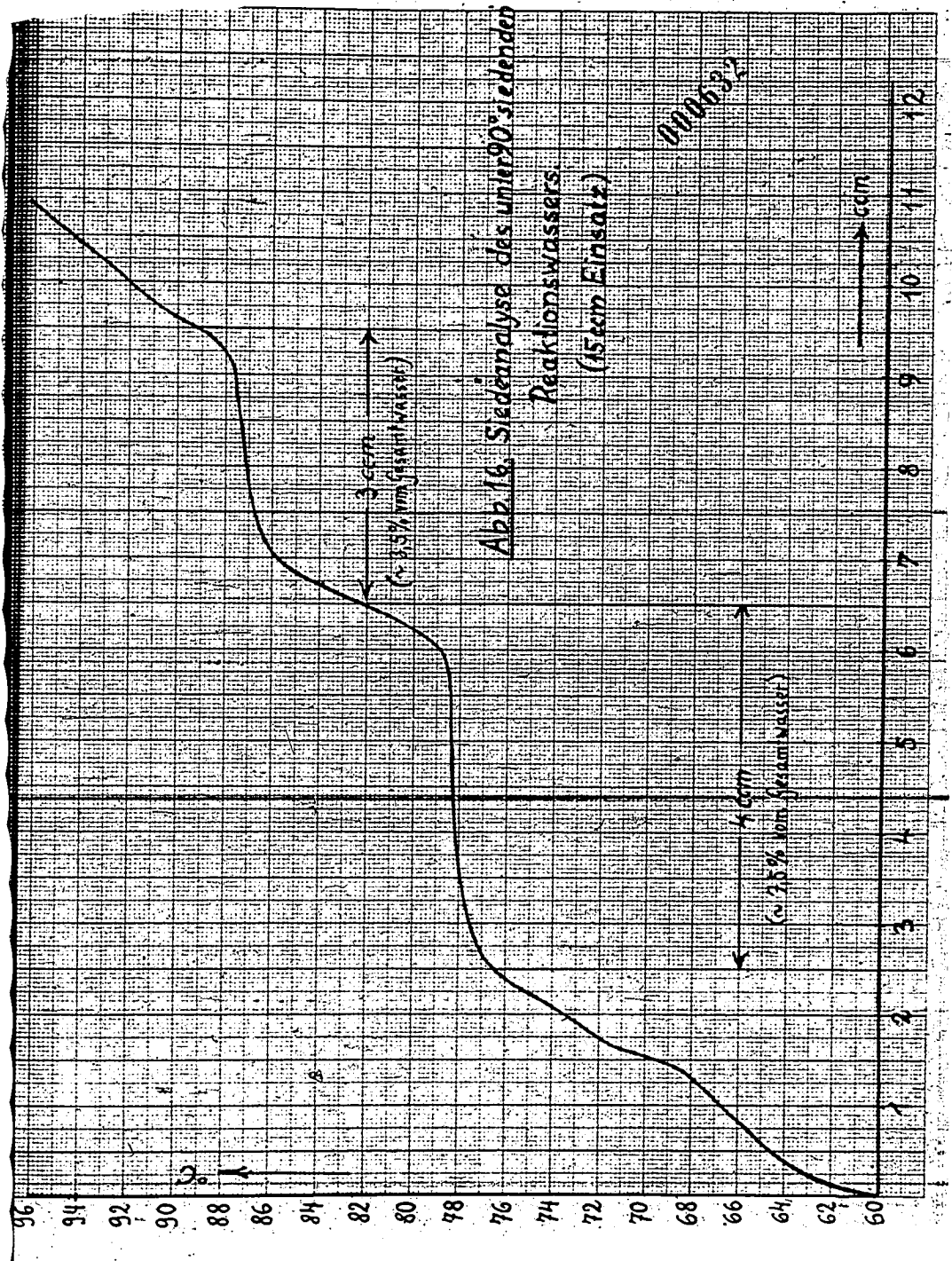
die Menge der je Nbm Maxxi Idealgas anfallenden Gasol-Kohlenwasserstoffe 20 - 30 g und ihr Gehalt an ungesättigten Bestandteilen 70 - 80 %. Bei höheren Reaktionstemperaturen stieg die Menge der Gasol-Kohlenwasserstoffe, es wurde aber auch ihre Hydrierung begünstigt, so daß der je Nbm Idealgas entstandene Menge an ungesättigten Kohlenwasserstoffen auch bei einer Reaktionstemperatur von 270° rd. 20 g betrug.

Die an Eisen-Kieselgur-Katalysatoren entstandenen Gasol-Kohlenwasserstoffe unterschieden sich mengenmäßig wesentlich von den an kieselgurfreien Katalysatoren erhaltenen. Ebenso wie dies beim Benzin der Fall war, ist auch bei dem am Kieselgurkatalysator entstandenen Gasol der Schalt an ungesättigten Kohlenwasserstoffen ein geringer.

#### D. Sauerstoffhaltige Produkte.

##### 1. Das Reaktionswasser.

Am Eisen-Kieselgur-Katalysator entstanden bei 235° (kohlenoxydreiches Gas, 15 at) je Nbm rd. 13 g wässrige Produkte. Sie enthielten Säuren (Nachweis von Ameisensäure negativ, Nachweis von Essigsäure positiv), Aldehyde (Nachweis mit fuchinschweißiger Säure positiv) und Ester (auf Grund einer Verseifung je Ltr. Reaktionswasser als Essigsäure-Athylester gerechnet 5,2 g) sowie Alkohole (Methylalkohol wenig, Athylalkohol durch Siedepunkt und Jodoformreaktion nachgewiesen). Das Reaktionswasser wurde mit Hilfe einer Mikrokolonne mit rotierendem Band einer Destillation unterworfen. Abbildung 16 bringt die Siedeanalyse der unter 90° siedenden Anteile (28 %).



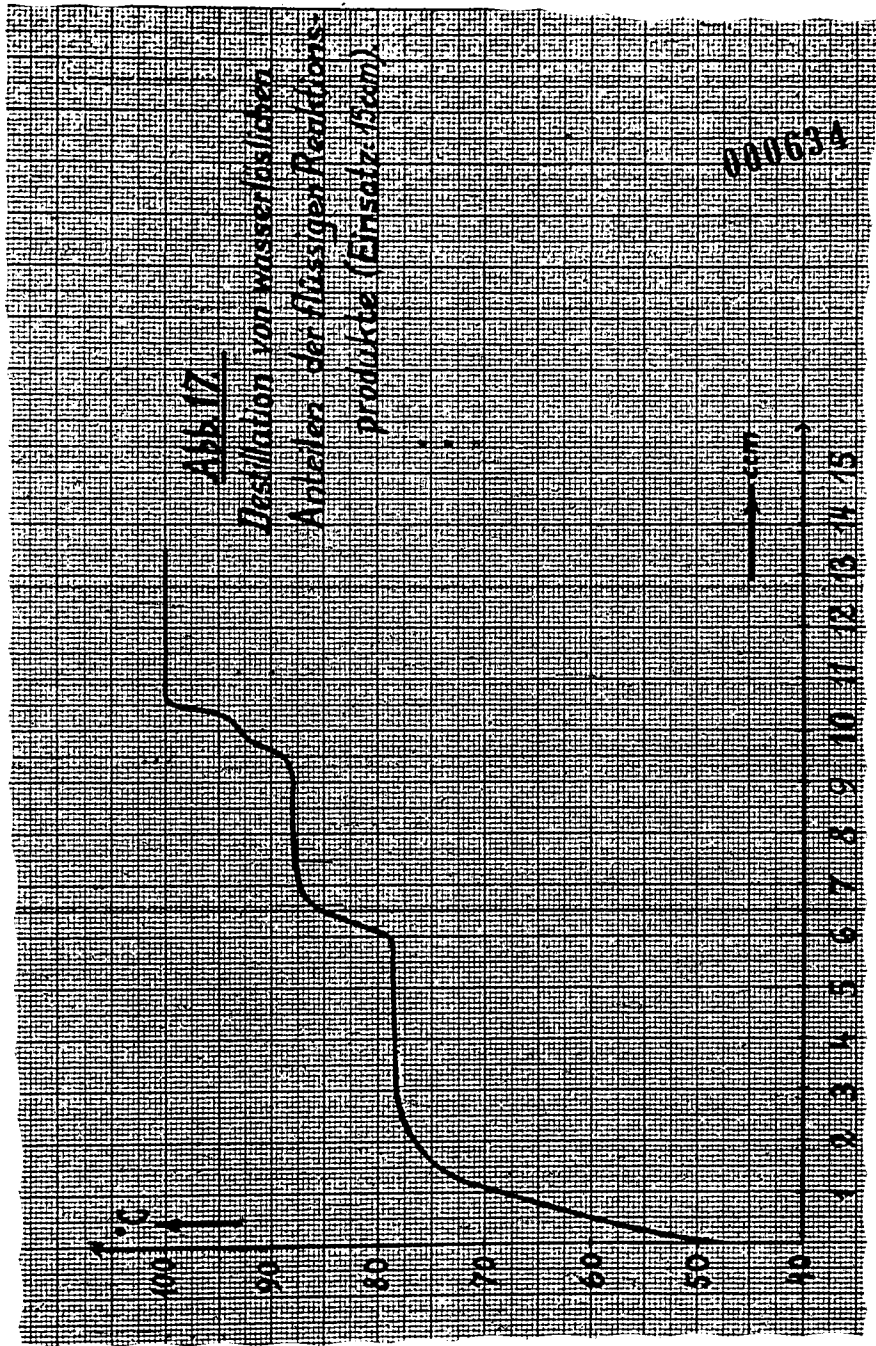
des gesamten Reaktionswassers).

Die Siedekurve zeigt sehr deutlich die Athylalkoholfraktion. Sie entspricht 7,5 % des gesamten Reaktionswassers.

## 2. Die Kohlenwasserstoffe.

Tafel 39 hat gezeigt, daß sowohl die unter 180° als auch die oberhalb 180° siedenden Reaktionsprodukte je nach den Arbeitsbedingungen mehr oder minder große Mengen an syntholartigen Produkten enthalten. Neben organischen Säuren wurden Ester und Alkohole nachgewiesen. Untersuchungen über die Zusammensetzung der höheren Alkohole und Ester sind im Gange, sie werden besonders veröffentlicht.

Im folgenden seien noch kurz die aus einem (mit Eisenkatalysator erhaltenen) bis 180° siedenden Benzin mit 30 %iger Chlorkalziumlösung ausschüttelbaren Produkte (5,5 % des Benzins) behandelt. Abbildung 17 bringt eine Destillation (entsprechend Abbildung 16) der bis 95° abdestillierenden wässrigen Lösung.



E. Stadtgas.

Mehrfach ist die Frage aufgetaucht, ob es möglich wäre, bei einem Mangel an Kokereigas aus hilfswise den Koks zur Herstellung eines geeigneten Stadtgases heranzuziehen. Da das Wassergas einen zu geringen Heizwert hat, wäre es notwendig, auf dem Wege der Synthese die für die Erreichung des Heizwertes erforderlichen Kohlenwasserstoffe zu erzeugen. Mit Hilfe von Nickel- oder Kobaltkatalysatoren ist dies ohne weiteres möglich. Es sollte nun untersucht werden, ob die Herstellung eines derartigen Gases auch auf dem Wege der Eisen-Mitteldrucksynthese gelingt. Bei der Normaldrucksynthese konnte an Eisenkatalysatoren ein Gas mit einem Heizwert mit mehr als 4000 kcal je Kubm nicht erzeugt werden.

Auf Grund der Richtlinien<sup>19)</sup> für die Beschaffenheit eines Gases sollen folgende Eigenschaften erfüllt werden:

I. Brenneigenschaften:

- 1.) Verbrennungswärme (oberer Heizwert) = 4 200 bis 4 600 kcal/kcm.
- 2.) Dichteverhältnis (Luft = 1) = 0,4 bis 0,5.
- 3.) Gasdruck größer als 60 mm.
- 4.) Ottzahl (Flackerpunkt) 60 bis 100.

II. Reinheit:

- 1.) Sauerstoff weniger als 0,5 %.
- 2.) Schwefelwasserstoff weniger als 2 g / 100 cbm.
- 3.) Ammoniak weniger als 0,3 g / 100 cbm.
- 4.) Naphthalin 5 bis 10 g / 100 cbm.
- 5.) Organischer Schwefel weniger als 25 g / 100 cbm,  
Cyanwasserstoff weniger als 15 g / 100 cbm,  
Stickoxyd 0,2 cbm / cbm.
- 6.) Fraktisch frei von Feer.

### III. Feinreinigung:

Durch weitere Herabsetzung der unter Ziffer 2 angeführten Zahlen durch Feinreinigungsverfahren können evtl. noch auftretende Korrosionen wesentlich herabgesetzt werden.

Die Punkte I - III sind keine Normen, sondern Richtlinien, deren Einhaltung im Interesse eines einwandfreien Arbeitens für Gasgeräte allen Werken empfohlen wird. Diese Richtlinien enthalten nicht mehr die früher üblichen Begrenzungen ~~sow~~ bezüglich des Gehaltes an inertem Bestandteilen.

Brückner und Zeissbach<sup>20)</sup> haben vorgeschlagen, Propan, wie es beispielsweise bei der Synthese anfällt, dem Wassergas zuzumischen. Sie haben gezeigt, daß Propan-Wassergasmische mit einem Propangehalt von 6 - 7 1/2 % den gewünschten Heizwert von 4 200 - 4 500 kcal/Ncbm ergeben. Ein derartiges Gas hat allerdings ein zu hohes Dichteverhältnis (0,61 - 0,63) und eine zu niedrige Ottenzahl (40 - 46).

Mischt man im Gegensatz hierzu die gesamten gasförmigen Kohlenwasserstoffe des Synthese-Endgases, das nach Entfernung der flüssigen Reaktionsprodukte und des größten Teiles der Kohlensäure C<sub>1</sub> - C<sub>4</sub> - Kohlenwasserstoffe <sup>Gas-Kohlenstoff-Kohlenoxydgemischen</sup>, enthalt, mit Wasserstoff (der durch vollständige oder teilweise Konvertierung von Wassergas erzeugt wird), dann kann ein den Richtlinien entsprechendes Gas hergestellt werden. Eine Erzeugung von Stadtgas gelingt auch unabhängig von einer Benzinproduktion durch Umsetzung eines Kohlenoxyd-Wasserstoff-Gemisches 1 : 3 an Eisenkatalysatoren bei Drücken von etwa 10 at.

000637

- 80 -

Um die Bildung höherer Kohlenwasserstoffe möglichst zu vermeiden, wurde mit einem alkalifreien mit Ammoniak gefüllten Eisenkatalysator gearbeitet. Formierung und Durchsetz entsprachen den üblichen Bedingungen. Die Temperatur betrug zu Anfang  $235^{\circ}$ , nach einem Monat  $250^{\circ}$ , nach zwei Monaten  $265^{\circ}$  und nach drei Monaten  $270^{\circ}$ . Während der gesamten Betriebsdauer wurde ein Gas konstanter Zusammensetzung erhalten. Tafel 34 bringt die Zusammensetzung des Anfangs- und des Endgases dieser Synthese.

Tafel 34.

Herstellung eines den Richtlinien entsprechenden Gases.

Katalysator: alkalifreier Eisenkatalysator,

Synthesegas:  $\text{CO} : \text{H}_2 = 1 : 3$ ,

Druck: 10 at,

Temperatur:  $235 - 270^{\circ}$ .

|             | CO <sub>2</sub> | SiO <sub>2</sub> | O <sub>2</sub> | CO   | H <sub>2</sub> | KW   | CZ  | N <sub>2</sub> |
|-------------|-----------------|------------------|----------------|------|----------------|------|-----|----------------|
| Anfangsgas: | 0,0             | 0,0              | 0,0            | 23,5 | 73,5           | 0,0  | -   | 3,0            |
| Endgas:     | 10,9            | 0,2              | 0,1            | 1,0  | 69,8           | 13,1 | 1,8 | 4,9            |

Dieses Reaktionsgas hat einen Heizwert von 4154 kcal/Mcbm (Junkers-Kalorimeter), eine Dichte von 0,425 (nach Bunsen-Schilling) und eine Ottzahl (Zuckerpunkt) von 70 - 71. Beim Arbeiten mit einem etwas stickstoffärmeren Gas kann der Heizwert ohne Beeinträchtigung der übrigen Eigenschaften um etwa 100 kcal erhöht werden.

Das Gas entspricht damit und weiterhin wegen seiner auch für die Synthese notwendigen Feinreinigung den aufgestellten Richtlinien.

Nach unseren neueren Erfahrungen dürfte als Katalysator für die Herstellung von Stadtgas der zur Bildung von gasförmigen Kohlenwasserstoffen neigende Eisen-Kieselgurkatalysator besonders geeignet sein.

IV. Teil: Allgemeine Probleme.

A. Synthesegasherstellung.

Bei der Mitteldrucksynthese an Eisenkatalysatoren gab, wie an anderer Stelle gezeigt wurde, ein Synthesegas, das Kohlenoxyd und Wasserstoff im Verhältnis 3 : 2 enthielt, die besten Ergebnisse.

In der Versuchsanlage unseres Instituts wurde dieses Gasgemisch in einem normalen Wassergasgenerator<sup>21)</sup> erzeugt, indem gemeinsam mit dem Wasserdampf Kohlensäure über den glühenden Koks geleitet wurde. Eine derartige Arbeitweise dürfte sich unzweckmäßig auch bei der großtechnischen Durchführung des Verfahrens empfehlen, da bei der Synthese am Eisenkatalysator weit mehr an Kohlensäure gebildet wird, als zur Herstellung des Synthesegases erforderlich ist. Aus einem cbm Synthesegas mit einem CO - H<sub>2</sub>-Verhältnis 3 : 2 entstehen nämlich bei normalem Umsatz rd. 250 Ltr. Kohlensäure, während nach

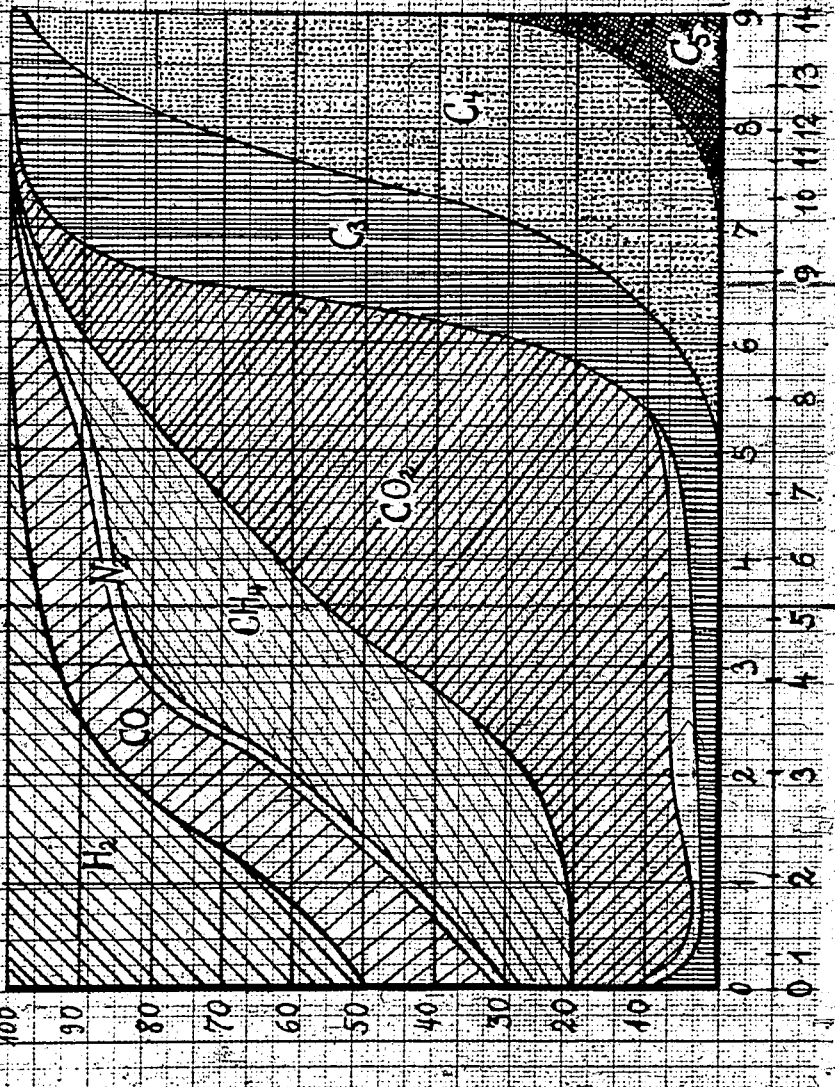
$$5 \text{ C} + 4 \text{ H}_2\text{O} + \text{CO}_2 = 6 \text{ CO} + 4 \text{ H}_2$$

---

je cbm kohlenoxydreiches Gas nur 100 Ltr. Kohlensäure notwendig sind. Schon eine teilweise Auswaschung der Kohlensäure aus dem Endgas und Rückführung derselben in den Generator würde den gegenüber normalem Wassergas erhöhten Kohlenoxydbedarf voll decken.

Die Abtrennung der Kohlensäure kann auch mit aktiver Kohle geschehen. Herbert und Rueding<sup>22)</sup> berichteten kürzlich über eine derartige Verfahrensweise für die Trennung der Kohlensäure vom Gasol der Fischer-Tropsch-Synthese. Bei dieser Synthese entsteht (an Zobaltkatalysatoren) zwar praktisch keine Kohlensäure, falls jedoch

Abb. 8. Analyse des AD mit dem  
beladenen Superion-Auktikolle beim Ausdampfen  
mit Wasserdampf (Momentanwerte nach 1, 2, 34 s u. min.)  
nach Herder und Ring.

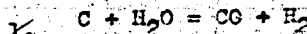


ein durch teilweise Konvertierung von Wassergas hergestelltes kohlensäurehaltendes Synthesegas angewandt wird, dann erhält man infolge der bei der Synthese ein-tretenden Kontraktion des Gases ein Reaktionsgas mit 35 - 45 % Kohlensäure. Wird die mit dem Reaktionsgas gesättigte aktive Kohle entgegen der Beladungerichtung ausgedrückt, dann fallen die einzelnen Gase nacheinander an (wie Abbildung 18 zeigt) und es können Methan und Kohlensäure weitgehend von den C<sub>2</sub>- und C<sub>4</sub>-Kohlenwasserstoffen getrennt werden.

Würde man gleichzeitig mit der Kohlensäure des Reaktionsgases das in ihm enthaltene Methan (5 - 10 %) und die nicht umgesetzten Reste an Kohlenoxyd und Wasserstoff (zusammen 10 - 15 %) ganz oder teilweise in Gemisch mit Wasserdampf noch einmal durch den Generator führen, dann würde diese nochmalige Umsetzung zu einer weiteren Annäherung der Syntheseausbeuten an die theoretisch möglichen (208 g Kohlenwasserstoffe/Mcbm Idealgas) führen.

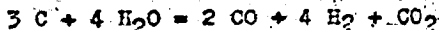
Im folgenden sind die Umsetzungen gegenübergestellt, die theoretisch ablaufen bei der Erzeugung von Wassergas, Mischgas (CO : H<sub>2</sub> = 1 : 2) und kohlenoxydreichem Gas (CO : H<sub>2</sub> = 3 : 2), wie es für die Mitteldrucksynthese an Eisenkatalysatoren gebraucht wird.

#### 1. Wassergas.



Je cbm Wassergas werden (ohne Berücksichtigung des Wirkungsgrades des Generators !) verbraucht: 267 g C, 500 Liter H<sub>2</sub>O-Dampf und 650 kcal.

2. Wasserstoffreiches Wasserstoff.



Die Gleichung stellt die Summenformel dar für eine primäre Herstellung von Wassergas und eine teilweise Konvertierung derselben zu Kohlenstoff und Wasserstoff.

Es werden theoretisch verbraucht je cbm Gas: 269 g C, 670 Ltr. H<sub>2</sub>O-Dampf und 570 Kcal.

3. Kohlenoxydreiches Synthesegas.



Zur Herstellung von 1 cbm eines derartigen Gases sind erforderlich: 268 g C, 400 Ltr. H<sub>2</sub>O-Dampf, 100 Ltr. CO<sub>2</sub> (von der Synthese) und 690 Kcal.

Für die Herstellung aller drei Gase benötigt man somit theoretisch je cbm gleich viel Kohlenstoff.

Bei Verwendung eines Dellwig-Fleischer-Generators sind je cbm Wassergas etwa 550 g Koks aufzuwenden, also das Doppelte der ohne Berücksichtigung der Wärmestreuung theoretisch notwendigen Kohlenstoffmenge. Da Temperatur und Wärmebedarf bei der Herstellung des kohlenoxydreichen Gases ebenso hoch sind wie bei der Wassergasherstellung, dürfte der je cbm zu erzeugendes Gas notwendige Koksbedarf ebenfalls der gleiche bleiben.

Die Herstellung des kohlenoxydreichen Gases im 100 cbm Stundenleistung besitzenden Wassergasgenerator des Instituts verlief bereits durch mehrere Jahre ohne Störungen. Die Zusammensetzung des Synthesegases war beiziehungsweise die folgende:

2 % CO<sub>2</sub>, 55 % CO, 37 % H<sub>2</sub> und 6 % N<sub>2</sub>.

Bei manchen Versuchen wurde zur genaueren Kontraktions-

messung (Bestimmung des Anstieges des Stickstoffgehaltes während der Synthese) etwas mehr Stickstoff zugesetzt.

Die Reinigung des Gases wurde wie bei wasserstoffreichem Gas durchgeführt.

Ein anderer Weg zur Herstellung des gewünschten Synthesegases ist bekanntlich die Vergasung von Koks oder Kohlen unter Zugabe von Sauerstoff. Es erübrigt sich, an dieser Stelle hierauf näher einzugehen.

#### B. Raum-Zeitausbeuten und apparative Fragen.

Bei den meisten beschriebenen Laboratoriumsvor suchen wurden als Reaktionsrohre Druckrohre mit einer lichten Weite von 12 - 13 mm verwendet. Der Katalysator wurde in einem 30 cm langen Eisen- oder Kupferschiffchen gleichmäßig verteilt und das Schiffchen in die Mitte des (zum besseren Ablauf des sich bildenden Paraffins schräg angeordneten) Rohres geschoben. Eine normale Katalysatorkügelung enthielt 10 g Eisen; dies entspricht bei einem zweck-mässig hergestellten sog. "Normalkatalysator" 15 - 16 ccm.

Der leere Inhalt des Rohres betrug in der Reaktionszone (30 cm Länge) ca. 35 ccm. Von diesem 35 ccm fassenden Reaktionsraum war nach Berücksichtigung des Raumes, den das Schiffchen einnimmt, rd. die Hälfte vom Katalysator erfüllt, während die obere Hälfte des Raumes leer blieb. Die ~~unbekannt~~ schematische Zeichnung I der Abbildung 19 soll die Verhältnisse veranschaulichen.

Werden ~~zusammen~~ über einen derart angeordneten Katalysator unter den Bedingungen der Synthese je Zeit-einheit verschiedene Synthesegasmengen geleitet, dann

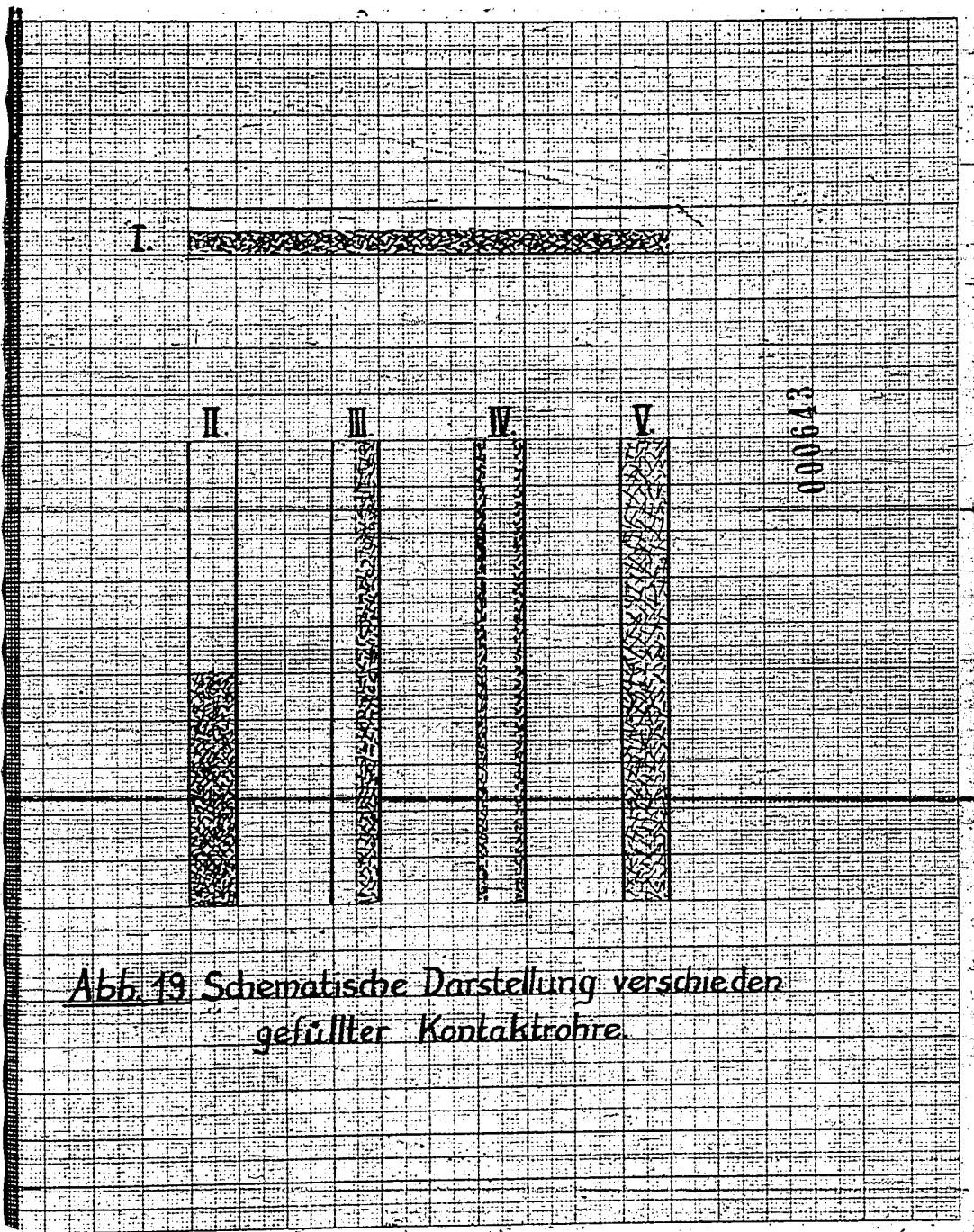
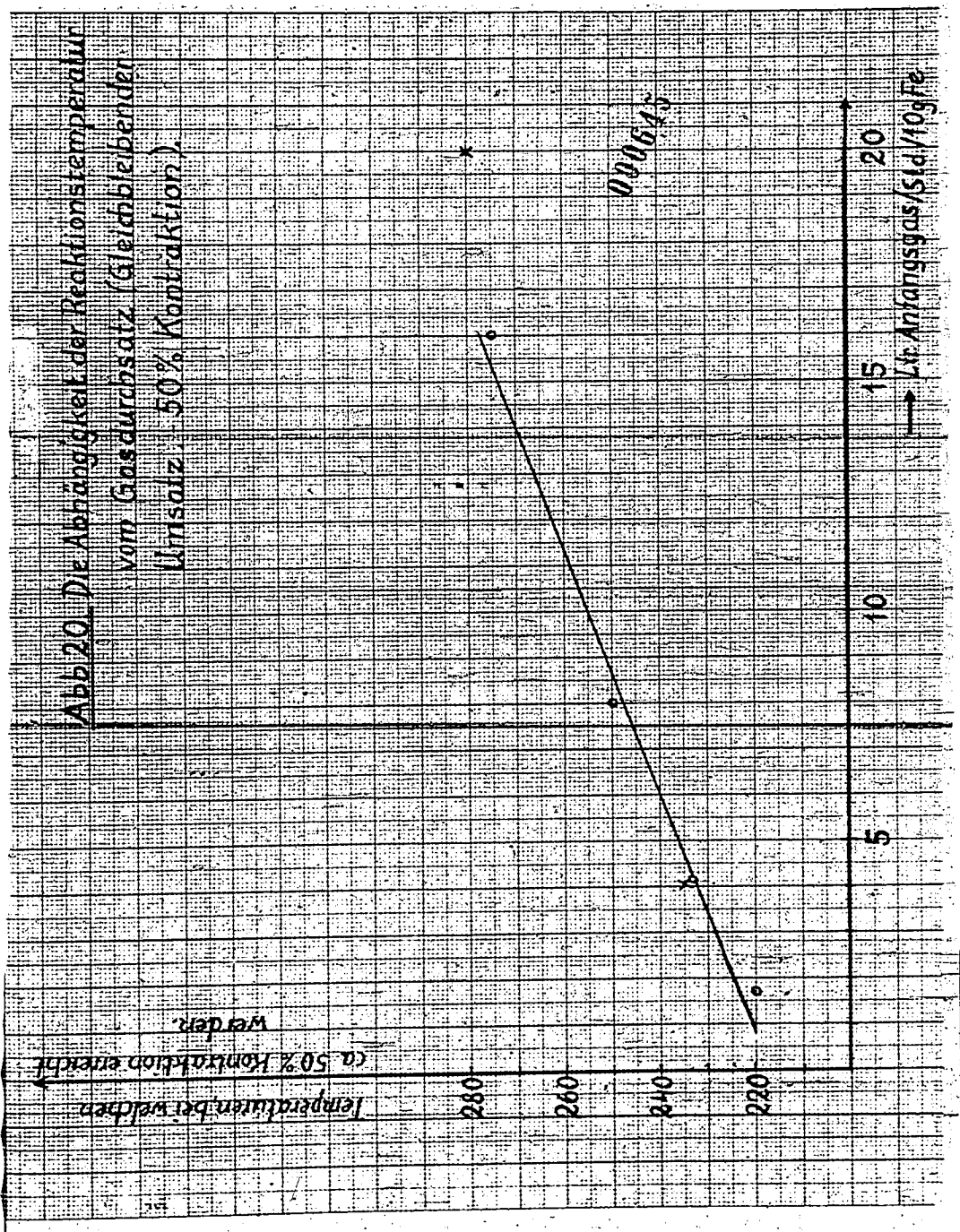


Abb. 19 Schematische Darstellung verschieden gefüllter Kontaktrohre

muss die Reaktionstemperatur umso höher gewählt werden, je mehr Gas in der Zeiteinheit einzusetzen ist. So wurden nach Abbildung 20 Kontraktionswerte von 50 % bei einem stündlichen Durchsatz von 1,7 Ltr. (bezogen auf 1 atm) bei einer Temperatur von 220° erhalten, bei 4,1 Ltr./Std. bei 233°, bei 8 Ltr./Std. bei 250° und bei 16 Ltr./Std. bei 275°. Bei einem anderen Versuch wurde bei 4 Ltr./Std. bei 235° und bei 20 Ltr./Std. bei 280° eine Kontraktion von 50 % gemessen.

Für die Lebensdauer des Katalysators, für die Höhe der Ausbeuten an höheren Kohlenwasserstoffen und für die technische Durchführung der Synthese ist es vorteilhaft, möglichst lange bei niedriger Temperatur zu arbeiten, für die Raum-Zeitausbeuten wäre es andererseits günstiger, bei höheren Temperaturen und größeren Durchsätzen die Synthese zu betreiben. Da bei stündlichen Gasdurchsätzen von 10 - 20 Ltr. je 10 g Eisen bei der großtechnischen Durchführung der Synthese die Frage der Ableitung der Reaktionswärme zu Schwierigkeiten führen würde und eine Überhitzung des Katalysators die Bildung von Kohlenstoff und damit ein schnelles Absinken der Aktivität des Katalysators mit sich bringt, wurde im allgemeinen mit einer Strömungsgeschwindigkeit von 4 Ltr. Synthesegas je Stunde und je 10 g Eisen gearbeitet. Die Katalysatoren brachten dann in der der Abbildung 19 - Zeichnung 1 entsprechenden Anordnung durch Versuchssperioden von 1 - 2 Jahren ohne Regeneration des Katalysators einen befriedigenden Umsatz.



Auch bei der Eisen-Mitteldrucksynthese hat es sich gezeigt, daß mit steigendem Druck der Gasdurchsatz, also die je Gewichtseinheit Katalysator umgesetzte Gewichtseinheit Gas, nicht erhöht werden kann. An der Oberfläche des Katalysators sich abspielende Vorgänge (Transport der Reaktionspartner und Reaktionsprodukte zum bzw. vom Katalysator u.a.m.) sind für die Reaktionsgeschwindigkeit maßgebend, Vorgänge, die bei Erhöhung des Druckes nicht beschleunigt werden.

Wird das Reaktionsrohr senkrecht gestellt (Abbildung 19, schematische Zeichnung 2), dann rutscht der Katalysator, der nach Zeichnung 1 auf 30 cm Schichtlänge verteilt war, auf 10 - 15 cm zusammen und das Gas, das früher verhältnismäßig lange über dem Katalysator verweilte, strömt nun viel rascher durch die zwischen den Katalysatorkörnern befindlichen engen Kanäle. Der leere Raum zur Verfügung stehende Raum im Bereich des Katalysators verhält sich bei den beiden schematischen Zeichnungen 1 und 2 ungefähr wie 4 : 1. Unter Berücksichtigung der in Abbildung 20 gebrachten Abhängigkeit des Gasdurchsatzes von der Temperatur ist zu verstehen, daß beim Arbeiten nach Zeichnung 2 nicht gleich günstige Ergebnisse erzielt werden können wie nach Zeichnung 1. Als erschwerend kommt hinzu, daß das Volumen des Katalysators infolge der Aufnahme von Reaktionsprodukten und auch von Kohlenstoff eine Zunahme erfährt, was infolge der damit verbundenen Verengung der zwischen dem Katalysator befindlichen Hohlräumen zu einer weiteren Verkürzung der Aufenthaltsdauer der Gase führt.

Da man in der Technik wahrscheinlich auf senkrechte angeordnete Reaktionsräume nicht verzichten möchte, wurde eine Lösung dieses Problems zunächst nach Art der schematischen Zeichnungen 3 und 4 gesucht. Die durchbrochenen Linien entsprechen perforierten Blechen. Bei Fall 3 trennt ein perforiertes Blech das Reaktionsrohr in zwei gleiche Teile, bei Fall 4 befindet sich im Reaktionsrohr zentrisch eingesetzt ein zweites Rohr aus perforiertem Blech. Der Katalysator ruht hier zwischen den beiden Rohren. In beiden Fällen entspricht die Schichtlänge, der vom Kontakt erfüllte und der leere Raum den Verhältnissen von Fall 1. Auch die Ergebnisse waren dementsprechend zunächst dieselben. Die perforierten Bleche brachten keine bemerkbare Verlangsamung der Umsetzungen. (Die Formierung des Katalysators war in einem getrennten Apparat durchgeführt und der Katalysator in Kohlensäureatmosphäre umgefüllt worden). Nach einigen Betriebswochen zeigten aber auch die Verfahren 3 und 4 unter gleichen Synthesebedingungen ein Zurückbleiben des Umsatzes gegenüber dem Verfahren nach Zeichnung 1. Der Grund hierfür dürfte darin liegen, daß der Katalysator nach Fall 1 die Möglichkeit hat, sich während der Synthese auszudehnen, während bei Fall 3 und 4 dies nur auf Kosten der zwischen den Katalysatorteilchen befindlichen Hohlräume erfolgen kann.

Bei der schematischen Zeichnung 5 der Abb. 19 wurde die Verwendung eines den Katalysator auflockernenden Zusatzes, beispielsweise von Kieselgur angenommen. Wenn die normale Menge von 10 g Eisen in Verbindung mit 4 g Kieselgur angewandt werden, dann erfüllt dieser Eisen-Kieselgur-Katalysator das Reaktionsrohr (12 bis 13 mm lich-

te Weite) wieder in einer Länge von annähernd 30 cm. Der freie Gasraum ist gegenüber Fall 1 um den von der Kieselgur eingenommenen Raum kleiner, andererseits führt die Auflockerung des Katalysators zu einer beträchtlichen Erhöhung seiner Aktivität. Eine prozentual geringfügige Ausdehnung des Eisens durch Kohlenstoffaufnahme kann sich bei dem Verfahren 5 nicht mehr so ungünstig auswirken wie bei den Fällen 2 bis 4. Ein auf diese Weise bereits mehrere Wochen laufender Versuch (Abb. 11) gibt einen befriedigenden Umsatz.

Es sei im Übrigen darauf hingewiesen, daß die bei den Versuchen 2 bis 4 als störend angegebene Volumvermehrung des Katalysators nicht in allen Fällen beobachtet wurde. So konnte ein mit Ammoniak gefüllter und mit Mischgas bei einer Atmosphäre formierter Eisen-Katalysator in senkrechten Reaktionsrohren im Temperaturbereich von 240 bis 260° durch drei Monate ohne Regeneration mit gutem Umsatz betrieben werden. Versuche zur Klärung dieser Verhältnisse sind noch im Gange.

Bezüglich des Eisen-Kieselgur-Katalysators sei erwähnt, daß die an ihm erzielten Raum-Zeit-Ausbeuten ungefähr denjenigen der Synthesen an Kobalt-Katalysatoren entsprechen. Bei seiner Verwendung können in der Technik ähnliche Apparate Verwendung finden wie bei der Synthese an Kobalt. Auch im Laboratorium wurde in mit Wasser gekühlten Rohren gearbeitet. Die Wasserdampfdrücke sind natürlich den höheren Reaktionstemperaturen höher. Sie liegen je nach der Betriebsdauer bei 30 bis 50 at.

C. Zur Formgebung des Katalysators.

Der zu Anfang der Abhandlung beschriebene mit Natriumkarbonat aus Ferrinitratlösung gefällte Eisen-Katalysator wie auch der mit Ammoniak aus Ferrinitratlösung gefällte Katalysator waren nach dem Trocknen fest und brachen mit glänzendem Bruch. Ihre Festigkeit dürfte auch den Anforderungen der Technik genügen.

Trotzdem wurden auch Versuche ausgeführt, bei welchen die Eisen-Katalysatoren gemahlen und zu Pastillen verpresst wurden. Die schwarzbraune Farbe des körnigen Katalysators geht beim Mahlen in rotbraun über, eine Farbe, welche auch die gepressten Pastillen beibehalten. Es hat sich nun gezeigt, dass die Pastillen nicht immer die alte Aktivität des ursprünglichen Katalysators beibehalten. Es dürfte dies u. a. mit beim Pressvorgang auftretenden Überhitzungen des Pressgutes zusammenhängen, Erscheinungen, die durch den Pressdruck wesentlich beeinflusst werden.

Es wurden Eisen-Katalysator-Pastillen mit sehr guter Aktivität und Lebensdauer, wenn dem zu pressenden Katalysatorpulver Paraffin zugemischt wurde. Hierfür stand synthetisches Paraffin zur Verfügung, das zu feinen Schuppen geschabt worden war.

Tafel 35, Versuch 1 bringt einen Versuch mit Pastillen, denen bezogen auf das Eisen 25 % Paraffin zugesetzt worden waren. Versuch 2 bringt einen Vergleichsversuch ohne Paraffinzusatz. Das Paraffin hemmt den Pyrolysevorgang nicht und kann bereits bei diesem größtentheils wieder gewonnen werden. Die Pastillen blieben auch nach langer Synthesedauer erhalten.

Tafel 35.

Versuche mit zu Pastillen gepresstem Katalysator.

| Betriebs-<br>tage            | Versuch 1       |             | Versuch 2      |             |                |     |     |                |
|------------------------------|-----------------|-------------|----------------|-------------|----------------|-----|-----|----------------|
|                              | Temp.<br>°C     | Kontr.<br>% | Temp.<br>°C    | Kontr.<br>% |                |     |     |                |
| 1                            | 235             | 53          | 234            | 55          |                |     |     |                |
| 2                            | 235             | 54          | 235            | 56          |                |     |     |                |
| 10                           | 235             | 51          | 236            | 54          |                |     |     |                |
| 16                           | 234             | 53          | 236            | 50          |                |     |     |                |
| 20                           | 235             | 52          | 235            | 49          |                |     |     |                |
| 25                           | 235             | 47          | 240            | 48          |                |     |     |                |
| 31                           | 235             | 46          | 246            | 47          |                |     |     |                |
| 47                           | 240             | 49          |                |             |                |     |     |                |
| 60                           | 240             | 45          |                |             |                |     |     |                |
|                              | CO <sub>2</sub> | SKW         | O <sub>2</sub> | CO          | H <sub>2</sub> | KW  | CZ  | N <sub>2</sub> |
| Versuch 1 Anfangsg.: Endgas: | 2,1             | 0,0         | 0,2            | 53,8        | 35,7           | 0,2 | 1,0 | 8,0            |
|                              | 59,7            | 3,9         | 0,1            | 1,1         | 10,2           | 7,6 | 1,9 | 17,4           |
| Versuch 2 Anfangsg.: Endgas: | 2,1             | 0,0         | 0,1            | 53,7        | 38,0           | 0,4 | 1,0 | 5,7            |
|                              | 61,5            | 3,5         | 0,0            | 1,8         | 13,2           | 7,2 | 1,8 | 13,0           |

Zu Anfang der Betriebsperiode war bei beiden Versuchen (wie auch die beiden in der Tafel unten gebrachten Gasanalysenpunkte zeigen) der Umsatz praktisch gleich. Nach einigen Wochen musste jedoch bei den ohne Paraffinzusatz hergestellten Katalysatorpastillen die Temperatur schneller gesteigert werden, als bei den mit Paraffin hergestellten Pastillen. Die Aktivität des Katalysators von Versuch 1 entspricht nach 50 Tagen derjenigen von Versuch 2 nach 25

000651

Tagen.

Auch bei Zusatz von 5 und 10 % Paraffin wurde eine günstige Wirkung auf das katalytische Verhalten der Pastillen-Kontakte festgestellt.

D. Einiges zur Frage der Weiterverarbeitung der Primärprodukte.

Bei der Mitteldrucksynthese an Eisen-Katalysatoren werden, wie in einem besonderen Abschnitt gezeigt wurde, verschiedeneartige Reaktionsprodukte erhalten. Sie können zum großen Teil ähnlichen Verwendungszwecken zugeführt werden wie die Produkte der Synthesen an Kobalt-Katalysatoren. Es erübrigt sich, diese Verwertungsmöglichkeiten hier näher zu erörtern. In einigen Punkten unterscheiden sich jedoch die Produkte der "Eisen-Synthese" wesentlich von jenen der "Kobalt-Synthesen". Es sind dies einerseits ein Auftreten syntholartiger Nebenprodukte, wie beispielsweise verschiedenartige Alkohole und andererseits eine erhöhte Bildung von ungesättigten Kohlenwasserstoffen. Sowohl die sauerstoffhaltigen als auch die ungesättigten Verbindungen geben dem Eisen-Benzin eine höhere Klopffestigkeit. Diese Verbindungen neigen nicht zur Harzbildung. Das am Eisen-Katalysator entstandene Benzin bleibt nach monatelangem Lagern völlig farblos und wasserklar.

Da weiterhin bei der Mitteldrucksynthese an Eisen-Katalysatoren in erhöhtem Maße ungesättigte Gasolkohlenwasserstoffe entstehen, die, beispielsweise auf dem Wege einer Polymerisation, in hochklopfeste flüssige Kohlenwasserstoff-

fe umgewandelt werden können, erscheint die Synthese an Eisen-Katalysatoren besonders geeignet zu sein für die Gewinnung von hochwertigem Benzin.

Auf dem Gebiete der katalytischen Polymerisation von Olefinkohlenwasserstoffen, das bekanntlich vor allem bei Universal Oil Products Comp. von Ipatieff und seinen Mitarbeitern erschlossen worden ist<sup>23)</sup>, wurden von uns einige Untersuchungen ausgeführt, die sich mit der Frage einer direkten Kopplung von Synthese und Polymerisation befassten.

Als Katalysator wurde einester Phosphorsäure-Katalysator und zwar  $Cd_3(PO_4)_2 \cdot 4 H_3PO_4$  verwendet. Das als Träger dienende Cadmiumphosphat  $Cd_3(PO_4)_2$  wurde durch Fällung aus Calciumnitratlösung mit der berechneten Menge  $Na_2HPO_4$  und  $NaOH$  in der Siedehitze hergestellt. Es wurde mit heißem Wasser gewaschen und feucht mit der berechneten Menge 89 %iger Phosphorsäure versetzt, eingedampft, getrocknet und gekörnt.

Beim Überleiten von Gasol mit 35 bis 40 % ungesättigten Kohlenwasserstoffen (der Kobalt-Synthese) über den diesen Katalysator (1 ltr. Gasol/Stde./10 g Katalysator) wurden bei einem Druck von 7 at bei  $140^\circ$  40 %, bei  $160^\circ$  60 % und bei  $180^\circ$  70 bis 80 % der ungesättigten Kohlenwasserstoffe umgesetzt. Es entstand ein Polymerbenzin, das nach Abtrennung von 10 bis 20 % oberhalb  $180$  bis  $200^\circ$  siedenden Verbindungen ohne Zusatz leichtflüchtiger Kohlenwasserstoffe bei einem Dampfdruck nach Reid von 0,1 bis 0,2 at ohne und mit nachträglicher Hydrierung Oktanzahlen von 97 bis 99 zeigte.  
Es wurden nun Untersuchungen durchgeführt, bei

welchen das gesamte Reaktionsgas der Eisen-Mitteldrucksynthese nach Abscheidung der sich bei Zimmertemperatur kondensierenden Produkte in einer zweiten Stufe beim Druck der Synthese über den Phosphorsäure-Kontakt geleitet wurde. Bei der Synthese und der Polymerisation wurden ungefähr gleiche Katalysatorvolumina angewandt. Die Synthese war vor Beginn dieses Versuches bereits zwei Monate in Betrieb. Es wurde ein mit Ammoniak gefüllter Eisen-Katalysator mit 1/4 %  $K_2CO_3$  verwendet, der mit Mischgas bei Atmosphärendruck formiert worden war. Die Ausbeuten an festen, flüssigen und Gasolkohlenwasserstoffen betrugen je Nbm. Idealgas rund 140 g. Tafel 36 bringt unter a) einige Analysen von Reaktionsgasen hinter der Synthese und unter b) hinter der Polymerisation. Die Versuchsreihe wurde bei einem Druck von 15 at betrieben. Die Temperaturen der Synthese lagen bei 250°, die der Polymerisation bei 200 bis 220°.

Tafel 36.

Zusammensetzung von Reaktionsgasen nach Synthese und Polymerisation.

|   | CO <sub>2</sub> | SKW | O <sub>2</sub> | CO   | H <sub>2</sub> | KW  | CZ  | H <sub>2</sub> |
|---|-----------------|-----|----------------|------|----------------|-----|-----|----------------|
| a | 58,3            | 3,7 | 0,2            | 8,7  | 12,8           | 6,7 | 1,6 | 9,6            |
| b | 59,8            | 1,1 | 0,2            | 9,1  | 13,0           | 6,2 | 1,7 | 10,6           |
| a | 62,9            | 3,7 | 0,2            | 7,0  | 10,1           | 7,7 | 1,8 | 8,4            |
| b | 64,8            | 1,2 | 0,3            | 7,1  | 10,0           | 7,6 | 1,8 | 9,0            |
| a | 58,4            | 4,2 | 0,0            | 10,9 | 5,1            | 6,4 | 1,7 | 15,0           |
| b | 60,6            | 1,2 | 0,4            | 10,8 | 5,0            | 6,0 | 1,8 | 15,0           |

Die Analysen zeigen, daß volumenmäßig 2/3 bis 3/4 der AKW bei der Polymerisation verschwunden sind.

Tafel 37 bringt die Menge in g an je Nohm. Ideal-gas gebildeten festen, flüssigen und Gasol-Kohlenwasserstoffen einerseits bei der Synthese mit und andererseits bei der Synthese ohne Polymerisation. Die ersten Werte entsprechen dem Durchschnitt von 3 Betriebswochen, die letzten dem Durchschnitt einer darauf folgenden Betriebswoche, während welcher die Polymerisationstufe weggelassen wurde. Das AK-Benzin wurde jeweils nur einmal am Ende der Umsetzungen (also nicht zwischen Synthese und Polymerisation) gewonnen.

Tafel 37.

Verbindung von Synthese und Polymerisation.

| Polymer. | Ausbeuten g/Nohm.<br>flüss. KW.<br>(incl. Paraffin) | Gew. % d. flüss. Kohlenw.<br>Gasol hinter d.<br>Synthese | hinter d.<br>Polymeris. | als<br>AKB |
|----------|---|--|-------------------------|------------|
| mit      | 125   | 14   | 70                      | 20         |
| ohne     | 105   | 30   | 85                      | 0          |

An flüssigen Kohlenwasserstoffen (incl. Paraffin) und an Gasolkohlenwasserstoffen entstanden bei der Synthese während der ersten Periode 139 g, während der zweiten (ohne Polymerisation) 135 g je Nohm. Die Synthese lieferte somit in der ersten Periode um rund 3 % mehr Produkte, die Menge der flüssigen Kohlenwasserstoffe war jedoch um 19 % größer, zum größten Teil auf Kosten des durch Polymerisation umgesetzten Gasols. In den auf Zimmertemperatur gekühlten Vorlagen schieden sich bei dem Polymerisationsversuch 70 % der flüssigen Produkte hinter dem Syntheseapparat und 20 % hinter

dem Polymer-Apparat ab, 10 % waren AK-Benzin. Da auch das bei der Synthese entstandene, sich in der ersten Vorlage nicht kondensierende, sog. AK-Benzin mit dem Reaktionsgas über den Phosphorsäure-Kontakt geleitet wurde, polymerisierte auch ein Teil der ungesättigten Benzinkohlenwasserstoffe. Während jedoch die Menge der Gasolkohlenwasserstoffe während der Polymerisation von 30 auf 14 g je Nobm zurückging, fiel die Menge des AK-Benzins nur von 16 auf 13 g je Nobm. Dies kann damit erklärt werden, daß von den Oleinkohlenwasserstoffen die C<sub>4</sub>-Kohlenwasserstoffe sich am schnellsten polymerisieren, während mit sinkendem und steigendem Molekulargewicht der Kohlenwasserstoffe die Reaktionsgeschwindigkeit zurückgeht. Daher entstehen auch auf dem Wege über die Phosphorsäureester in der Hauptsache nur die Dimeren der Olefine.

Da das Polymerbenzin im Gegensatz zum "Eisen-Benzin" vorteilhafterweise nachträglich hydriert wird, dürfte es zweckmäßig sein, das synthetische Benzin vor der Polymerstufe möglichst weitgehend aus dem Reaktionsgas zu entfernen.

Eine direkte Weiterverarbeitung des Reaktionsgases der Mitteldrucksynthese an Eisen-Katalysatoren zur Herstellung von Polymerbenzin ist somit in einem Arbeitsgang möglich. Es muß der Praxis überlassen bleiben, ob sie ein derartiges Verfahren oder eine getrennte Polymerisation der von den übrigen Gasen befreiten Gasolkohlenwasserstoffen für wirtschaftlicher hält.

Eine engere Verbindung von Synthese und Polymerisation, wie sie durch eine Mischung des Synthese-Katalysators mit dem der Polymerisation zustandekommt, bringt, vor allem

wenn die Berührung der beiden verschiedenartigen Katalysatoren eine innige ist (durch Einwirkung des sauren Phosphorsäure-Katalysators auf das Eisen) allmählich bei den Vorgänge zum Erlahmen.

Versuche, bei welchen für die Polymerisation anstelle von Cadmiumphosphat beispielsweise saures Eisenphosphat verwendet wurde, zeigten ähnliche Ergebnisse.

Das stabilisierte und mit Natronlauge gewaschene Benzin der beiden nach Tafel 37 erhaltenen flüssigen Reaktionsprodukte wurde im IG-Prüfmotor auf seine Oktanzahl untersucht. Rd. 2/3 der gesamten flüssigen Produkte dieses Versuches siedeten im Bereich von 30 bis 180°. Tafel 38 bringt 1.) ein Benzin ohne nachfolgende Polymerisation, 2.) ein bis 180° siedendes Benzin, das durch Kombination von Synthese und Polymerisation entstanden ist und 3.) ein bis 150° siedendes Benzin mit anschließender Polymerisation. Von allen drei Proben ist die Dichte, der Olefingehalt, das Siedeverhalten, der Dampfdruck bei 57,8°C und die Oktanzahl angegeben.

Tafel 38.

Einfluß einer zusätzlichen Polymerisation auf die Eigenschaften von bei der Mitteldrucksynthese an Eisen-Katalysatoren erhaltenem Benzin.

| Nr. | $d_{15}^{\circ}$ | Olef.<br>% | Beginn<br>${}^{\circ}\text{C}$ | Siedeverhalten               |                              |                              | $P_{37,8}^{\circ}$ | OZ |
|-----|------------------|------------|--------------------------------|------------------------------|------------------------------|------------------------------|--------------------|----|
|     |                  |            |                                | 10 %<br>${}^{\circ}\text{C}$ | 50 %<br>${}^{\circ}\text{C}$ | 90 %<br>${}^{\circ}\text{C}$ |                    |    |
| 1   | 0,696            | 64         | 30                             | 46                           | 88                           | 145                          | 0,54               | 61 |
| 2   | 0,705            | 65         | 32                             | 53                           | 100                          | 150                          | 0,48               | 67 |
| 3   | 0,700            | 65         | 34                             | 60                           | 95                           | 130                          | 0,55               | 71 |

Ohne zusätzliche Polymerisation der Olefine wurde (Tafel 38, Nr. 1) eine Oktanzahl von 61, mit Polymerisation von 67 erhalten (Nr. 2). Wurde das Benzin bei 150° "abgeschnitten" (Nr. 3), dann hatte das Benzin eine Oktanzahl 71. Wurden dem Benzin Nr. 2 je Ltr. 0,7 ccm Bleitetraethyl zugesetzt, dann stieg die Oktanzahl auf 79, bei Benzin Nr. 3 auf 80.

Zusammenfassung.

Es wurde ein Überblick über die Arbeiten auf dem Gebiete der Mitteldrucksynthese an Eisen-Katalysatoren gegeben. Sie gliedern sich erstens in Untersuchungen über die Füllung, die Alkalisierung und die Formicierung des Katalysators, zweitens in Arbeiten zur Auffindung der günstigsten Synthesebedingungen (Gasszusammensetzung, Druck, Temperatur, Zusätze, Regeneration u.a.m.), drittens in eine Be sprachung der Reaktionsprodukte und viertens in eine Behandlung allgemeiner Probleme wie Herstellung des Synthesegases, apparative Fragen, Formgebung des Katalysators und Weiter verarbeitung der Primärprodukte.

Die wichtigsten Ergebnisse dieser Untersuchungen sind die folgenden:

1.) Füllung des Eisen-Katalysators: Die Katalysatoren wurden im allgemeinen durch Füllung des Eisens mit Natriumkarbonat oder Ammoniak aus Ferrinitratlösungen erzeugt, die durch Auflösen von technischen Eisen in verdünnter Salpetersäure hergestellt worden waren. Die aus Ferrilösungen gefällten Katalysatoren waren den aus Ferrolösungen gewonnenen überlegen.

2.) Alkalisierung des Katalysators: Die Anwesenheit von Alkali ist für die Synthese nicht erforderlich und auch für die Höhe des Umsatzes nicht maßgebend. Die Anwesenheit steigender Mengen an Alkali lenkt jedoch die Synthese in steigendem Maße in Richtung einer Bildung höhermolekularen Kohlenwasserstoffe. Ein Zusatz von Alkali ist somit wichtig für die Erzeugung von festen Paraffinen. Es wurde im allgemeinen Kaliumkarbonat verwendet, doch brachten die verschieden-

eten Alkalialalte die gleichen Ergebnisse.

3.) Formierung des Katalysators: Zur Herstellung eines aktiven Katalysators ist eine Vorbehandlung (Formierung) mit kohlenoxydhaltigen Gasen, am besten mit reinem Kohlenoxyd, notwendig. Die Formierung wird bei Druckon durchgeführt, die niedriger sind als der Synthesedruck, z. B. bei Atmosphärendruck, am besten jedoch bei verminderter Druck.

Das zur Formierung verwendete Gas wird zweckmäßig mit großer Geschwindigkeit bei Temperaturen von mehr als  $250^{\circ}$ , am besten bei  $300$  bis  $350^{\circ}$ , über den Katalysator geleitet und zwar so lange, bis die bei der stattfindenden Reaktion gebildete Kohlensäure nach Durchschreitung eines Maximums einen ungefähr konstant bleibenden Mindestwert erreicht.

4.) Die Synthese: Das optimale Verhältnis von Kohlenoxyd zu Wasserstoff im Synthesegas ist 3 : 2. Der optimale Synthesedruck liegt bei etwa 10 bis 20 at. Die optimalen Synthesetemperaturen betragen  $230$  bis  $240^{\circ}$ . Die Katalysatoren setzen zu Anfang das Synthesegas schon bei wesentlich niedrigeren Temperaturen um. Diese sind für die Lebensdauer des Katalysators jedoch nicht günstig, ebenso wenig Temperaturen oberhalb  $280^{\circ}$  (letztere wegen einer Bildung von Kohlenstoff).

Zusatz von Kieselgur (nach der Alkalifizierung) bringt eine beträchtliche Steigerung der Aktivität des Katalysators.

Eine Wasserstoffbehandlung des Katalysators vor der Synthese bringt keine Vorteile, eine von Zeit zu Zeit während der Synthese eingeschaltete Wasserstoffbehandlung bringt jedoch eine Wiederbelebung der Wirksamkeit des Eisen-Katalysators.

5.) Optimale Ausbeuten: Die besten Ausbeuten an festen, flüssi-

gen und Gasol-Kohlenwasserstoffen lagen bei etwa 150 g je Hcbm Idealgas. Die längste Lebensdauer wurde mit einem Katalysator erzielt, der ohne jede Regeneration nach 1 1/2 Jahren Betriebsdauer bei einer Temperatur von 260° noch 140 g je Hcbm brachte.

6.) Reaktionsprodukte: Die Art der Reaktionsprodukte kann durch Veränderung der Arbeitsbedingungen in weiten Grenzen variiert werden.

An festem Paraffin wurden 5 bis 50 % der gesamten festen und flüssigen Kohlenwasserstoffe erhalten. Neben niedrigschmelzenden Paraffinen entstehen auch besonders hochschmelzende mit Schmelzpunkten bis über 125°.

Die flüssigen Reaktionsprodukte unterscheiden sich von den an Kobalt-Katalysatoren anfallenden durch einen erhöhten Gehalt an ungesättigten Kohlenwasserstoffen und durch einen Gehalt an syntholartigen Produkten, unter denen beispielsweise Alkohole und Ester verschiedenster Molekulargröße nachgewiesen wurden.

Die Oktanzahl des stabilisierten, bei 180° "abgeschnittenen" Primärbenzins beträgt 60 bis 63. Sie kann durch Kopplung der Synthese mit einer Polymerisation der ungesättigten Gasolkohlenwasserstoffe umst. 10 Oktanzahlen und bei Zusatz von 0,7 ccm Bleitetraethyl je Ltr. Benzin um weitere 10 Oktanzahlen erhöht werden.

10 bis 30 % der festen, flüssigen und Gasol-Kohlenwasserstoffe bestehen aus Gasol. Sein Gehalt an Olefinen beträgt bis zu 80 %. Erhöhung der Temperatur oder der Aktivität des Katalysators bringt eine Erhöhung der Gesamtgasolausbeute, aber eine Erniedrigung ihres Olefinegehaltes.

Die Eisen-Katalysatoren erwiesen sich bei einem

Arbeitsdruck von etwa 10 at auch als geeignet zur Herstellung eines Gases, das den Richtlinien der Gas- und Wasserfachmänner entspricht.

7.) Synthesegasherstellung: Die Herstellung des Kohlenoxyd und Wasserstoff im Verhältnis 3 : 2 enthaltenden Synthesegases kann durch gleichzeitige Umsetzung von Kohlensäure und Wasserdampf im Wassergasgenerator durchgeführt werden, wobei die notwendige Kohlensäure von der Synthese selbst geliefert wird. Weiterhin kommt eine Herstellung des geeigneten Synthesegases durch Vergasung von Koks oder Kohle mit Sauerstoff in Frage.

8.) Apparative Fragen: Es wurden Zusammenhänge zwischen apparativen Fragen und der Lebensdauer und Wirksamkeit der Katalysatoren besprochen. Die besten Ergebnisse wurden in horizontalen bzw. schwach geneigten Reaktionsrohren erzielt. Bei einer Abführung der positiven Reaktionswärme mit Wasser müssen die Reaktionsapparate auf der Wasserseite Wasserdampfdrücken von 30 bis 50 at standhalten.

An der Durchführung der Versuche hatten in den Jahren 1937 und 1938 W. Dienst und A. Meusel mitgearbeitet. Nachdem diese Herren in die Industrie übergetreten waren, waren an den experimentellen Arbeiten vor allem K. Ruckenstein und während des vergangenen Jahres auch K. Ziesecke beteiligt.

Teilprobleme wurden während kürzerer Zeit mitbearbeitet von W. Lohmar (Füllung der Katalysatoren mit Ammoniak), H. Buffels (Eisen-Kieselgur-Katalysatoren), P. Edler (Herstellung von Stadtgas) und H. Walenda (Polymerisation von Olefinen).

1.7.40. Petter

000662

Schrifttum

- 1) Franz Fischer u. H. Pichler, Brennstoff-Chem. 20, 221 (1939).
- 2) Franz Fischer u. H. Tropsch, Brennstoff-Chem. 4, 276 (1923).
- 3) Jürgen Schmidt, Das Kohlenoxyd, Akad. Verlagsges. Leipzig 1935, S. 91 ff.
- 4) Franz Fischer u. C. Zerbe, Umwandlung der Kohle in Öle, Borntraeger, Berlin 1924, S. 320.
- 5) Franz Fischer u. H. Tropsch, Brennstoff-Chem. 7, 97 (1926).
- 6) Franz Fischer u. H. Tropsch, Ges. Abh. Kenntn. Kohle 10, 313 ff. (1930).
- 7) Franz Fischer u. H. Tropsch, Brennstoff-Chem. 8, 165 (1927).
- 8) Franz Fischer, Brennstoff-Chem. 16, 2 (1935).
- 9) Franz Fischer u. K. Meyer, unveröffentlichte Arbeiten aus dem Institut.
- 10) Franz Fischer u. P. Ackermann, unveröffentlichte Arbeiten aus dem Institut.
- 11) H. H. Meyer, Stahl u. Eisen 48, 1787 (1928).
- 12) R. Schenck, Z. anorg. allg. Chem. 167, 315 (1927).
- 13) U. Hofmann u. E. Groll, Z. anorg. allg. Chem. 191, 414 (1930).
- 14) Hilpert u. Dieckmann, Ber. dtsch. chem. Ges. 48, 1281 (1915).
- 15) Franz Fischer u. H. Bahr, Ges. Abh. Kenntn. Kohle 8, 264.
- 16) Gluud, Otto u. Ritter, Ber. dtsch. chem. Ges. 62, 2483 (1929).
- 17) Franz Fischer, Ackermann u. Meyer, unveröffentlichte Arbeiten aus dem Institut.
- 18) Franz Fischer u. Tropsch, Brennstoff-Chem. 4, 276 (1923).  
Brennstoff-Chem. 5, 201 (1924).
- 19) Gas- u. Wasserfach 82, 745 (1939).
- 20) Brückner u. Weissbach, Gas- u. Wasserfach 83, 255 (1940).
- 21) Franz Fischer, Pichler u. Köbel, Brennstoff-Chem. 16, 401 (1935).

000663

- 22) Herbert u. Rüping, Chem. Fabrik 13, 149 (1940).  
23) Ipatieff, Ind. Engng. Chem. 27, 1067 (1935).  
Ipatieff, Corson u. Egloff, Ind. Engng. Chem. 27, 1077  
(1935).